

N° d'ordre : 2845

THÈSE DE DOCTORAT

Présentée par

Sanae ZRIOUEL

Discipline : **Physique**

Spécialité : **Physique Mathématique**

Contributions à l'étude Monte Carlo des propriétés magnétiques des nanomatériaux type graphyne et graphone

Soutenue le 12 Mars 2016, Devant le jury

Président :

Najia KOMIHA PES, Faculté des Sciences, Rabat

Examinateurs :

Lahoucine BAHMAD PES, Faculté des Sciences, Rabat

Mohamed DAOUD PES, Faculté des Sciences Ain Chock, Casablanca

Lalla Btissam DRISSI PH, Faculté des Sciences, Rabat

Najem HASSANAIN PES, Faculté des Sciences, Rabat

El Hassan SAIDI PES, Faculté des Sciences, Rabat

Remerciement

Les travaux présentés dans cette thèse ont été réalisés au sein du Laboratoire de Physique des Hautes Energies, Modélisation et Simulation (LPHE-MS) du département de physique de la Faculté des Sciences de Rabat, sous la direction de Monsieur El Hassan SAIDI, Professeur de l'Enseignement Supérieur à la Faculté des Sciences de Rabat et la co-direction de Mme Lalla Btissam DRISSI, Professeure Habilité à la Faculté des Sciences de Rabat.

Toute ma gratitude et mes sincères remerciements à mon directeur de thèse Monsieur El Hassan SAIDI, Professeur de l'Enseignement Supérieur à la Faculté des sciences de Rabat et ma Co-directrice Madame Lalla Btissam DRISSI, Professeure Habilité à la Faculté des Sciences de Rabat, pour m'avoir guidée, encouragée, conseillée et pour le formidable encadrement qu'ils m'ont accordé tout au long de ce travail. Leurs disponibilité, leurs expérience et leurs sens de transmission des connaissances scientifiques m'ont permis de mener à bien ce travail. Je ne peux que leurs remercier, non seulement pour leurs compétences scientifiques, mais aussi pour leurs qualités humaines, leurs conseils judicieux et leurs attentions au détail.

J'adresse mes remerciements les plus profonds à Madame Najia KOMIHA, Professeure de l'Enseignement Supérieur à la Faculté des Sciences de Rabat, qui m'a fait l'honneur d'être la présidente de mon Jury de thèse. Je la remercie aussi pour son enseignement durant la préparation du Master avec une très grande compétence. Son aide et l'enseignement de haut niveau que j'ai reçu auprès de lui durant ma formation de Master m'ont été d'un grand intérêt.

Je tiens également à remercier Monsieur Lahoucine BAHMAD, Professeur de l'Enseignement Supérieur à la Faculté des Sciences de Rabat, pour avoir accepté d'être rapporteur de ma thèse. Veuillez recevoir, Monsieur, l'expression de mon respect et de ma profonde gratitude.

Je suis très honoré que Monsieur Najem HASSANAIN, Professeur à la Faculté des Sciences de Rabat, ait accepté d'être Examinateur de ce travail. Qu'il trouve ici, l'expression de ma profonde considération.

Remerciements

Un grand merci à Monsieur Mohammed DAOUD, Professeur de l'Enseignement Supérieur à la Faculté des Sciences, Ain Chock Casablanca, pour sa participation à mon jury de thèse en qualité de rapporteur de mon travail et pour toutes remarques intéressantes qu'il m'a faites. Veuillez agréer, Monsieur, l'assurance de mon profond respect.

Je remercie énormément tous les membres du jury pour leur disponibilité le jour de ma soutenance, pour le privilège qu'ils m'ont accordé par leur présence et pour l'intérêt qu'ils ont attribué à mon mémoire de thèse. Je tiens à vous remercier encore une fois d'avoir accepté de vous déplacer pour partager avec moi l'un des moments les plus mémorables de toute ma vie. Ces moments qui risquent de créer un événement inoubliable pour le reste de mes jours.

Je voudrais tout particulièrement exprimer ma reconnaissance à Monsieur Rachid AHL LAAMARA, Professeur Assistant au CRMEF, Meknes, qui m'a suivi tout au long de cette thèse. Je tiens à l'assurer de ma profonde reconnaissance, pour son aide, sa disponibilité, ses nombreux conseils et son soutien sans faille. Soyez assuré, Monsieur, de ma profonde gratitude.

Je voudrais adresser un remerciement particulier à tous le corps professoral du Master, pour leur soutien et pour leur patience. A Prof M. Ait Ben Haddou, Prof L. Bahmad, Prof A. Belhaj, Prof M. Bennai, Prof F. Bentayeb, Prof M. Daoud, Prof A. El Kenz, Prof N. E. Fahssi, Dr. A. Hamama, Dr J. Khan, Prof. N. Komiha, Prof T. Lhallabi, Prof E.H. Saidi et Prof M. B. Sedra, qui ont contribué à nous transmettre leur savoir pour assurer notre formation. Merci à vous tous chers professeurs pour m'avoir fait goûter au charme de la physique théorique et pour m'avoir fait déguster le délice des différents axes de la physique des hautes énergies, modélisation et simulation.

Si j'en suis arrivée là aujourd'hui, c'est aussi parce que j'ai rencontré sur mon chemin des personnes qui m'ont apporté le meilleur d'elles-mêmes et m'ont hissé vers l'excellence. Je remercie l'ensemble de l'équipe de recherche du LPHE-MS pour les nombreuses et toujours fructueuses discussions. Travailler avec eux a été un réel plaisir que du bonheur.

Ne pouvant malheureusement pas citer toutes les personnes que j'ai rencontré durant mon parcours et qui ont pu contribué d'une façon ou d'une autre, de près ou de loin, à l'aboutissement de cette thèse, je leur dis à toutes merci d'avoir été là à cette instant précis où je les ai rencontrées et où ils m'ont apportée cette aide qui a sûrement contribué à aller au bout de cette thèse.

Cette thèse s'est rédigée en une bonne partie à la maison avec l'encouragement continu, le soutien financier et moral constant et la bienveillance sensationnelle de ma tendre très chère mère Fatima et mon adorable aimable père Said. Merci à vous deux pour tout ce que vous avez fait pour moi durant tout le parcours de ma vie et grâce auquel je suis là présente aujourd'hui. Mille merci à toi Hamada, Karima et Oussama pour toutes les petites aussi bien que les très grandes choses que vous m'avez présentées et que je n'oublierai jamais, Merci ma petite famille,

Remerciements

vous étiez tous présents chaque moments où j'avais besoin de vous, merci pour votre dévouement illimité et votre amour zélé.

Merci à tous les membres de ma grande famille et surtout à mon exquise grand-mère et ma tante Fatima pour chaque douce parole prononcée et chaque belle prière provenant de leur coeur purs et limpides, traversant mon âme comme une flèche, me redonnant un grand et nouvel espoir pour demain et repoussant tout sentiment répugnant.

J'exprime également mes sincères remerciements à Madame et Monsieur AZIZI, pour leur gentillesse et leur encouragement durant mes années d'études.

Je ne peux clôturer cette partie de remerciements sans présenter mes vifs remerciements au CNRST qui m'a attribué la bourse d'excellence durant mes trois années d'étude doctorale. Merci pour ce soutien qui m'a été très lucratif.

*À la mémoire de mes grands-parents
Puisse Dieu les accueillir dans son infinie Miséricorde*

*À mes très chers parents
À ma très chère sœur Karima
À mes très chers frères Hamada et Oussama
À tous ceux qui m'ont aidée
À tous ceux qui m'ont soutenue de près ou de loin
À tous ceux qui ont cru en moi
À tous ceux qui m'ont faits confiance*

*À tous ceux qui ont supporté mes questions incessantes
Je vous dédie ce Manuscrit avec toute la grâce du monde*

Résumé

Attirés par l'importance de nouveaux matériaux dans le domaine des nanotechnologies, cette thèse développe cet axe de recherche tout en approfondissant les résultats. Nous avons commencé par introduire les méthodes de simulation et de calcul les plus sophistiquées, telles que : la méthode Monte Carlo, la théorie du champ moyen, la théorie du champ effectif et la méthode de la matrice de transfert. Par la suite, nous avons étudié les propriétés magnétiques et hystériétiques des matériaux. Ensuite, nous avons détaillé certaines de nos contributions correspondantes aux matériaux à base de graphène et des nanomatériaux ferrimagnétiques avec différentes morphologies. Nous avons débattu de l'effet des défauts sur les propriétés thermodynamiques de ces nouveaux matériaux. Une attention particulière a été portée aux paramètres physiques qui influencent la température de compensation. Celle-ci ayant une très grande importance dans le stockage d'information et plus particulièrement dans l'enregistrement thermo-optique. Avec tous ces éléments, nous nous sommes ouverts aux développements les plus récents de la physique de nouveaux matériaux. Enfin, nous avons terminé par la conclusion et des perspectives.

Mots-clefs : Monte Carlo, graphone, graphyne, nanoruban, cœur-coquille, température de compensation, propriétés thermodynamiques et magnétiques

Table des matières

Introduction	1
Chapitre 1 Méthode Monte Carlo pour les modèles de spin	7
1.1 Modèles de spin	8
1.1.1 Modèle d'Ising	8
1.1.2 Modèle de Potts	9
1.1.3 Modèle Blume-Emery-Griffiths	10
1.1.4 Modèles de spin continu	10
1.2 Conditions aux bords	11
1.2.1 Conditions aux limites périodiques	12
1.2.2 Conditions aux limites périodiques vis	12
1.2.3 Conditions aux limites antipériodiques	13
1.2.4 Conditions aux limites de bord libre	13
1.3 Monte Carlo statique	14
1.3.1 Équation Maîtresse et estimateur	14
1.3.2 Principes de la simulation Monte Carlo	16
1.3.3 Temps d'équilibre	21
1.3.4 Mesures	22
1.4 Algorithmes de simulation	23
1.4.1 Algorithme de Métropolis	23
1.4.2 Algorithme du bain thermique (heat-bath algorithm)	25
1.4.3 Algorithme de BKL (Bortz, Kalos et Lebowitz)	26
1.4.4 Algorithmes d'amas	27

1.4.5	Algorithme de Kawasaki	31
Chapitre 2	Étude des phénomènes critiques	33
2.1	Phénomènes critiques	33
2.1.1	Singularité	34
2.1.2	Transition de phase	34
2.1.3	Brisure de symétrie et paramètre d'ordre	35
2.1.4	Classification des transitions de phase	36
2.2	Approximation de champ moyen	37
2.2.1	Équation du champ moyen	37
2.2.2	Transition ferromagnétique	38
2.2.3	Comportement au voisinage de la transition de phase	39
2.2.4	Exposants critiques $\alpha, \beta, \gamma, \delta$	41
2.3	Théorie du champ effectif	42
2.3.1	Technique d'opérateur différentiel	43
2.3.2	Approximation de découplage (ou Zernike)	46
2.3.3	Approximation du champ effectif corrélé (ou Bethe-Peierls)	48
2.3.4	Groupe de renormalisation du champ effectif	49
2.4	Méthode de la matrice de transfert	52
2.4.1	Matrice de transfert	52
2.4.2	Énergie libre	54
2.4.3	Fonction de corrélation	54
2.4.4	Cas du modèle d'Ising	56
Chapitre 3	Formalisme des propriétés magnétiques et hystériétiques des matériaux	61
3.1	Propriétés magnétiques	62
3.1.1	Origine du magnétisme	62
3.1.2	Classification magnétiques des matériaux	64
3.1.3	Température de transition	70
3.1.4	Classification de Néel	72
3.2	Interactions magnétiques	73
3.2.1	Modèles d'impuretés	76
3.2.2	Interaction magnétique dipolaire	78
3.2.3	Interaction directe	78
3.2.4	Interaction indirecte	81
3.3	Anisotropie magnétique	85

Table des figures

3.3.1	Anisotropie de forme	86
3.3.2	Anisotropie magnétocristalline	86
3.3.3	Anisotropie de surface	86
3.3.4	Anisotropie magnétoélastique	86
3.4	Propriétés hystérotiques	87
3.4.1	Structure des domaines magnétiques	87
3.4.2	Cycles d'hystérésis	90
3.4.3	Paramètres caractéristiques des cycles d'hystérésis	92
3.4.4	Matériaux magnétiques durs et doux	93
Chapitre 4	Contributions à l'étude Monte Carlo des propriétés magnétiques des nanomatériaux type graphyne et graphone	97
4.1	Matériaux ferromagnétiques type graphone	97
4.1.1	Magnetic phase transitions in pure zigzag graphone nanoribbons (J. Phys. Lett. A 379 (2015) 753-760)	98
4.1.2	Edge effect on magnetic phases of doped zigzag graphone nanoribbons (J. Magn. Magn. Mater. 374 (2015) 394-401)	98
4.2	Matériaux cœur-coquille type nanoruban de graphène et type nanoparticule de graphyne	99
4.2.1	Monte Carlo study of magnetic behavior of core-shell nanoribbon (J. Magn. Magn. Mater. 374 (2015) 639-646)	99
4.2.2	Graphyne core/shell nanoparticles : Monte Carlo study of thermal and magnetic properties (Submitted, (2016))	100
4.3	Effet des défauts et de surface sur les propriétés magnétiques des nanomatériaux	100
4.3.1	Stone-Wales defected molecular-based $AFe^{II}Fe^{III}(C_2O_4)_3$ nanoribbons : Thermal and magnetic properties (In preparation)	102
4.3.2	Monte Carlo study of edge effect on magnetic and hysteretic behaviors of sulfur vacancy defected zigzag FeS_2 nanoribbon (In preparation)	102
4.3.3	Surface effect on compensation and hysteretic behavior in surface/bulk nanocube (Submitted, (2016))	103
Conclusion générale et perspectives	104	
Bibliographie	108	

Introduction générale

Le magnétisme est un domaine de la physique de la matière condensée qui ne cesse de nous surprendre par sa grande variété de phénomènes, souvent liés à l'émergence de nouveaux types de matériaux. L'étude concrète du magnétisme a vu le jour après la découverte de l'électron en 1897. Depuis, le magnétisme a connu un essor considérable, qui a conduit à deux découvertes majeures, durant les deux derniers siècles [1, 2]. La première découverte concerne l'étroite liaison entre le magnétisme et l'électricité que nous retrouvons dans l'onde électromagnétique ou la lumière. La seconde découverte, repose sur l'évenement de la théorie de relativité qui a permis de mieux comprendre les mécanismes du magnétisme décrits, comme un effet purement relativiste, en raison du mouvement relatif des électrons dans l'atome.

Le moteur électrique, qui utilise le champ magnétique créé par le courant électrique circulant dans une bobine [1, 2], est considéré comme l'une des applications les plus anciennes du magnétisme. De nos jours, les matériaux magnétiques sont devenus omniprésents dans notre environnement vu leur grand usage dans la technologie moderne. Ils composent de nombreux dispositifs électromécaniques et électroniques, notamment les génératrices, les transformateurs, les moteurs électriques, les postes de radio ou de télévision, les téléphones, les ordinateurs et les appareils audio ou vidéo. Les matériaux magnétiques sont également des constituants indispensables dans une large gamme d'équipements industriels et médicaux.

Au début, seuls les matériaux dans un état massif étaient considérés. Mais avec les nouveaux procédés de fabrication, de nouvelles formes de matériaux sont apparues en commençant par les couches minces, puis ultra-mince et en arrivant aux nanofils, nanotubes, nanorubans et nanoparticules à l'échelle nanométrique.

Une question centrale dans la physique de la matière condensée concerne l'origine du magnétisme dans les matériaux. L'étude du comportement des grandeurs physiques caractéristiques des systèmes étudiés en terme de température a fourni un moyen perspicace qui a permis de

Introduction générale

répondre à cette question. Pour le cas de l'aimantation, elle disparaît au delà d'une certaine température critique, marquant ainsi une transition magnétique de phase [3].

Le magnétisme existe en deux formes différentes. Le magnétisme intrinsèque qui concerne les propriétés magnétiques relatives à la structure électronique et d'autres principes fondamentaux dans les métaux ou les non-métaux. Ainsi que, le magnétisme extrinsèque qui est relatif aux propriétés des domaines magnétiques et des phénomènes connexes. Dans les matériaux, l'étude de leurs propriétés magnétiques s'avère extrêmement difficile. Cette difficulté est due en grande partie aux nombreux types de comportements magnétiques. En effet, pas moins de quatorze comportements magnétiques différents ont été identifiés dans les solides, nous citons entre autres, le ferromagnétisme, l'antiferromagnétisme, le ferrimagnétisme, l'antiferrimagnétisme et le verre de spin. Cette diversité des comportements magnétiques provient principalement de la multitude des diverses interactions spin-spin observées dans les matériaux [4].

Les propriétés magnétiques des matériaux ont connu une progression énorme au fil du temps avec la réduction des dimensions. En général, la dimensionnalité est l'une des caractéristiques les plus décisives pour un matériau, puisque la même substance présente des propriétés complètement différentes lors de la formation de sa structure dans diverses dimensions ; notamment 0, 1, 2, ou 3 [5]. Bien que les structures de dimensions quasi nulles, telles les points quantiques ou quasi unidimensionnelles comme les nanotubes et les nanofils ou bien tridimensionnelle ont été pour longtemps bien explorées, la recherche sur les cristaux bidimensionnels par contre a demeuré dans l'obscurité peu explorée, jusqu'à la réalisation expérimentale du graphène en 2004. Ce nouveau matériau bidimensionnel est obtenu par l'exfoliation d'une seule couche de graphite, un matériau déjà bien connu par la communauté scientifique, depuis les années 60. Bien que le graphène soit un conducteur électrique de gap nul non magnétique, il a ouvert la voie à l'étude d'une grande variété de matériaux bidimensionnels [4]. Les matériaux à base de graphène s'avèrent également d'un très grand intérêt pour le magnétisme et la spintronique.

Ce travail de thèse, comportant quatre chapitres et une conclusion générale, est une contribution à l'étude Monte Carlo des propriétés magnétiques des nanomatériaux type graphyne et graphone. Plus précisément, nous visons l'étude des propriétés magnétiques de deux catégories de systèmes à base de graphène de natures extrêmement différentes. La première catégorie est constituée des matériaux ferromagnétiques à base de graphone. Ce nanomatériau est une dérivée magnétique du graphène, dont le magnétisme provient des électrons localisés sur les atomes de carbone qui ne sont pas hydrogénés. C'est un semi-conducteur ferromagnétique, qui montre des propriétés magnétiques pertinentes, aussi bien en pratique, qu'en théorie. Il a été proposé théoriquement en 2012, et synthétisé en 2014 [6]. Par ailleurs, la seconde catégorie correspond à des systèmes cœur-coquille ferrimagnétiques avec différentes morphologies, tels le

nanoruban et le type graphyne. Le graphyne qui est une autre dérivée du graphène est obtenu avec le mécanisme de croissance vapeur-liquide-solide. Il a été théorisé que le graphyne puisse exister selon différentes géométries, du fait des arrangements multiples des carbones sp et sp^2 . Les nanoparticules type graphyne présentent des comportements magnétiques importants et inhabituels tel que l'apparition de la température de compensation qui est d'une très grande importance dans le stockage d'information en particulier dans l'enregistrement thermo-optique [7].

L'étude des propriétés magnétiques des matériaux nécessite l'utilisation de méthodes de calcul et de simulation capables de sonder la matière à l'échelle atomique tout en tenant compte explicitement de la structure électronique des éléments chimiques [8]. Les méthodes théoriques se révèlent être des outils de choix pour modéliser les matériaux à l'échelle atomique voire électronique, et accéder de manière directe à un ensemble de données fondamentales comme les propriétés magnétiques des matériaux [9]. Parmi ces méthodes théoriques, nous citons la théorie du champ effectif [10–12], qui est une méthode d'approximation qui utilise l'opérateur différentiel dans l'identité de Callen [13] pour calculer les diagrammes de phases des matériaux considérés. La matrice de transfert est un autre moyen très utilisé pour les modèles bidimensionnels. Ce procédé étudie les comportements critiques, quand le système subit une transition de phases ordre-désordre [14]. La méthode de groupe de renormalisation, initiée tout d'abord par Wilson en 1971 [15] et généralisée plus tard, étudie les phénomènes critiques dans les systèmes désordonnés. Cette méthode consiste à transformer l'hamiltonien qui décrit le système en un autre, par une transformation qui laisse la fonction de partition invariante [15]. Il existe d'autres méthodes de renormalisation comme la renormalisation phénoménologique, qui ressemble aux méthodes du groupe de renormalisation. Cette méthode utilise les lois d'échelles de la longueur de corrélation des systèmes de différentes tailles.

Les calculs ab-initio constituent un outil essentiel dans la physique de la matière condensée moderne et la chimie quantique moléculaire. Ils permettent les calculs des propriétés des systèmes à électrons corrélés. Le mouvement corrélé des électrons joue un rôle crucial dans l'agrégation des atomes dans les molécules et les solides, les propriétés de transport électronique et de nombreux autres phénomènes physiques majeurs. Actuellement, le moyen le plus utilisé pour inclure les effets de corrélation électronique dans les calculs est la théorie fonctionnelle de la densité (DFT) [16, 17]. Cette méthode qui est rapide et souvent très précise, comporte un certain nombre de limites bien connues, telle la limite des connaissances disponibles de la forme mathématique exacte de la fonctionnelle décrivant l'échange-corrélation. La précision de la forme approximative de la théorie est non-uniforme et non-universelle, et il existe des classes importantes de matériaux pour lesquels, elle donne qualitativement des réponses inadéquates.

Introduction générale

Une alternative importante et complémentaire pour les situations, où la précision est primordiale est la méthode Monte Carlo, qui présente de nombreuses caractéristiques attrayantes pour sonder la structure électronique des systèmes réels. Cette méthode est considérée parmi les méthodes mathématiques les plus importantes et techniquement sophistiquées dans la simulation numérique des phénomènes physiques. Elle est basée sur la théorie des probabilités et l'utilisation de l'échantillonnage aléatoire. Elle a pour but majeur de, trouver, mesurer ou vérifier une solution d'un modèle quantitatif, ou de décrire son comportement simulé et ses états transitoires. Cette technique est aujourd'hui largement utilisée dans toutes sortes d'algorithmes numériques d'optimisation. De ce fait, pour de nombreux problèmes complexes, comme la résolution des problèmes analytiques, la détermination des problèmes d'équation différentielle normale et partielle sous des conditions complexes, l'évaluation de la fiabilité de systèmes techniques et d'autres, et la résolution des problèmes de stockage et de transport ou de trajets aléatoires, la méthode Monte Carlo reste souvent la seule solution adéquate.[\[18\]](#). Monte Carlo est une méthode applicable aux systèmes finis et périodiques, prenant en compte dès le départ la corrélation électronique. Elle donne des résultats cohérents, très précis et en même temps présente la possibilité d'utiliser plusieurs modèles ayant des structures différentes. La méthode Monte Carlo comporte trois types différents, tels que : Monte Carlo statique qui est utilisée pour simuler des phénomènes physiques complexes dans plusieurs domaines scientifiques et appliqués [\[16, 17, 19, 20\]](#), Monte Carlo cinétique qui est employée pour étudier l'évolution des systèmes au cours du temps [\[21, 22\]](#), et Monte Carlo quantique qui est une méthode de simulation probabiliste de l'équation de Schrödinger [\[16, 23–25\]](#).

Compte-tenu de l'importance des études sur le magnétisme au sein de la communauté de physique de la matière condensée, nous avons souhaité traiter dans ce mémoire de thèse des récents développements dans ce domaine. Ce travail de recherche est organisé comme suit :

Dans le chapitre 1, nous introduisons les concepts de base de la méthode Monte Carlo. Nous commençons par une introduction sur quelques modèles de spin. Ensuite, nous présentons les notions de base de la simulation Monte Carlo statique. Finalement, nous décrivons quelques algorithmes permettant de générer numériquement des configurations du modèle d'Ising tout en mettant l'accent sur l'algorithme de Metropolis.

Dans le second chapitre, nous consacrons la première partie à la définition des phénomènes critiques, et notamment les transitions de phase. En seconde partie, nous nous intéressons de près à la théorie de champ moyen. Par la suite, nous décrivons brièvement la théorie de champ effectif. À la fin du chapitre, nous présentons explicitement le calcul de la fonction de partition et la fonction de corrélation en utilisant la méthode de la matrice de transfert.

Dans le chapitre 3, nous abordons l'étude des propriétés magnétiques et hystérotiques ca-

ractéristiques des matériaux. Dans un premier temps, nous fixons notre attention sur l'étude des propriétés magnétiques des matériaux. Pour ce fait, nous exposons l'origine du magnétisme et la classification magnétiques des matériaux. Puis, nous donnons les différents types des températures de transition ainsi que la classification de Néel. Ensuite, nous étudions les différents types des interactions magnétiques qui peuvent avoir lieu dans les matériaux magnétiques. Une description complète de l'anisotropie magnétique dans les matériaux magnétiques est également fournit. Nous finissons par la présentation des différents outils de base utiles pour mieux comprendre les propriétés hystérotiques des matériaux.

Le chapitre 4 est consacré à présenter les résumés de nos différentes travaux de recherche avec le contenu détaillé de certains d'entre eux. Nous traitons dans la première section des matériaux ferromagnétiques type graphone. Dans la deuxième section, nous présentons les résultats obtenus pour les matériaux cœur-coquille type nanoruban de graphène et type nanoparticule de graphyne. Dans la troisième section, nous exposons l'effet des défauts et de surface sur les propriétés magnétiques des nanomatériaux.

Nous clôturons ce manuscrit de thèse par une conclusion générale rappelant les principales idées développées tout le long du document. Des perspectives sont également présentées.

Liste des contributions et communications

Au cours de la préparation de cette thèse de doctorat, de nouvelles contributions ont vu le jour dont certaines sont déjà publiées. La liste de ces travaux est la suivante :

Contributions et Publications

- Magnetic phase transitions in pure zigzag graphone nanoribbons,
J. Phys. Lett. A 379 (2015) 753-760.
- Edge effect on magnetic phases of doped zigzag graphone nanoribbons,
J. Magn. Magn. Mater. 374 (2015) 394-401.
- Monte Carlo study of magnetic behavior of core-shell nanoribbon,
J. Magn. Magn. Mater. 374 (2015) 639-646.
- Graphyne core/shell nanoparticles : Monte Carlo study of thermal and magnetic properties,
Submitted, (2016).
- Stone-Wales defected molecular-based $AFe^{II}Fe^{III}(C_2O_4)_3$ nanoribbons : Thermal and magnetic propertie,
In preparation.
- Monte Carlo study of edge effect on magnetic and hysteretic behaviors of sulfur vacancy defected zigzag FeS_2 nanoribbon,
In preparation.
- Surface effect on compensation and hysteretic behavior in surface/bulk nanocube,

Introduction générale

Submitted, (2016).

Communications

- "Cohérence quantique et effet Kondo dans les nanostructures", présentée lors de l'Ecole "National School : Cryptography and Quantum Information Theory", organisée les 31 Janvier -1 Février 2014 à ENSET-Rabat, Faculté des Sciences, Rabat.
- "Etude Monte Carlo des propriétés magnétiques et hystérétiques des systèmes ferrimagnétiques", présentée lors de Colloque Franco-Marocain sur Propriétés des Nouveaux Matériaux à la Faculté des Sciences de Rabat du 4 au 5 Décembre 2014.
- "Etude Monte Carlo des propriétés magnétiques et thermodynamiques des systèmes hexagonales", présentée lors des Journées Doctorales nationales CPM-2015 du 11 au 13 Juin 2015 à l'Institut Scientifique et Faculté des Sciences à Rabat.

Chapitre 1

Méthode Monte Carlo pour les modèles de spin

Par principe, tout objet de la nature peut changer de phase à un instant précis sous l'influence de son environnement. Il s'agit de l'instant critique où se produisent des phénomènes critiques dits des transitions de phase. Les transitions de phases sont des phénomènes physique qui décrivent les changements d'état de systèmes physiques. Cependant, l'un des défis majeurs des systèmes physique comportant un grand nombre de particules, est le calcul de la fonction de partition à la limite thermodynamique [17]. Ainsi en absence des solutions exactes qui n'existent que pour le modèle d'Ising et le modèle de Potts à deux dimensions, l'utilisation des méthodes d'approximations s'impose. L'usage des méthodes d'approximation nécessite l'étude des modèles de spin.

Les modèles de spins ont initialement été introduits pour la description du magnétisme dans les matériaux ferromagnétiques. Les modèles classiques, notamment le modèle d'Ising ont joué un rôle important depuis la naissance du magnétisme mais, de nos jours, l'intérêt est plus porté sur les modèles quantiques et les phénomènes qui leur sont associés. Les modèles quantiques de spins ont été étudiés pour la première fois par Bethe en utilisant le modèle de Heisenberg unidimensionnel.

Par ailleurs, les modèles pour lesquels les fonctions de partition sont des solutions exactes sont limités. Ce fait a exigé le développement de différentes techniques approximatives tel les développement en séries, les méthodes des théories de champ et les méthodes numériques. Le calcul numérique de la fonction de partition par la méthode numérique devient facile à déterminer lorsque le modèle considéré est placé sur un réseau de taille finie [17]. Bien que cette technique permet d'obtenir les propriétés critiques du système, l'exactitude des résultats dépend de la taille considéré. Les simulations par les méthodes numériques apportent des outils complémentaires destinés à mieux comprendre les systèmes [26, 27]. Elles sont essentielles pour l'étude des systèmes complexes, au voisinage de l'instant critique où s'établit la transition. La méthode Monte Carlo est très utilisée et adaptée à cet effet.

Cette méthode est basée sur un jeu d'échantillon d'une représentation d'un système physique pris dans un état donné [18, 28]. A ce titre, elle vise la détermination de manière efficace et

rapide des grandeurs physiques liées au système considéré par des procédés probabilistes [18]. Il existe trois types différents de Monte Carlo :

- **Monte Carlo statique** : que nous allons élaborer au cours de ce chapitre. Cette méthode est utilisée pour simuler des phénomènes physiques complexes dans plusieurs domaines scientifiques et appliqués tels que : physique de la matière condensée, physique des hautes énergies, radioactivité, réseaux, économétrie et logistique [16, 17, 19, 20],
- **Monte Carlo cinétique** : est utilisé pour simuler les phénomènes physiques tels que la diffusion de surface, l'épitaxie, l'évolution et la croissance de domaines ou la mobilité des agrégats. Cette méthode permet d'étudier l'évolution des systèmes au cours du temps [21, 22],
- **Monte Carlo quantique** : est une méthode de simulation probabiliste de l'équation de Schrödinger. À son tour, elle comporte différents types utilisés pour les calculs de structure électronique tel : le Monte Carlo variationnel [29], le Monte Carlo diffusionnel [30, 31], le Monte Carlo de la fonction de Green [32, 33], et le Monte Carlo pour les intégrales de chemin [34]. Bien qu'il existe de nombreuses variantes nommées différemment, l'idée de base de la méthode Monte Carlo quantique est toujours la même, à savoir définir une dynamique brownienne pour les électrons et calculer les valeurs moyennes quantiques comme valeurs moyennes le long des trajectoires stochastiques [16, 23–25].

La technique Monte Carlo, développée suite à de nombreux travaux [16, 21, 29], introduit divers algorithmes de simulation, tous intéressants et présentant des spécificités particulières liées aux systèmes étudiés.

Ce chapitre vise à présenter la méthode Monte Carlo statique. Nous commençons par introduire quelques modèles de spin. Ensuite, nous décrirons les notions de base du Monte Carlo statique. Enfin, nous étalerons les grandes lignes de quelques algorithmes permettant de générer numériquement de différentes configurations du modèle d'Ising.

1.1 Modèles de spin

1.1.1 Modèle d'Ising

Le modèle d'Ising est l'un des modèles les plus simples qui permet de modéliser des systèmes physiques trop complexes à analyser de façon exacte [28]. En raison de sa simplicité et de la richesse de son comportement, le modèle d'Ising suscite depuis son introduction un grand intérêt [35]. Le modèle d'Ising est constitué d'une distribution d'atomes dans un plan. Chacun de ces atomes porte un moment magnétique μ_B (magnéton de Bohr) orienté aléatoirement en spin up ($+\mu_B$) ou spin down ($-\mu_B$). Ces spins interagissent entre eux deux à deux, uniquement entre premiers voisins avec une énergie d'interaction .

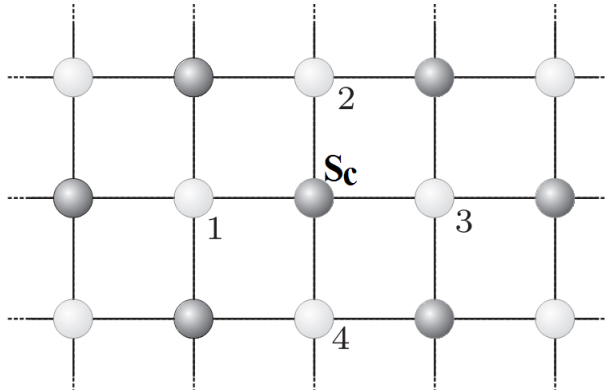


Figure 1.1 – Système d’Ising à deux dimensions où le spin central S_c intéragit uniquement avec les 4 spins indicés 1, 2, 3 et 4.

L’hamiltonien H_{Ising} du système est donné par :

$$H_{Ising} = -J \sum_{\langle ij \rangle} S_i S_j - h \sum_i S_i. \quad (1.1)$$

où $\langle i, j \rangle$ désigne une somme sur les sites qui sont les plus proches voisins, h est le champ magnétique extérieur, S_i représente le spin au site i et J est l’interaction d’échange. Les signes (-) dans l’équation (1.1) sont classiques. Ils dictent simplement le choix du signe pour le paramètre d’interaction J et le champ externe h . La simulation d’un système d’Ising de taille finie par la méthode Monte Carlo permet de calculer les valeurs des grandeurs physiques telles que l’aimantation, l’énergie, la chaleur spécifique et la susceptibilité à une température donnée.

1.1.2 Modèle de Potts

En physique statistique, le modèle de Potts est une généralisation du modèle d’Ising. C’est un modèle d’interaction de spins sur un réseau cristallin [35]. Ce modèle permet de comprendre le comportement des matériaux ferromagnétiques. Il est également utilisé pour expliquer certains phénomènes relatifs à la physique des solides tels que les transitions de phases et les propriétés magnétiques des structures périodiques en couches.

Le modèle de Potts est similaire au modèle d’Ising, hormis le fait que le spin S_i sur chaque site du réseau peut prendre plus de deux valeurs discrètes différentes [36]. Habituellement, ces valeurs sont représentées par des nombres entiers positifs à partir de 1, et le modèle de Potts à q états est celui dans lequel chaque spin peut avoir des valeurs entières $S_i = 1 \dots q$. L’hamiltonien H_{Potts} s’exprime comme suit :

$$H_{Potts} = -J \sum_{\langle ij \rangle} \delta_{S_i S_j}, \quad (1.2)$$

où δ_{ij} est le symbole de Kronecker qui satisfait :

$$\delta_{ij} = \begin{cases} 1 & \text{si } i = j, \\ 0 & \text{si } i \neq j. \end{cases} \quad (1.3)$$

Le modèle de Potts est équivalent au modèle d'Ising pour $q = 2$. Il découle que l'équation (1.2) prend la forme suivante :

$$H_{Potts} = -\frac{1}{2}J \sum_{\langle ij \rangle} 2 \left(\delta_{S_i S_j} - \frac{1}{2} \right) - \sum_{\langle ij \rangle} \frac{1}{2}J, \quad (1.4)$$

avec

$$\begin{cases} \text{Si } S_i = S_j \implies 2 \left(\delta_{S_i S_j} - \frac{1}{2} \right) = 1, \\ \text{Si } S_i \neq S_j \implies 2 \left(\delta_{S_i S_j} - \frac{1}{2} \right) = -1. \end{cases} \quad (1.5)$$

Cet hamiltonien est équivalent à celui d'Ising plus une constante $-\sum_{\langle ij \rangle} \frac{1}{2}J$. Le modèle de Potts avec $q > 2$ transite de l'état ferromagnétique à l'état paramagnétique [17].

1.1.3 Modèle Blume-Emery-Griffiths

Le modèle Blume-Emery-Griffiths (BEG) est un modèle de spin qui présente une grande variété de phénomènes critiques et multicritiques [16]. Ce modèle a été introduit au début pour décrire la séparation de phase et la superfluidité dans les mélanges $^3He - ^4He$ [37]. Par la suite, il a été utilisé pour décrire les systèmes caractérisés par trois états de spin. Il est l'un des rares modèles simples qui donne à la fois la transition de phase du premier ordre et du second ordre. Le modèle Blume-Emery-Griffiths est décrit par l'hamiltonien H_{BEG} :

$$H_{BEG} = -J \sum_{\langle ij \rangle} S_i S_j - K \sum_{\langle ij \rangle} S_i^2 S_j^2 + \Delta \sum_i S_i^2 - h \sum_i S_i, \quad (1.6)$$

$\langle ij \rangle$ indique que la somme est restreinte aux sites des plus proches voisins, J et K sont respectivement, l'interaction bilinéaire et l'interaction biquadratique. Δ et h sont le champ cristallin et le champ magnétique [38].

1.1.4 Modèles de spin continu

Les modèles de spin continu constituent une autre généralisation du modèle d'Ising. Dans ces modèles, les spins sur le réseau ont une gamme continue de valeurs, plutôt qu'un spectre discret comme dans les modèles cités auparavant [17]. Les deux modèles les plus fréquents sont : le modèle XY et le modèle d'Heisenberg.

- **Modèle XY**

Dans le modèle *XY*, les spins sont des vecteurs à deux composantes de norme unité, qui peuvent s'orienter dans n'importe quelle direction dans un plan à deux dimensions (x, y) [36]. L'hamiltonien H_{XY} s'écrit :

$$H_{XY} = -J \sum_{\langle ij \rangle} \vec{S}_i \cdot \vec{S}_j - \vec{h} \sum_i \vec{S}_i, \quad (1.7)$$

où J est la constante d'échange, \vec{h} est le champ magnétique externe et \vec{S}_i est un opérateur de spin.

Les spins peuvent être représentés soit par leurs composantes S_x et S_y qui satisfont la contrainte $S^2 = S_x^2 + S_y^2 = 1$, soit par une variable angulaire qui indique la direction de spin [17]. Il convient donc de réécrire l'hamiltonien H_{XY} en fonction des variables angulaires :

$$H_{XY} = -J \sum_{\langle ij \rangle} \cos(\theta_i - \theta_j) - \sum_i [h_x \cos(\theta_i) + h_y \sin(\theta_i)], \quad (1.8)$$

où les angles θ_i et θ_j sont des variables angulaires locales qui spécifient les orientations des spins. Le modèle *XY* s'étale aussi à l'étude des systèmes tridimensionnels en dépit du fait que les spins sont à deux dimensions.

- **Modèle d'Heisenberg**

Dans le modèle d'Heisenberg les spins sont des vecteurs unitaires à trois dimensions. En effet, les spins d'Heisenberg sont représentés soit par des vecteurs à trois composantes S_x , S_y et S_z tel que $S^2 = S_x^2 + S_y^2 + S_z^2 = 1$, ou bien par deux angles variables θ et Φ en coordonnées sphériques [36]. Dans ce cas, l'hamiltonien H_{Heis} prend la forme :

$$H_{Heis} = -J \sum_{\langle i,j \rangle} S_{xi} S_{xj} + S_{yi} S_{yj} + S_{zi} S_{zj} - \sum_i (h_x S_{xi} + h_y S_{yi} + h_z S_{zi}), \quad (1.9)$$

où J est la constante d'échange et h_x , h_y et h_z sont les composantes du champ magnétique suivant l'axe x , y et z respectivement.

Le modèle d'Heisenberg est un modèle de spin qui permet de traiter directement la dépendance en spin d'un système de plusieurs électrons.

1.2 Conditions aux bords

La méthode Monte Carlo étudie les propriétés d'un système fini, alors que l'on s'intéresse généralement aux propriétés d'un système infini. Afin d'être en mesure d'effectuer une extrapo-

lation significative à la limite thermodynamique, la question des conditions aux bords s'impose. Pour traiter les effets de bords il faut tenir compte de la formulation du problème autant bien que de la nature du système. Ceci a donné naissance à différentes approches que nous étalons dans ce qui suit.

1.2.1 Conditions aux limites périodiques

Une façon pour éliminer les limites au bord, connus aussi par limites du réseau, revient à encapsuler un réseau de dimension d sur un tore de dimension $(d+1)$ [27]. Cette condition aux limites périodiques fait que le premier spin dans une rangée considère le dernier spin dans la ligne comme un plus proche voisin et vice-versa [16]. Il en est de même pour les spins en haut et en bas d'une colonne comme il est montré dans la figure (1.2) pour un réseau carré.

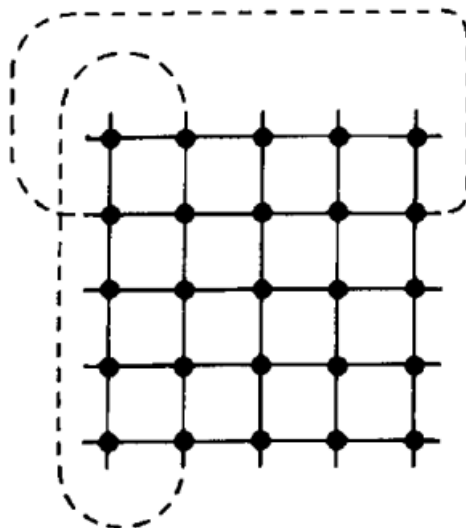


Figure 1.2 – Conditions aux bords périodiques pour le modèle d’Ising bidimensionnel [16].

Les conditions aux limites périodiques est donc une procédure qui élimine effectivement les effets de bord pour un système qui demeure caractérisé par la taille de réseau fini L , puisque la valeur maximale de la longueur de corrélation est limitée à $L/2$ et les propriétés qui en résultent du système vont différer de celles du réseau infini correspondant [16].

1.2.2 Conditions aux limites périodiques vis

Ce type de conditions considère une limite enroulable. Pour ce fait, les spins sur le réseau sont représentés en tant qu’entrées dans un vecteur unidimensionnel enroulé autour du système [16]. Dans cette approche, le dernier spin dans une ligne et le premier spin dans la ligne suivante sont proches voisins comme illustré sur la figure (1.3) pour le modèle d’Ising bidimensionnel.

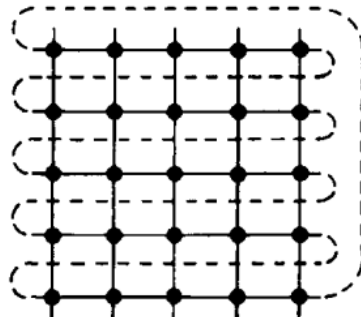


Figure 1.3 – Conditions aux limites périodiques vis pour le modèle d’Ising bidimensionnel [16].

Outre la limitation de la longueur de corrélation maximale possible, une couture est introduite en raison de la forme de bord périodique. Cela signifie que les propriétés du système ne seront pas complètement homogènes. Dans la limite de réseau de taille infinie, cet effet devient négligeable. Cependant, pour des systèmes finis, il y a une différence systématique en ce qui concerne les conditions aux limites complètement périodiques qui peuvent ne pas être négligeables [16].

1.2.3 Conditions aux limites antipériodiques

Si les conditions aux limites périodiques sont appliquées avec un changement de signe du couplage aux bords, alors une interface sera introduite dans le système. Cette opération mène aux conditions aux limites antipériodiques [39]. Les conditions aux limites antipériodiques s’effectuent selon la direction normale à l’interface que l’on souhaite étudier, tandis que les conditions aux limites périodiques seront appliquées dans l’autre direction.

1.2.4 Conditions aux limites de bord libre

C’est un autre type de limite qui ne comporte aucun type de connexion entre la fin d’une ligne et de n’importe quelle autre ligne dans un réseau. Par conséquent, les spins à la fin d’une ligne ne possèdent aucun proche voisin comme présenté sur la figure (1.4) pour le modèle d’Ising bidimensionnel.

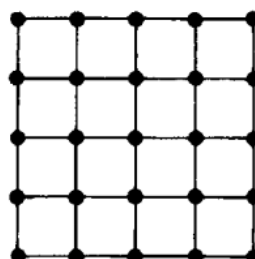


Figure 1.4 – Conditions aux limites de bord libre pour le modèle d’Ising bidimensionnel [16].

De plus, la limite de bord libre n'introduit pas seulement la bavure de taille finie, mais elle tient compte également des effets de surfaces et de coins dûs aux liaisons pendantes sur les bords puisque d'importants changements peuvent se produire près des surfaces où le comportement du système n'est pas homogène [16]. Notons aussi que les limites de bord libres constitue l'approche la plus réaliste pour certaines situations tel que la modélisation du comportement des particules ou des nanoparticules superparamagnétiques. En général, les propriétés des systèmes avec des limites de bord libre diffèrent des propriétés du système infini avec des conditions aux limites périodiques [39].

1.3 Monte Carlo statique

Dans cette section, nous présenterons les éléments de base de la simulation Monte Carlo, qui est crucial dans la compréhension des simulations Monte Carlo thermiques réalisées au cours des trente dernières années.

1.3.1 Équation Maîtresse et estimateur

L'idée de base de la méthode Monte Carlo est de simuler la fluctuation thermique aléatoire du système d'un état à un autre. La probabilité de trouver le système dans l'état a au cours de la simulation est égale au poids de cet état dans le système réel. Ceci nécessite le choix d'une règle qui régit le passage d'un état à un autre au cours de la simulation [17]. C'est ce que nous allons discuter dans ce qui suit. Mais tout d'abord, nous allons commencer par introduire les processus physiques qui donnent l'équation maîtresse :

$$\frac{dp_a}{dt} = \sum_b (p_b(t) w_{ba} - p_a(t) w_{ab}), \quad (1.10)$$

où $p_a(t)$ est la probabilité d'observer le système dans la configuration a à l'instant t connaissant la distribution des probabilités à l'instant initial alors que w_{ab} présente la probabilité de passer de la configuration a à b par unité de temps. Les w_{ab} sont choisis de façon que la solution d'équilibre de l'équation maîtresse relève de la distribution de Boltzmann p_a est donnée par :

$$p_a = \frac{e^{\frac{-E_a}{kT}}}{Z}. \quad (1.11)$$

où E_a est l'énergie de l'état a , k est la constante de Boltzmann, T est la température et Z est la fonction de partition du système.

L'équation maîtresse (1.10) est une équation qui donne la variation de la probabilité de chaque état ; c'est-à-dire l'évolution de la probabilité. L'avantage de cette équation est d'avoir une

1.1.3 Monte Carlo statique

bonne estimation des grandeurs physiques à partir de petits échantillons. Néanmoins, cette équation induit des erreurs statistiques, parmi lesquelles on a un bruit dans Z qui peut induire des dérivées mal calculées. Il est donc préférable de calculer plusieurs moyennes. Par exemple au lieu de considérer la chaleur spécifique C comme étant :

$$C = \frac{dE}{dT}, \quad (1.12)$$

il est préférable de travailler avec la forme suivante :

$$C = \frac{k\beta^2}{N} (\langle E^2 \rangle - \langle E \rangle^2), \quad (1.13)$$

où $\beta = \frac{1}{kT}$ est le beta thermodynamique et N est le nombre total de particules.

Il s'ensuit que la recherche et le calcul des valeurs moyennes présentent les principaux objectifs des simulations Monte Carlo [20, 28]. Mais pour accélérer les calculs, il est préférable d'utiliser les probabilités.

La valeur moyenne d'une quantité Q , par sommation sur tous les états a du système et sur leurs probabilités respectives, est donnée par :

$$\langle Q \rangle = \frac{\sum_a Q_a e^{-\beta E_a}}{\sum_a e^{-\beta E_a}}. \quad (1.14)$$

Cette moyenne ne peut être calculée que pour de systèmes très petits. Pour des systèmes de grande taille, la somme sur un sous-ensemble d'états induit des imprécisions. La méthode Monte Carlo consiste à choisir au hasard un sous-ensemble d'états à partir d'une distribution p_a à spécifier [40].

Supposons que le choix porte sur le sous-ensemble $M = \{a_1, \dots, a_M\}$. L'estimation Q_M de la quantité Q s'écrit comme suit :

$$Q_M = \frac{\sum_{i=1}^M Q_{ai} p_{ai}^{-1} e^{-\beta E_{ai}}}{\sum_{j=1}^M p_{aj}^{-1} e^{-\beta E_{aj}}}. \quad (1.15)$$

L'équation (1.15) donne une estimation de Q sur un modèle réduit où plus le nombre M d'états dans l'échantillon augmente, plus on se rapproche de la vraie valeur de $\langle Q \rangle$. Ceci peut être exprimé comme suit :

$$\langle Q \rangle = \lim_{M \rightarrow \infty} Q_M = Q_M. \quad (1.16)$$

Il reste alors à déterminer M pour une meilleure expression de Q . Pour ce faire, il suffit de considérer une équiprobabilité entre les états du système. C'est-à-dire tous les p_a sont égaux [17], d'où

$$\begin{aligned} Q_M &= \frac{\sum_{i=1}^M p_a^{-1} Q_{ai} e^{-\beta E_{ai}}}{\sum_{j=1}^M p_a^{-1} e^{-\beta E_{aj}}} \\ &= \frac{\sum_{i=1}^M Q_{ai} e^{-\beta E_{ai}}}{\sum_{j=1}^M e^{-\beta E_{aj}}}. \end{aligned} \quad (1.17)$$

En fait, c'est le plus mauvais choix.

1.3.2 Principes de la simulation Monte Carlo

La simulation Monte Carlo repose sur trois paramètres importants :

- *l'échantillon important,*
- *la balance détaillée,*
- *le taux d'acceptation.*

• *Échantillon important*

La méthode Monte Carlo consiste à choisir un échantillon qui contient les états dominants. Cette opération s'appelle l'échantillon important [41]. Les états de l'échantillon ne sont pas équiprobables, mais distribués selon la distribution de probabilité de Boltzmann donnée dans l'équation (1.11) qui permet d'améliorer l'estimation. Cette distribution est la forme la plus connue de l'échantillon important [17]. Dans ce cas, l'estimation Q_M devient :

$$Q_M = \frac{1}{M} \sum_{i=1}^M Q_{ai}. \quad (1.18)$$

Ce résultat est mieux que l'estimation obtenue en équation (1.17) lorsque tous les p_a sont égaux. Avant de présenter la balance détaillée et le taux d'acceptation, il sera plus fondamental d'exposer tout d'abord le processus de Markov et l'ergodicité.

• *Processus de Markov*

La partie la plus complexe dans la simulation Monte Carlo est la génération d'un ensemble aléatoire appropriée des états en fonction de la distribution de probabilité de Boltzmann [39]. En d'autres termes, on ne peut pas choisir au hasard certains états puis les accepter ou les rejeter avec une probabilité proportionnelle à $e^{-\beta E_a}$ puisque le résultat n'en sera pas meilleur que celui issu d'un échantillonnage hasardeux. Dans ce cas, nous risquons de répéter virtuellement certains états autant que leurs probabilités sont exponentiellement petites [42]. Pour éviter cette contrainte, presque tous les algorithmes des méthodes Monte Carlo utilisent le processus

1.1.3 Monte Carlo statique

de Markov pour choisir les états utilisés [36].

Le processus de Markov [35] n'est autre que le mécanisme qui génère un état b du système à partir d'un autre a connu [20, 24]. L'état généré n'est pas toujours le même. Ainsi, il parcourt le système à la recherche d'un nouvel état avec une probabilité de transition $w(a \rightarrow b)$ à laquelle il impose deux conditions [17] :

- ne pas varier avec le temps,
- dépendre uniquement des propriétés du système sur les états a et b .

Ceci traduit le fait que la probabilité de transition $w(a \rightarrow b)$ d'un état a à un autre b du processus de Markov est toujours constante et devra satisfaire à la relation de fermeture [17] :

$$\sum_b w(a \rightarrow b) = 1. \quad (1.19)$$

$w(a \rightarrow a)$ n'est pas obligatoirement nul.

Dans la simulation Monte Carlo, le processus de Markov est utilisé à plusieurs reprises pour générer une chaîne de Markov des états [23, 28]. Cette chaîne est généralement utilisée lorsqu'on veut partir de n'importe quel état du système et générer, par exemple, une suite de configurations de certains états précis (finaux). Pour parachever cet objectif, il est utile d'imposer deux nouvelles conditions au processus de Markov, notamment l'ergodicité et la balance détaillée [17].

• Ergodicité

La condition d'ergodicité est le fait que le système peut à partir d'un état donné passer lors du processus de Markov par n'importe quel état initial pour un nouvel état.

Ceci est nécessaire pour générer des états avec leurs probabilités de Boltzmann. Chaque état b apparaît avec une certaine probabilité non nulle p_b dans la distribution de Boltzmann. L'accès de cet état à partir d'un autre état distinct de a ne provoquera aucun problème. Le processus de l'état initial est repris pour le nouvel état [20].

La condition d'ergodicité nous montre que nous pouvons prendre certaines probabilités de transition nulles dans le processus de Markov. Ce ne sera pas le cas pour deux états distincts que nous prenons dans un espace restreint [41]. En pratique, la plupart des algorithmes de Monte Carlo configure toutes les probabilités de transition à zéro. Il nous faut, dans ce cas, faire attention à ne pas créer un algorithme qui ne satisfait pas la condition d'ergodicité.

• Balance détaillée

La condition de la balance détaillée assure que la distribution de probabilité de Boltzmann

Chapitre 1. Méthode Monte Carlo pour les modèles de spin

générée après que le système considéré atteint l'équilibre, est la plus grande de toutes les autres distributions [16].

Si le système est en équilibre, les taux de transition à partir d'un état et vers le même état sont égaux [17]. On écrit donc :

$$\sum_b p_a w(a \rightarrow b) = \sum_b p_b w(b \rightarrow a). \quad (1.20)$$

À partir de

$$\sum_b w(a \rightarrow b) = 1, \quad (1.21)$$

on a

$$p_a = \sum_b p_b w(b \rightarrow a). \quad (1.22)$$

Pour tout ensemble de probabilités de transitions qui satisfait cette équation, la distribution p_a sera un état d'équilibre à partir de la dynamique du processus de Markov. Malheureusement, répondre à cette équation ne nous garantit pas d'atteindre p_a à partir de n'importe quel état du système [39].

En effet, la probabilité de transition $w(a \rightarrow b)$ peut être déterminée comme un élément de la matrice W . Cette matrice est appelée matrice de Markov ou la matrice stochastique pour le processus de Markov.

Considérant $q_a(t)$, si nous mesurons le temps mis dans chaque état le long de la chaîne de Markov, la probabilité d'être dans l'état b à un instant $t + 1$ est donnée par [17] :

$$q_b(t + 1) = \sum_a w(a \rightarrow b) q_a(t). \quad (1.23)$$

Sous forme matricielle, on obtient :

$$Q(t + 1) = W.Q(t), \quad (1.24)$$

$Q(t)$ est le vecteur dont les coordonnées sont les différents poids statistiques $q_a(t)$.

À l'équilibre, le processus de Markov satisfera à :

$$Q(\infty) = W.Q(\infty). \quad (1.25)$$

Cependant, il est également possible au processus d'atteindre l'équilibre dynamique par rotation de Q sur toute la chaîne. Une telle rotation est appelée cycle limite [17].

1.1.3 Monte Carlo statique

Dans ce cas $Q(\infty)$, est :

$$Q(\infty) = W^n \cdot Q(\infty), \quad (1.26)$$

où n est la longueur du cycle limite.

Si nous choisissons une probabilité de transition (ou de manière équivalente une matrice de Markov) pour satisfaire à la relation (1.22), nous garantirons que la chaîne de Markov aura une simple probabilité d'équilibre de distribution p_a . Mais, elle peut aussi avoir un nombre quelconque de cycles limites de la forme (1.26). Cela signifie que rien ne garantit que l'état d'équilibre généré aura la probabilité de distribution désirée [39].

Pour contourner ce problème, nous appliquerons une condition supplémentaire à nos probabilités de transition [17] :

$$p_a w(a \rightarrow b) = p_b w(b \rightarrow a). \quad (1.27)$$

C'est la condition de la balance détaillée. Puisque l'équation (1.20) est une sommation de (1.27), sur les différents états, alors chaque état satisfaisant (1.27) va satisfaire (1.20). Nous pouvons également montrer que cette condition élimine les cycles limites [41]. En effet, la balance détaillée nous enseigne qu'en moyenne, le système peut quitter un état a vers un autre b indifféremment du chemin choisi et après un temps infini. Une fois qu'on enlève les cycles limites de cette façon, il est facile de vérifier que le système aura toujours une probabilité de distribution p_a lorsque $t \rightarrow \infty$. À $t \rightarrow \infty$, $Q(t)$, tendra exponentiellement vers le vecteur propre correspondant à la plus grande valeur propre de W (propriété des matrices stochastiques) [17]. On remarque que les grandes valeurs propres des matrices de Markov W pourront être équivalentes à partir de l'équation (1.26). Si les cycles limites de la forme (1.27) étaient présents, nous pourrions aussi avoir des valeurs propres qui seraient des racines complexes. Mais la condition de balance détaillée nous prévient de cette possibilité.

• Taux d'acceptation

Après l'avoir décrit précédemment comme élément important pour l'obtention rapide et efficace d'un système à l'état d'équilibre, nous avons aussi démontré que nous pouvons générer un processus de Markov avec lequel nous pouvons retrouver de nouveaux états avec une probabilité qui puisse répondre à l'équation (1.27). Cependant, il est difficile de prévoir le processus de Markov approprié pour générer un nouvel état à partir d'un autre état précédent avec un bon ensemble de probabilités de transition [17]. D'après l'équation de la balance détaillée, les probabilités de transition doivent satisfaire :

$$\frac{w(a \rightarrow b)}{w(b \rightarrow a)} = \frac{p_b}{p_a} = e^{-\beta(E_b - E_a)}. \quad (1.28)$$

Chapitre 1. Méthode Monte Carlo pour les modèles de spin

Cela implique que les inconnues $w(a \rightarrow b)$ à déterminer ne dépendent pas de la fonction Z , mais uniquement du facteur de Boltzmann relié à l'énergie de chaque état qui peut être calculée [40].

Les méthodes standards ne s'appliquent pas toujours aux nouveaux problèmes. On construit de nouveaux algorithmes pour des besoins spécifiques. Même si on peut proposer plusieurs processus de Markov, on peut ne pas trouver celui qui donne le bon ensemble de probabilités de transition. De ce fait, il est nécessaire d'avoir une probabilité de transition souhaitée par l'introduction d'une condition d'acceptation du taux de transition qui va permettre de trouver les bonnes probabilités de transition à partir d'un processus de Markov quelconque [41]. L'idée sous-jacente de cette astuce est la suivante : nous avons mentionné précédemment que nous pouvons introduire une probabilité de transition de base $w(a \rightarrow b) \neq 0$. Si nous fixons $a = b$ dans l'équation (1.28), nous obtenons la tautologie simple ($1 = 1$). Ce qui signifie que la condition de la balance détaillée est toujours satisfaite pour $w(a \rightarrow b)$, peu importe la valeur de cette probabilité. De fait, nous disposons d'une certaine flexibilité sur la façon dont nous choisissons les autres probabilités de transition avec $a = b$. Nous pouvons donc ajuster la valeur de n'importe quelle $w(a \rightarrow b)$, telle que la règle de fermeture (1.19) soit vérifiée par une simple compensation de cet ajustement avec un autre ajustement équivalent, mais opposée à $w(a \rightarrow a)$. Le seul point que nous devons examiner est que $w(a \rightarrow a)$ ne dépasse pas ses limites (soit $0 < w(a \rightarrow a) < 1$). Si nous faisons un ajustement de ce genre dans $w(a \rightarrow b)$, nous pouvons également nous organiser afin que l'équation (1.28) soit satisfaite, en faisant simultanément un changement en $w(a \rightarrow b)$, afin de préserver le rapport entre les deux [17]. Il s'avère que ces considérations nous donnent effectivement assez de liberté sur la possibilité de donner aux probabilités de transition n'importe quel ensemble de valeurs que nous souhaitons en ajustant les valeurs des probabilités $w(a \rightarrow a)$ [40]. Pour voir cela, décomposons la probabilité de transition en deux parties :

$$w(a \rightarrow b) = \alpha(a \rightarrow b) \rho(a \rightarrow b), \quad (1.29)$$

où $\alpha(a \rightarrow b)$ est la probabilité de sélection ; probabilité pour que notre algorithme génère l'état final b à partir de l'état initial a et $\rho(a \rightarrow b)$ étant le taux d'acceptation (appelé aussi probabilité d'acceptation). Le rapport d'acceptation indique que si on commence à a et que notre algorithme génère b , on devrait accepter b et on change l'état du système à b , pendant une fraction de temps $\rho(a \rightarrow b)$. Le reste du temps, il reste dans a . L'acceptation est arbitraire entre zéro et un ($0 < \rho(a \rightarrow b) < 1$). Opter $\rho(a \rightarrow b) = 0$ pour toutes les transitions, est équivalent à choisir $w(a \rightarrow a) = 1$, qui est la plus grande valeur qu'elle puisse prendre et signifie que

1.1.3 Monte Carlo statique

nous ne pourrons jamais quitter l'état b [17]. Ceci nous donne une liberté totale du choix de la probabilité de sélection $\alpha(a \rightarrow b)$, puisque la contrainte (1.28) ne fixe que le rapport :

$$\frac{w(a \rightarrow b)}{w(b \rightarrow a)} = \frac{\alpha(a \rightarrow b) \rho(a \rightarrow b)}{\alpha(b \rightarrow a) \rho(b \rightarrow a)}, \quad (1.30)$$

où $\frac{\rho(a \rightarrow b)}{\rho(b \rightarrow a)} \in [0, \infty[$, donc $\alpha(a \rightarrow b)$ et $\alpha(b \rightarrow a)$ peuvent prendre n'importe quelle valeur souhaitée.

La relation de fermeture (1.19) est toujours satisfaite, car le système doit se retrouver dans un état après chaque étape de la chaîne de Markov, même si cet état est celui avec lequel nous avons commencé [40].

Donc, pour créer un algorithme de Monte Carlo, nous devons élaborer un algorithme qui génère de nouveaux états aléatoires a à partir des anciens états b , avec un ensemble des probabilités $\alpha(a \rightarrow b)$. Puis, nous acceptons ou rejetons ces états avec le rapport d'acceptation $\rho(a \rightarrow b)$ choisi pour satisfaire l'équation (1.30). Cela satisfait, alors, toutes les exigences pour les probabilités de transition et produira ainsi une chaîne des états qui apparaîtront avec leurs probabilités de Boltzmann lorsque le système atteint l'équilibre [41].

Il est, toutefois un point que nous devons toujours garder à l'esprit qui reste l'un des aspects les plus importants dans la conception des algorithmes de Monte Carlo. Si le rapport d'acceptation est faible, l'algorithme paraîtra immobile, ce qui bloque naturellement l'évolution du système. Il nous faut donc trouver un algorithme qui puisse évoluer entre les états pour un large échantillonnage. En effet, pour éviter que l'algorithme soit lent, on choisit un rapport d'acceptation proche de 1. Une façon de le faire est de noter que l'équation (1.30) fixe seulement le rapport $\frac{\rho(a \rightarrow b)}{\rho(b \rightarrow a)}$ de taux d'acceptation entre deux états distincts dans n'importe quelle direction. Avec comme contrainte que ce taux soit compris entre zéro et un, bien que mathématiquement, on puisse le multiplier proportionnellement par un coefficient réel [40].

Cependant, la meilleure option à prendre pour garder des rapports d'acceptation élevés est d'essayer d'incarner dans la probabilité de sélection $\alpha(a \rightarrow b)$ autant que nous le pouvons de dépendance de $w(a \rightarrow b)$ des caractéristiques des états a et b et d'en mettre le moins possible dans le taux d'acceptation. Un bon algorithme est celui dans lequel la probabilité d'acceptation est généralement proche de 1 [17].

1.3.3 Temps d'équilibre

La méthode Monte Carlo ne prend pas en compte toutes les configurations possibles. Mais, les configurations négligées en majorité sont les moins probables et donc influencent peu les résultats. Effectivement, les configurations peu probables sont naturellement éliminées par la

fonction de probabilité de transition. Par exemple, il est quasi impossible que la configuration d'un spin orienté vers le bas dans un domaine de spins orientés vers le haut se réalise pour une température assez faible [16, 17].

On fait tourner le programme suffisamment longtemps pour que le résultat ne dépende pas de la configuration initiale afin d'atteindre l'équilibre [17, 28, 41]. Ce temps s'appelle temps d'équilibre [17, 28, 41]. Après l'équilibre, on calcule sur une nouvelle période l'estimation de la grandeur physique qui nous intéresse par la relation :

$$Q_M = \frac{1}{M} \sum_{i=1}^M Q_{ai}. \quad (1.31)$$

Pour visualiser l'équilibre, on trace une quantité physique, comme l'aimantation ou l'énergie. Après l'équilibre, la quantité physique se stabilise et seules les fluctuations restent. Dans certains cas, le système reste piégé dans un minimum local d'énergie. Pour éviter cette situation, on part de différentes configurations initiales [16, 17].

1.3.4 Mesures

Dès que nous sommes sûrs que le système a atteint l'équilibre, nous pouvons mesurer la moyenne des grandeurs physiques qui nous intéresse [17]. Pour calculer l'énergie, on utilise $\Delta E = E_b - E_a$ qui a été calculée au cours de la simulation :

$$E_b = E_a + \Delta E, \quad (1.32)$$

et pour calculer l'aimantation, on utilise :

$$\Delta M = M_b - M_a = \sum_i S_i^b - \sum_i S_i^a = S_k^b - S_k^a = 2S_k^b, \quad (1.33)$$

avec :

$$M_a = \sum_i S_i^a, \quad (1.34)$$

d'où :

$$M_b = M_a + \Delta M = M_a + 2S_k^b. \quad (1.35)$$

Nous pouvons également calculer la moyenne des carrés de l'énergie et de l'aimantation pour définir les quantités de chaleur spécifique et de susceptibilité magnétique. À ce titre, la chaleur spécifique est donnée par :

$$C = \frac{\beta^2}{N} \left(\langle E^2 \rangle - \langle E \rangle^2 \right), \quad (1.36)$$

et la susceptibilité magnétique est donnée par :

$$\chi = \frac{\beta}{N} \left(\langle M^2 \rangle - \langle M \rangle^2 \right). \quad (1.37)$$

1.4 Algorithmes de simulation

1.4.1 Algorithme de Métropolis

L'algorithme de Métropolis est l'une des plus efficaces et simples solutions en ce qui concerne les problèmes de simulation en transition de phase [17]. Nous utiliserons cet algorithme pour illustrer les nombreux concepts généraux impliqués dans un calcul de Monte Carlo, y compris l'équilibre, la mesure de valeurs moyennes et le calcul des erreurs.

L'algorithme Metropolis suit les étapes de la méthode Monte Carlo définies dans le taux d'acceptation [35]. Nous choisissons un ensemble de probabilités de sélection $\alpha(a \rightarrow b)$ pour chaque transition $(a \rightarrow b)$. Puis on opte pour un ensemble de probabilités d'acceptation $\rho(a \rightarrow b)$ tel que l'équation (1.30) réponde à la condition de la balance détaillée. Cet algorithme consiste à générer, à partir d'une configuration de départ, de nouvelles configurations par la modification aléatoire des coordonnées d'une ou de plusieurs particules [16, 26, 35]. La probabilité de sélection $\alpha(a \rightarrow b)$ doit être définie pour satisfaire à la condition d'ergodicité. On considère la dynamique de retourner un seul spin à chaque étape [26, 28]. En effet, l'utilisation de cette dynamique garantit que la différence d'énergie entre deux états successifs ne dépasse pas $2zJ$, où z est le nombre des sites voisins d'un site donné et J l'interaction d'échange [17]. Avec la dynamique de retourner un seul spin à chaque étape, nous possédons N spins différents et donc N états possibles b à atteindre à partir d'un état donné a . Ainsi, il y a N probabilités de sélection $\alpha(a \rightarrow b)$ qui ne sont pas nulles [16]. Chacune d'entre elles prend alors la valeur suivante :

$$\alpha(a \rightarrow b) = \frac{1}{N}. \quad (1.38)$$

Avec ces probabilités de sélection, la condition de la balance détaillée [41], se révèle sous la forme suivante :

$$\frac{w(a \rightarrow b)}{w(b \rightarrow a)} = \frac{\alpha(a \rightarrow b) \rho(a \rightarrow b)}{\alpha(b \rightarrow a) \rho(b \rightarrow a)} = \frac{\rho(a \rightarrow b)}{\rho(b \rightarrow a)} = e^{-\beta(E_b - E_a)}, \quad (1.39)$$

où nous choisissons :

$$\rho(a \rightarrow b) = \rho_0 e^{-\frac{\beta}{2}(E_b - E_a)}, \quad (1.40)$$

Chapitre 1. Méthode Monte Carlo pour les modèles de spin

La constante de proportionnalité ρ_0 est arbitraire et la plus grande valeur de $e^{-\frac{\beta}{2}(E_b-E_a)}$ est $e^{\beta zJ}$. Ainsi, pour assurer $\rho(a \rightarrow b) \leq 1$ on détermine

$$\rho_0 = e^{-\beta zJ}. \quad (1.41)$$

L'algorithme est d'autant plus efficace que $\rho(a \rightarrow b)$ est grand. Cela nous donne :

$$\rho(a \rightarrow b) = e^{-\frac{\beta}{2}(E_b-E_a+2zJ)}, \quad (1.42)$$

qui n'est pas Metropolis, mais en utilisant cette probabilité d'acceptation, nous pouvons effectuer une simulation Monte Carlo du modèle d'Ising [17]. Toutefois, la simulation sera inefficace car elle rejette la majorité des transitions. La solution à ce problème est la suivante : dans l'équation (1.40), nous avons pris une forme fonctionnelle particulière pour le taux d'acceptation, mais la condition de la balance détaillée (1.39), n'avait pas besoin de prendre cette forme [16, 17]. De ce fait, comme nous avons indiqué dans le taux d'acceptation, pour que l'algorithme soit encore plus efficace, il convient que le rapport d'acceptation soit maximal. C'est-à-dire proche de 1. Dans ce cas, pour voir comment cela fonctionne, nous supposerons que $E_a < E_b$ et $\rho(b \rightarrow a) = 1$. Afin de satisfaire l'équation (1.39), $\rho(a \rightarrow b)$ doit alors prendre la valeur $e^{-\beta(E_b-E_a)}$. Ainsi, l'algorithme optimal est celui où :

$$\rho(a \rightarrow b) = \begin{cases} e^{-\beta(E_b-E_a)} & \text{si } E_b - E_a > 0, \\ 1 & \text{ailleurs,} \end{cases} \quad (1.43)$$

qui est l'algorithme de Metropolis lancé pour le modèle d'Ising avec la dynamique de retournement d'un seul spin [16, 17].

• *Implémentation de l'algorithme Metropolis*

La première étape de l'algorithme Metropolis consiste à générer un nouvel état b à partir de l'état a . Les deux états diffèrent par le retournement d'un seul spin. Il importe de choisir un spin k au hasard sur le réseau et de considérer son renversement $S_k \rightarrow -S_k$. Ensuite, on calcule à partir de l'expression de l'hamiltonien [17]. La variation d'énergie entre les deux états est donc :

$$E_b - E_a = -J \sum_{\langle ij \rangle} S_i^b S_j^b + J \sum_{\langle ij \rangle} S_i^a S_j^a = -J \sum_{n.p.v} S_i^a (S_k^b - S_k^a). \quad (1.44)$$

$$\begin{aligned} \text{Si } S_k^a &= 1 \quad \text{alors } S_k^b = -1 \quad \text{et } S_k^b - S_k^a = -2, \\ \text{si } S_k^a &= -1 \quad \text{alors } S_k^b = 1 \quad \text{et } S_k^b - S_k^a = 2. \end{aligned} \quad (1.45)$$

1.1.4 Algorithmes de simulation

À ce titre, nous pouvons écrire :

$$S_k^b - S_k^a = -2S_k^a, \quad (1.46)$$

et donc

$$E_b - E_a = 2J \sum_{n.p.v} S_i^a S_k^a = 2JS_k^a \sum_{n.p.v} S_i^a. \quad (1.47)$$

L'algorithme consiste donc à calculer $E_b - E_a$ à partir de l'équation (1.47), puis en suivant la règle donnée dans l'équation (1.43) [16] :

- Si $E_b - E_a \leq 0$ on accepte le retournement $S_k \rightarrow -S_k$.
- Si $E_b - E_a > 0$ on admet le retournement $S_k \rightarrow -S_k$ avec la probabilité $\rho(a \rightarrow b) = e^{-\beta(E_b - E_a)}$.
- On génère alors un nombre aléatoire ξ , tel que $0 \leq \xi < 1$. Si $\xi \leq \rho(a \rightarrow b)$, on consent au retournement $S_k \rightarrow -S_k$, sinon on ne fait rien.
- On tire ensuite un nouveau site au hasard et on recommence la procédure.

Dans la pratique, l'algorithme de Metropolis se présente de la manière suivante (voir figure (1.5)) :

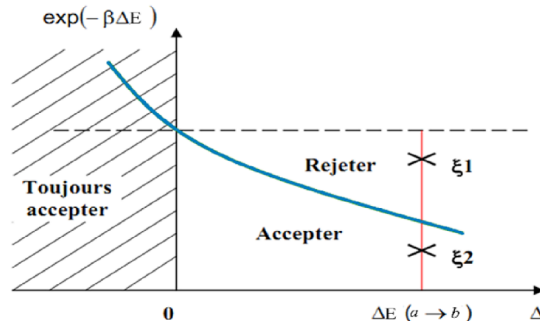


Figure 1.5 – Critère d'acceptation de la méthode de Metropolis.

Le calcul d'une moyenne thermique ne peut commencer que lorsque le système atteint l'équilibre. Ainsi, dans une simulation Monte Carlo, il y a généralement deux périodes : la première, où partant d'une configuration initiale, on réalise une dynamique afin d'amener le système près de l'équilibre ; la seconde, où le système évolue au voisinage de l'équilibre et le calcul des moyennes est réalisé [17]. En l'absence de critère précis, la durée de la première période n'est pas facilement prévisible. Une première technique a été pendant longtemps, de suivre l'énergie instantanée du système en considérant que l'équilibre est atteint lorsque l'énergie se stabilise autour d'une valeur quasi-stationnaire [16].

1.4.2 Algorithme du bain thermique (heat-bath algorithm)

L'algorithme du bain thermique est également un algorithme de retournement d'un seul spin [17, 39, 41], mais cet algorithme s'avère plus efficace pour trouver les états énergiquement

désirables des spins dans le cas où nous avons un seul spin avec plusieurs états [39]. Le principe de cet algorithme est [17] :

- On choisit un spin k au hasard sur le réseau.
- On définit une nouvelle valeur pour s_k , c'est-à-dire une valeur n entre 1 et q avec la probabilité :

$$p_n = \frac{e^{-\beta E_n}}{\sum_{m=1}^q e^{-\beta E_m}}, \quad (1.48)$$

E_n est l'énergie du système lorsque $s_k = n$. Il est clair que cet algorithme satisfait l'ergodicité et la balance détaillée. La probabilité de transition de $s_k = n$ à $s_k = n'$ est $p_{n'}$ et la probabilité de retour est p_n , donc :

$$\frac{p(n \rightarrow n')}{p(n' \rightarrow n)} = \frac{p_{n'}}{p_n} = \frac{e^{-\beta E_{n'}}}{\sum_{m=1}^q e^{-\beta E_m}} \times \frac{\sum_{m=1}^q e^{-\beta E_m}}{e^{-\beta E_n}} = e^{-\beta(E_{n'} - E_n)}, \quad (1.49)$$

ainsi, la balance détaillée est satisfaite. Cet algorithme est plus efficace que celui de Metropolis pour un grand q , car il choisit l'état qui a un plus grand poids que celui de Boltzmann [16].

1.4.3 Algorithme de BKL (Bortz, Kalos et Lebowitz)

L'algorithme de BKL ou la méthode Monte Carlo à temps continu est une autre technique à adjoindre à notre processus de Markov [43]. Cet algorithme n'est pas suffisamment utilisé comme il devrait être. Néanmoins, il reste une technique importante et puissante pour de nombreux calculs [41].

Considérons un système à basse température. Ces systèmes ont toujours un problème où le passage d'un état à un autre est très lent et le taux d'acceptation faible. En effet, le système passe la majorité du temps dans l'état fondamental. Dans cette technique, l'étape de temps dépend de l'estimation du temps pendant lequel le système reste dans son état avant de passer à un nouvel état. On donne un grand poids dans $\langle Q \rangle$, aux états qui sont occupés le plus longtemps. Soit Δt le temps que le système passe dans un état a avant de passer à un autre. Le temps est obtenu à partir de $w(a \rightarrow a)$ [17]. La probabilité de rester dans a après t étapes est :

$$[w(a \rightarrow a)]^t = e^{t \log w(a \rightarrow a)}, \quad (1.50)$$

et le temps Δt est donné par :

$$\Delta t = \frac{1}{\log w(a \rightarrow a)} = -\frac{1}{\log \left[1 - \sum_{b \neq a} w(a \rightarrow b) \right]} \simeq \frac{1}{\sum_{b \neq a} w(a \rightarrow b)}. \quad (1.51)$$

1.1.4 Algorithmes de simulation

Si on peut calculer Δt , alors au lieu d'attendre plusieurs étapes Monte Carlo pour que le changement soit accepté, on suppose cela et on passe directement à un autre état. Ainsi, l'algorithme Monte Carlo à temps continu se compose des étapes suivantes [17, 41, 43] :

- on évalue les probabilités $w(a \rightarrow b)$ à partir de a . On choisit un nouvel état b avec une probabilité proportionnelle à $w(a \rightarrow b)$ et on change l'état de système à b ,
- on calcule Δt et on le recalcule à chaque étape,
- on incrémente le temps t de Δt pour tenir compte du temps que le système passe dans le même état.

Cette technique très élégante pour les problèmes de la simulation d'un système à basse température. Elle possède quelques inconvénients qu'il faut prendre en compte :

- dans la première étape, le nombre d'états b croît exponentiellement avec la taille du système et le temps pour calculer les probabilités $w(a \rightarrow b)$ est long,
- souvent l'ensemble des probabilités de transition ne change pas beaucoup d'une étape à une autre. Il est possible de ne stocker à chaque étape que les nouvelles transitions.

1.4.4 Algorithmes d'amas

• *Algorithme de Wolff*

Lorsque la longueur de corrélation devient importante au voisinage de la température critique T_c , des domaines se forment, où tous les spins pointent dans la même direction. Il est alors très difficile pour l'algorithme de Metropolis de retourner ce domaine, car il doit le faire spin par spin avec une grande probabilité de rejet du retournement [17]. En deux dimensions retourner un spin coûte $8J$ et en utilisant la valeur de $T_c = 2.269$, la probabilité d'accepter un tel retournement est :

$$\rho(a \rightarrow b) \simeq e^{-8J/T_c} = 0.0294. \quad (1.52)$$

La probabilité de retourner un spin du bord est plus grande. La solution à ce problème a été proposée par l'algorithme de Wolff. L'idée de base est de retourner tout le domaine en un seul coup. Ces algorithmes sont appelés aussi algorithmes de retournement d'amas ou algorithmes de l'amas. Au cours des dernières années, ils sont très appréciés pour toutes sortes de problèmes, car il s'avère qu'au moins dans le cas du modèle d'Ising, ils enlèvent presque entièrement la difficulté du ralentissement critique [16, 17].

Pour trouver les amas à retourner, on tire un spin au hasard et on cherche si ses voisins sont dans le même état. Puis, les voisins des voisins et ainsi de suite. Le nombre d'amas retournés dépend de la température et les tailles des amas croissent lorsque la température décroît. Par conséquent, nous avons P_{add} qui est la probabilité d'ajouter un spin à un amas, lorsque la

Chapitre 1. Méthode Monte Carlo pour les modèles de spin

température baisse. Après l'ajout des spins, on retourne l'amas avec un rapport d'acceptation qui dépend du coût d'énergie pour le retournement [17].

Considérons le passage de l'état a à l'état b par le retournement d'un amas. Le point important est l'état des spins au bord de l'amas, où certains de ces spins sont dans le même état que l'amas. Les liaisons entre ces spins et l'amas doivent être brisées lorsque l'amas est retourné. De ce fait, les liaisons qui ne sont pas brisées lors du passage de a à b le seront lors du passage de b à a [16]. Considérons maintenant le passage de a à b . Supposons qu'il y a m liaisons brisées. Ces liaisons correspondent aux spins sur le bord, qui sont dans le même état que l'amas, mais qui n'appartiennent pas à l'amas. La probabilité de ne pas les ajouter à l'amas est $(1 - P_{add})^m$. Si n est le nombre de liaisons brisées dans le flip inverse, alors la probabilité cette fois est : $(1 - P_{add})^n$ [16]. La condition de la balance détaillée [17] est donc :

$$\frac{\alpha(a \rightarrow b) \rho(a \rightarrow b)}{\alpha(b \rightarrow a) \rho(b \rightarrow a)} = (1 - P_{add})^{m-n} \frac{\rho(a \rightarrow b)}{\rho(b \rightarrow a)} = e^{-\beta(E_b - E_a)}, \quad (1.53)$$

où $\rho(a \rightarrow b)$ et $\rho(b \rightarrow a)$ sont les taux d'acceptation dans les deux directions et $E_b - E_a = 2J(m - n)$, d'où

$$\frac{\rho(a \rightarrow b)}{\rho(b \rightarrow a)} = [e^{2\beta J} (1 - P_{add})]^{n-m}, \quad (1.54)$$

pour :

$$P_{add} = 1 - e^{-2\beta J}, \quad (1.55)$$

Les deux taux d'acceptation sont égaux et on les pose égaux à 1 quel que soit les états a et b . Ce choix définit l'algorithme de l'amas de Wolff pour le modèle d'Ising, dont les détails de cet algorithme sont les suivants [44] :

- on choisit au hasard sur le réseau le spin de départ,
- on visite les sites voisins du site choisi. S'ils sont dans le même état que le spin choisi, on les ajoute à l'amas avec la probabilité $P_{add} = 1 - e^{-2\beta J}$.
- pour chaque spin ajouté dans l'étape précédente, on cherche, parmi ses voisins, ceux qui pointent dans la même direction. On les cumule à l'amas avec la probabilité P_{add} .
- on retourne l'amas.

Cet algorithme satisfait aux conditions de l'ergodicité et de la balance détaillée. Il convient de noter que la probabilité P_{add} croît lorsque la température décroît. Elle est nulle à T infini et égale à 1 à $T = 0$ et donc les amas sont grands à basse température [16, 17]. L'algorithme de Wolff est plus rapide que celui de Metropolis au voisinage de T_c mais un peu plus lent à haute et basse température. A basse température, l'algorithme de Wolff, engendre une nouvelle configuration à chaque étape Monte Carlo, alors que Metropolis génère une nouvelle configuration indépendante

1.1.4 Algorithmes de simulation

après chaque étape Monte Carlo par site [44].

Nous avons examiné jusqu'à maintenant deux algorithmes de simulation du modèle d'Ising, à savoir l'algorithme de Metropolis et l'algorithme de Wolff destinées à simuler le modèle en équilibre. Pour étudier le comportement du modèle loin de la température critique, l'algorithme de Metropolis offre un moyen simple et efficace d'obtenir des résultats qui ne peuvent être améliorés par autres algorithmes. Près de T_c , l'algorithme de Wolff est meilleur par rapport à l'algorithme de Metropolis, même si il s'avère plus complexe que ce dernier.

- **Algorithme de Swendsen-Wang**

Après les algorithmes de Metropolis et Wolff quoique similaires, l'algorithme de Swendsen-Wang [45] reste très important. Dans cet algorithme, on construit les amas comme l'algorithme de Wolff et on lie les spins voisins, dans le même état, avec la probabilité $P_{add} = 1 - e^{-2\beta J}$. Mais au lieu de retourner un seul amas, on retourne tous les amas, chacun avec la probabilité 1/2 [16, 17, 39, 41, 45]. Cet algorithme satisfait à l'ergodicité ainsi qu'à la balance détaillée. La preuve de ce fait est exactement la même que celle de l'algorithme de Wolff [39, 41, 45]. Le choix de la probabilité $P_{add} = 1 - e^{-2\beta J}$ assure que la probabilité d'acceptation ne dépend ni de m ni de n . La mise à jour, de tous les sites du réseau, se fait après chaque mouvement. Pour mesurer le temps de corrélation, on mesure le nombre d'étapes Monte Carlo et non pas le nombre d'étapes par site comme dans Metropolis [16, 17]. Il est légèrement plus lent que Metropolis à haute température. Par contre, à basse température, il reste identique à l'algorithme de Wolff. Mais l'algorithme de Wolff est deux fois plus rapide que celui de Swendsen-Wang [16, 17, 39, 41].

- **Algorithme de Niedermayer**

L'algorithme de Niedermayer est une extension de l'algorithme de Wolff et de Swendsen-Wang et s'applique à tous les types de modèle [46]. Dans cet algorithme, Niedermayer utilise deux probabilités : la première pour lier deux spins voisins dans le même état et la deuxième pour lier deux spins voisins dans deux états opposés [17]. Dans le cas du modèle Ising, l'énergie de liaison d'une paire est donnée par :

$$E_{ij} = -JS_iS_j. \quad (1.56)$$

La probabilité de faire un lien entre deux spins voisins est fonction de cette énergie $P_{add}(E_{ij})$. Dans le modèle d'Ising, l'énergie E_{ij} ne peut prendre que deux valeurs $\pm J$. Nous avons alors deux valeurs de $P_{add}(E_{ij})$, soit $P_{add}(-J) = 1 - e^{-2\beta J}$ et $P_{add}(J) = 0$. D'autre part, l'algorithme de Neidermayer obéit à l'ergodicité sauf pour $P_{add}(E) = 1$ quel que soit E . Il répond aussi à la balance détaillée [17]. Par définition, la probabilité d'avoir m spins parallèles n sur le bord et antiparallèles à l'amas est $[1 - P_{add}(-J)]^m [1 - P_{add}(J)]^n$. Dans la direction opposée, la

Chapitre 1. Méthode Monte Carlo pour les modèles de spin

probabilité s'écrit $[1 - P_{add}(-J)]^n [1 - P_{add}(J)]^m$ [46]. Comme l'algorithme de Wolf, le passage de a à b coûte :

$$E_b - E_a = 2J(m - n). \quad (1.57)$$

La balance détaillée est vérifiée par les taux d'acceptation :

$$\frac{\rho(a \rightarrow b)}{\rho(b \rightarrow a)} = \left[e^{2\beta J} \frac{1 - P_{add}(-J)}{1 - P_{add}(J)} \right]^{n-m}, \quad (1.58)$$

Niedermayer a choisi les P_{add} , qui satisfont à :

$$\frac{1 - P_{add}(-E)}{1 - P_{add}(E)} = e^{-2\beta E}, \quad (1.59)$$

La solution de Niedermayer de cette équation était $P_{add}(E) = 1 - \exp[\beta(E - E_0)]$ avec E_0 qui est un paramètre arbitraire. Toutefois, la probabilité $P_{add}(E)$ est positive [17]. En outre, nous pouvons écrire :

$$P_{add}(E_{ij}) = \begin{cases} 1 - e^{\beta(E_{ij} - E_0)} & \text{si } E_{ij} \leq E_0, \\ 0 & \text{ailleurs,} \end{cases} \quad (1.60)$$

Ce qui définit l'algorithme de Niedermayer qui peut être résumé ainsi [46] :

- si $E_{ij} \leq E_0$ quel que soit ij , on peut poser que les taux d'acceptation sont égaux à 1 pour n'importe quel mouvement. Ceci revient à chercher la plus grande valeur de E_{ij} . Pour le modèle d'Ising la plus grande valeur est J ,
- si on augmente E_0 au-dessus de J , $P_{add}(E_{ij})$ s'approche de 1 et l'amas devient de plus en plus grand. Ceci permet de contrôler la taille des amas formés par l'algorithme,
- si E_0 est inférieure à la valeur maximale de E_{ij} , alors le membre droit de l'équation (2.52) n'est pas égal à 1 et on ne peut pas choisir le taux d'acceptation égal à 1. Pour le modèle d'Ising, si nous choisissons $-J \leq E_0 < J$, nous avons :

$$\frac{\rho(a \rightarrow b)}{\rho(b \rightarrow a)} = \left[e^{2\beta J} e^{-\beta(J+E_0)} \right]^{n-m} = \left[e^{\beta(J-E_0)} \right]^{n-m}, \quad (1.61)$$

on choisit l'un des taux égal à 1 et l'autre obéit à cette équation. Ainsi, l'algorithme obéit à la balance détaillée,

- si E_0 est inférieure à la valeur minimale de E_{ij} qui est $-J$ pour le modèle d'Ising, alors $P_{add}(E_{ij}) = 0$ et les taux d'acceptation sont donnés par :

$$\frac{\rho(a \rightarrow b)}{\rho(b \rightarrow a)} = \left[e^{2\beta J} \right]^{n-m}, \quad (1.62)$$

Ce qui est l'équivalent de l'algorithme de Metropolis. Ainsi, en faisant varier E_0 on passe de l'algorithme Metropolis à l'algorithme de Wolff.

1.4.5 Algorithme de Kawasaki

L'algorithme le plus simple qui conserve la valeur de l'aimantation après le flip est l'algorithme de Kawasaki [16, 17]. Il se définit ainsi :

- on choisit au hasard une paire de spins adjacents k et $k\prime$,
- on échange leurs valeurs, pour préserver l'aimantation totale. Puis on calcule la différence d'énergie $\Delta E = E_b - E_a$ entre les états a et b du système avant et après le changement,
- la probabilité d'acceptation du mouvement est donnée par :

$$\rho(a \rightarrow b) = \begin{cases} e^{-\beta \Delta E} & \text{si } \Delta E > 0, \\ 1 & \text{ailleurs.} \end{cases} \quad (1.63)$$

Cet algorithme est ergodique et vérifie la balance détaillée. En effet, le nombre de paires est $zN/2$ et la probabilité de choisir une paire à n'importe quelle étape de l'algorithme devient :

$$\alpha(a \rightarrow b) = \frac{2}{zN}. \quad (1.64)$$

La probabilité de choisir la même paire pour un mouvement inverse est la même :

$$\frac{w(a \rightarrow b)}{w(b \rightarrow a)} = \frac{\alpha(a \rightarrow b) \rho(a \rightarrow b)}{\alpha(b \rightarrow a) \rho(b \rightarrow a)} = \frac{\rho(a \rightarrow b)}{\rho(b \rightarrow a)} = e^{-\beta \Delta E}. \quad (1.65)$$

Dans ce chapitre, nous avons détaillé la méthode Monte Carlo statique utilisée ayant pour finalité d'étudier les propriétés magnétiques des systèmes physiques.

Dans une première partie nous avons présenté quelques modèles de spins, étudiés en mécanique statistique. Ces modèles nous ont aidé à modéliser tous les phénomènes au cours desquels des effets collectifs se sont produits du fait des interactions locales entre les particules.

Puis, nous avons abordé les principes de la simulation Monte Carlo à l'équilibre thermique afin d'étudier les phénomènes critiques. Nous avons développé les trois idées de base de la simulation Monte Carlo, à savoir : l'échantillon important, la balance détaillée et le taux d'acceptation.

Enfin, nous avons exposé quelques algorithmes de la méthode Monte Carlo pour déterminer les propriétés d'une variété de différents modèles d'équilibre. Nous avons étudié aussi certaines astuces utilisées pour mettre en œuvre les algorithmes de Monte Carlo en matière de programmes informatiques.

Ce chapitre porte sur la méthode Monte Carlo statique et afin d'examiner les propriétés ma-

Chapitre 1. Méthode Monte Carlo pour les modèles de spin

gnétiques des matériaux. Dans le prochain chapitre, nous présentons d'autres méthodes sophistiquées ; telles que celles de l'approximation de champ moyen, la théorie du champ effectif et la matrice de transfert. Ces dernières ont joué un rôle important dans la description des phénomènes critiques de transitions de phase.

Chapitre 2

Étude des phénomènes critiques

Les phénomènes critiques ont fait l'objet de plusieurs études approfondies. La plupart d'entre eux résultent de la divergence de la longueur de corrélation. Provenant de la divergence, ces phénomènes incluent les divergences en loi de puissance de certaines quantités décrites par les exposants critiques tels que : l'universalité, le comportement fractal, et la rupture d'ergodicité [47, 48]. De nombreuses et nouvelles idées ont été développées afin de mieux comprendre le comportement critique de systèmes ayant des structures cristallographiques de plus en plus complexes [47].

Au cours d'une transition de phases les interactions entre champs et particules brisent spontanément la symétrie du système [49]. La notion de symétrie et de sa brisure, permettent de classer les différentes phases, tout en expliquant les transitions de phase qui les séparent [50]. La compréhension des phénomènes critiques nécessite l'usage de théories tels que : la théorie du champ moyen, la théorie du champ effectif et la méthode de la matrice de transfert. Les grandes lignes de ces théories seront étaillées le long de ce chapitre tout en mettant l'accent sur la description théorique des transitions de phases. Notons au passage que pour mieux illustrer l'origine physiques des phénomènes critiques nous utiliserons le modèle simple d'Ising.

2.1 Phénomènes critiques

En physique, les phénomènes critiques sont les phénomènes qui se déroulent aux points critiques où les grandeurs physiques varient très rapidement et présentent ainsi des discontinuités. Le point critique est une singularité du diagramme de phase. En ce point, la divergence des grandeurs thermodynamiques caractéristiques du système est donnée par des lois de puissances caractérisées par des exposants critiques. Les phénomènes critiques incluent également les relations d'échelle entre les différentes quantités, l'universalité, le comportement fractal et la brisure d'ergodicité [50]. Cette section est consacrée à une brève description des phénomènes critiques et des transitions de phase.

2.1.1 Singularité

Le comportement critique est caractérisé par des singularités de certaines fonctions thermodynamiques. Cette singularité peut être une discontinuité ou une divergence [51]. Les singularités sont interprétées comme des changements dans la structure de phase du système, où plus précisément comme des transitions de phase [50]. Les transitions de phase sont classées selon la nature de la singularité typique qui s'y produit. Les singularités des propriétés thermodynamiques, telles que la chaleur spécifique et la susceptibilité, sont très faibles et très difficiles à détecter expérimentalement. De plus, elles n'apparaissent qu'à la limite thermodynamique pour des systèmes infiniment grands [51]. Cependant, un système fini ne peut pas présenter une vraie singularité à une température non-nulle, mais une température pseudo-critique qui peut être liée au pic pointu de la chaleur spécifique et de la susceptibilité. Dans le développement des fluctuations critiques, les singularités des grandeurs thermodynamiques et des fonctions de corrélation ont la même origine physique. La connexion est assurée par le théorème de fluctuation-dissipation [50].

2.1.2 Transition de phase

Une transition de phase est un phénomène spectaculaire, qui correspond à une transformation qualitative et quantitative des propriétés macroscopiques d'un système thermodynamique. Elle est provoquée par la variation typique d'un paramètre intensif de contrôle de système tel que la température, la pression, le champ électrique ou magnétique. Les états de la matière ont des propriétés physiques uniformes. Au cours d'une transition de phase, certaines propriétés d'un système thermodynamique donné, changent de manière discontinue [51]. L'exemple fondamental le plus connu de transition de phase est celui de l'eau, qui passe de l'état solide à l'état liquide et de l'état liquide à l'état gazeux. Mais, il existe d'autres transitions de phases. Par exemple : les transitions magnétiques, superfluides, supraconductrices, d'ordre-désordre dans les alliages métalliques et les cristaux liquides. Les transitions de phase se produisent lorsque l'énergie libre d'un système devient non-analytique pour certaines variables thermodynamiques [49]. Généralement, cette condition résulte de l'interaction d'un grand nombre de particules dans un système et n'apparaît pas dans les systèmes de petites tailles. Il est important de noter que ces transitions peuvent se manifester dans des systèmes non-thermodynamiques à température nulle. Les exemples incluent les transitions de phase quantiques, dynamiques et topologiques. Dans ces systèmes, d'autres paramètres prennent la place de la température. À titre d'exemple, la probabilité de connexion qui remplace la température pour les réseaux de percolation [52].

2.1.3 Brisure de symétrie et paramètre d'ordre

Les transitions de phase impliquent souvent un processus de brisure de symétrie [50]. Généralement, dans une transition de phase, les phases à haute température sont plus symétriques que les phases à basse température dues à la rupture spontanée de symétrie. En physique de matière condensée, il existe plusieurs types de brisure de symétrie [49] dont la brisure par formation de réseau qui a lieu lors de la transition entre un fluide et un solide cristallin, la brisure par inversion qui se produit lors de la transition ferromagnétique, et la brisure de la symétrie de jauge qui apparaît dans les supraconducteurs.

Pour décrire les transitions de phase avec changement de symétrie, Landau a introduit la notion de paramètre d'ordre qui est considéré comme étant une mesure du degré d'ordre de l'état d'un système physique lors d'une transition de phase [47]. En effet, le paramètre d'ordre est uniforme et nul au-dessus de la température critique dans la phase symétrique (désordonnée). Cependant, il est non-uniforme et non-nul au dessous de la température critique dans la phase moins symétrique (ordonnée). Du point de vue théorique, les paramètres d'ordre proviennent de la brisure de symétrie. Lorsque cela se produit, il est nécessaire d'introduire une ou plusieurs variables supplémentaires pour décrire l'état du système. Le paramètre d'ordre est défini différemment dans les différents types de systèmes physiques.

Nature de la transition	Paramètre d'ordre
gaz-liquide	masse volumique
para-ferromagnétique	aimantation
para-antiferromagnétique	aimantation des sous réseaux
para-ferroélectrique	polarisation
ordre-désordre dans un alliage binaire	probabilité d'occupation des deux sites
démixion d'un binaire AB	fractions molaires
supraconductivité	gap supraconducteur
superfluidité	fonction d'onde superfluide

Tableau 2.1 – Quelques exemples des paramètres d'ordre utilisés selon la nature de transition.

Dans le tableau (2.1), nous donnons quelques exemples de paramètres d'ordre. Le choix du paramètre d'ordre est une question phénoménologique pas toujours évidente. Cependant, les paramètres d'ordre peuvent également être définis pour des transitions qui ne brisent pas la symétrie. Certaines transitions de phase, comme celles dans les supraconducteurs, peuvent avoir des paramètres d'ordre à plusieurs degrés de liberté. Dans ce cas par exemple, le paramètre d'ordre peut être un nombre complexe, un vecteur ou même un tenseur, dont la magnitude tend vers zéro à la transition de phase. Par ailleurs, on associe un champ conjugué au paramètre

Chapitre 2. Étude des phénomènes critiques

d'ordre qui traduit l'état du système. Pour les systèmes magnétiques, le champ conjugué n'est autre que le champ magnétique [52].

2.1.4 Classification des transitions de phase

On distingue deux classes de transitions de phase qui sont les transitions d'Ehrenfest et les transitions de Landau.

- ***Classification d'Ehrenfest***

Ehrenfest est le premier à avoir classifier les transitions de phase selon le degré de non-analyticité de l'énergie ou la continuité des dérivées d'ordre de l'énergie libre. Dans la classification d'Ehrenfest, on distingue deux types de transition de phase : transition du premier ordre et transition du second ordre [53].

- ***Transition du premier ordre***

Les transitions de phase du premier ordre présentent une discontinuité dans la dérivée première de l'énergie libre par rapport à une variable thermodynamique. Les transitions entre les trois états standards (solide, liquide, gaz), sont des transitions de phase du premier ordre, car la dérivée première de l'énergie libre par rapport au potentiel chimique est discontinue [50].

- ***Transition du second ordre***

Une transition de phase est du second ordre, si la dérivée première de l'énergie libre est continue, mais la dérivée seconde est en revanche discontinue. Au cours de cette transition, le passage d'une phase à une autre se fait de façon continue. Par exemple dans le cas de la transition de phase entre l'état ferromagnétique et l'état paramagnétique. La classification d'Ehrenfest peut être généralisée pour définir des transitions multicritiques d'ordre supérieur [50].

La classification d'Ehrenfest permet de mettre en évidence les différences et les similitudes entre diverses transitions. Cependant, elle reste inexacte au voisinage d'une transition de phase puisqu'elle ne prévoit pas la possibilité de divergence à la limite thermodynamique.

- ***Classification de Landau***

En 1937, Landau a remarqué que la transition de phase sans chaleur latente peut s'accompagner d'un changement de la symétrie du système comme dans le cas de la classification d'Ehrenfest. Alors, il a proposé deux types de transition de phase :

- ***Transition sans paramètre d'ordre***

Lors de ces transitions, le paramètre d'ordre est discontinue et les groupes de symétrie des deux phases ne sont pas inclus l'un dans l'autre [49]. Ces transitions sont toujours des transitions du premier ordre au sens d'Ehrenfest.

- ***Transition avec paramètre d'ordre***

Dans ce type de transition, le groupe de symétrie de la phase ordonnée est inclus dans le groupe

2.2.2 Approximation de champ moyen

de la phase la plus symétrique (désordonnée). Au sens de Landau, cette transition est du premier ordre si le paramètre d'ordre est discontinu au point de transition et elle est du second ordre si le paramètre d'ordre est continu à la transition [49].

Pour les transitions sans changement de symétrie, le formalisme de Landau définit un pseudo-paramètre d'ordre vu la difficulté de déterminer le paramètre d'ordre.

Dans ce qui suit, nous allons présenter quelques méthodes d'approximation de la physique statistique qui sont nécessaires pour étudier la singularité des grandeurs physiques au voisinage d'une transition de phase.

2.2 Approximation de champ moyen

L'approximation de champ moyen a été développée pour étudier les systèmes à corps en interaction [47]. Elle consiste à remplacer le problème des spins en interaction par un problème de spins indépendants placés dans un champ moyen produit par l'ensemble des autres spins [50]. Dans cette section, nous allons développer l'approximation du champ moyen pour le modèle d'Ising.

2.2.1 Équation du champ moyen

L'approximation du champ moyen consiste à prendre un seul spin S_i pour calculer son énergie en remplaçant tous les autres spins par leur valeur moyenne $\langle S_j \rangle$ [48]. L'hamiltonien englobant le champ magnétique extérieur pour le modèle d'Ising est :

$$H = -J \sum_{\langle i,j \rangle} S_i S_j - \mu h \sum_i S_i, \quad (2.1)$$

où J est la constante de couplage, h le champ magnétique extérieur et μ le moment magnétique des spins. Dans l'approximation du champ moyen, l'énergie du spin S_i est donnée par :

$$E_i = -JS_i \sum_j \langle S_j \rangle - \mu h S_i. \quad (2.2)$$

Selon que le spin est dirigé vers le haut (+1) ou vers le bas (-1), l'énergie du site a deux valeurs E_{i+} et E_{i-} ,

$$\begin{aligned} E_{i+} &= -J \sum_j \langle S_j \rangle - \mu h = -zJM - \mu h, \\ E_{i-} &= J \sum_j \langle S_j \rangle + \mu h = zJM + \mu h, \end{aligned} \quad (2.3)$$

M est la valeur moyenne de S_j et z est le nombre des plus proches voisins.

La valeur moyenne de S_i est donnée en terme de la constante de Boltzmann k_B et la température

T par l'expression suivante [48] :

$$\langle S_i \rangle = \tanh \left(\frac{zJM + \mu h}{k_B T} \right). \quad (2.4)$$

L'équation du champ moyen est attribuée par :

$$M = \tanh \left(\frac{zJM + \mu h}{k_B T} \right), \quad (2.5)$$

qui s'écrit sous la forme :

$$\tanh^{-1} M = \frac{1}{2} \ln \frac{1+M}{1-M} = \frac{zJ}{k_B T} M + \frac{\mu h}{k_B T}. \quad (2.6)$$

Cette équation est la base de l'approximation du champ moyen que l'on peut résoudre graphiquement. Dans ce qui suit, nous présentons les solutions graphiques de l'équation (2.6) qui font apparaître l'existence d'une transition ferromagnétique.

2.2.2 Transition ferromagnétique

Les solutions de l'équation (2.6) résultent des intersections de la ligne droite $(zJ/k_B T) M + \mu h/k_B T$ avec la courbe $\tanh^{-1} M$ présentées dans la figure (2.1).

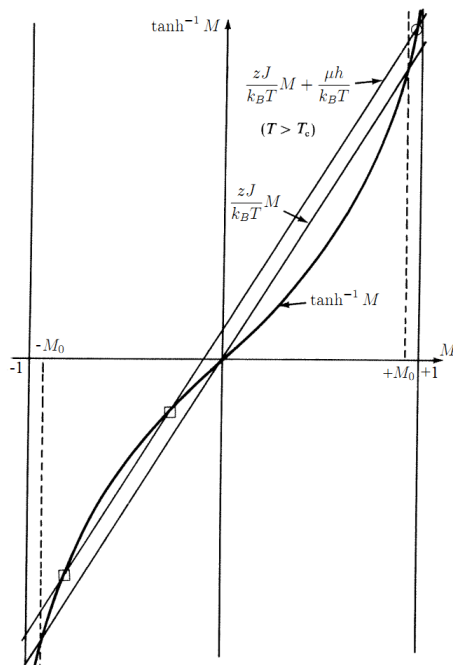


Figure 2.1 – La solution graphique de l'équation (2.6) [48].

2.2.2 Approximation de champ moyen

Il est utile de rappeler que la courbe $\tanh^{-1} M$ a deux asymptotes verticales à $M = \pm 1$, et que sa tangente à l'origine possède une pente unitaire [48].

Ainsi, si $h > 0$, l'équation d'état (2.6) admet trois solutions, deux solutions métastables ou instables ayant $M < 0$ et une solution physique pour $M > 0$.

L'approximation du champ moyen prédit une aimantation spontanée pour le cas $h = 0$ [54]. Cette aimantation M_0 satisfait :

$$\begin{cases} M_0 \neq 0 & \text{si } T < T_c \\ M_0 = 0 & \text{si } T > T_c. \end{cases} \quad (2.7)$$

Ainsi, la température de transition est :

$$T_c = zJ/k_B. \quad (2.8)$$

2.2.3 Comportement au voisinage de la transition de phase

Au voisinage de la température critique, l'aimantation est faible ce qui permet d'utiliser le développement en série suivant [48],

$$\tanh^{-1} M = M + \frac{1}{3}M^3 + O(M^5). \quad (2.9)$$

Afin d'étudier le comportement du système au voisinage de la température critique, nous présentons dans ce qui suit les grandeurs physiques telles que l'aimantation, la susceptibilité et la chaleur spécifique. Pour simplifier nous supposons que le champ magnétique extérieur est nul $h = 0$.

• Aimantation

En utilisant l'équation (2.8) avec $k_B = 1$, nous trouvons que :

$$\frac{T}{zJ} = 1 + t, \quad (2.10)$$

où t est la température réduite définie par :

$$t = \frac{T - T_c}{T_c}. \quad (2.11)$$

L'équation du champ moyen s'écrit :

$$M \simeq (1 + t) \left(M + \frac{1}{3}M^3 \right), \quad (2.12)$$

Chapitre 2. Étude des phénomènes critiques

d'où

$$M_0 \simeq \sqrt{-3t}. \quad (2.13)$$

Au voisinage de T_c , l'aimantation spontanée varie comme suit :

$$M_0 \sim (T_c - T)^{1/2}. \quad (2.14)$$

Pour examiner le comportement singulier de la susceptibilité et la chaleur spécifique au voisinage de la température critique, nous les représentons par la suite comme des lois de puissance.

• Susceptibilité

Nous distinguons deux cas en absence du champ magnétique h :

(a) $T > T_c$

Au voisinage de T_c , le terme avec M^3 dans l'équation (2.9) peut être négligé :

$$M \simeq (1 + t) M - \frac{\mu h}{k_B T_c}, \quad (2.15)$$

d'où

$$M \simeq \frac{\mu h}{k_B (T - T_c)}. \quad (2.16)$$

Pour une configuration du système de N spins, l'aimantation totale M_t est donnée par [50] :

$$M_t = N\mu M = \frac{\mu^2 Nh}{k_B (T - T_c)}. \quad (2.17)$$

Dans ce cas la susceptibilité magnétique χ varie comme :

$$\chi \sim (T - T_c)^{-1}, \quad (2.18)$$

car elle s'écrit sous la forme [47] :

$$\chi = \left. \frac{\partial M_t}{\partial h} \right|_{h=0} = \frac{\mu^2 N}{k_B (T - T_c)}. \quad (2.19)$$

(b) $T < T_c$

Dans ce cas, M s'écrit en terme de l'aimantation spontanée M_0 sous la forme :

$$M = M_0 + \varepsilon. \quad (2.20)$$

2.2.2 Approximation de champ moyen

En négligeant les termes d'ordre supérieur, l'équation (2.9) devient alors :

$$M_0 + \varepsilon = (1+t)(M_0 + \varepsilon) + \frac{1}{3}(M_0 + \varepsilon)^3 - \frac{\mu h}{k_B T_c}. \quad (2.21)$$

ε est de l'ordre de h et comme $h \rightarrow 0$, les termes en ε^2 et ε^3 sont négligeables. Il s'écoule que :

$$\varepsilon = \frac{\mu h}{2k_B(T - T_c)}, \quad \chi = \frac{\mu^2 N}{2k_B(T_c - T)}; \quad (2.22)$$

d'où

$$\chi \sim (T_c - T)^{-1}. \quad (2.23)$$

Nous déduisons des équations (2.18) et (2.23) que la susceptibilité χ a la même loi de puissance pour les deux cas $T > T_c$ et $T < T_c$ mais avec une différence des coefficients numériques.

- **Chaleur spécifique**

Dans l'approximation du champ moyen, l'énergie interne en absence du champ magnétique [47] est donnée par :

$$\begin{aligned} E &= -\frac{1}{2}zJNM_0^2 & T < T_c, \\ E &= 0 & T > T_c, \end{aligned} \quad (2.24)$$

où N est le nombre total de spins dans le système.

Lorsque $T < T_c$ mais toujours près de T_c , nous trouvons :

$$E = -\frac{1}{2}zJN\frac{3(T_c - T)}{T_c} = \frac{3}{2}k_B N(T - T_c). \quad (2.25)$$

La chaleur spécifique C en champ nul [47] définit par :

$$C = \left. \frac{dE}{dT} \right|_{h=0}, \quad (2.26)$$

est donnée alors par :

$$C = \frac{3}{2}k_B N. \quad (2.27)$$

Lorsque $T > T_c$, la chaleur spécifique C disparaît. Nous déduisons alors que la chaleur spécifique est discontinue, avec une discontinuité à $3k_B N/2$ pour $T = T_c$.

2.2.4 Exposants critiques $\alpha, \beta, \gamma, \delta$

Il est constaté expérimentalement que l'aimantation spontanée, la susceptibilité, l'isotherme critique et la chaleur spécifique obéissent aux lois de puissance près de T_c . Les exposants critiques

Chapitre 2. Étude des phénomènes critiques

sont définis comme suit [47, 48] :

$$\begin{aligned} C &\sim |T - T_c|^{-\alpha}, & M_0 &\sim (T_c - T)^\beta & (T < T_c), \\ \chi &\sim |T - T_c|^{-\gamma}, & h &\sim M_t^\delta & (T = T_c). \end{aligned}$$

Les valeurs prévues par l'approximation du champ moyen sont $\alpha = 0$, $\beta = \frac{1}{2}$, $\gamma = 1$ et $\delta = 3$ pour une dimension $D \geq 4$.

L'approximation du champ moyen ne tient pas compte des fluctuations de tous les spins, puisque chaque spin est remplacé par sa moyenne. Il n'existe pas de solution pour évaluer cette approximation à l'avance. Tout ce que nous pouvons faire est une évaluation à posteriori en comparant ses résultats avec les résultats exactes obtenus pour le cas unidimensionnel et le cas bidimensionnel, ou avec des calculs numériques effectués pour le cas tridimensionnel. Il est intéressant de comparer les exposants du champ moyen avec ceux du calcul analytique pour le cas bidimensionnel ou ceux obtenus à partir d'un calcul numérique utilisant une expansion à haute température pour le cas tridimensionnel [55].

	champ moyen	$D = 2$	$D = 3$
α	0	$\ln T - T_c $	0.110 ± 0.005
β	0.5	0.125	0.312 ± 0.003
γ	1	1.75	1.238 ± 0.002
δ	3	15	5.0 ± 0.05

Tableau 2.2 – Les exposants critiques α , β , γ , δ pour la théorie de champ moyen, modèle d'Ising bidimensionnel ($D = 2$) et modèle d'Ising tridimensionnel $D = 3$.

Le tableau (2.2) montre que l'augmentation de la dimension conduit à une amélioration des résultats du champ moyen. En effet, l'approximation du champ moyen devient conforme lorsque $D \rightarrow \infty$ [52]. Elle est exacte également dans le cas des interactions à très longue portée. À titre d'exemple, la solution exacte d'un modèle d'Ising à portée infinie coïncide avec le résultat du champ moyen si chaque spin interagit avec tout les autres spins du réseau par une constante de couplage J/N [48].

2.3 Théorie du champ effectif

Cette méthode a été initié en premier temps par Honmura et Kaneyoshi [56, 57] et développée par Boccara [58]. Elle a la simplicité du champ moyen et donne de meilleurs résultats qualitatifs et quantitatifs. Elle ne s'applique qu'à des systèmes dans lesquels le désordre est

2.2.3 Théorie du champ effectif

décrit par des variables discrètes. Elle consiste à prendre un spin central et à calculer sa valeur moyenne en fixant tous les autres spins du réseau. La valeur moyenne sur toutes les configurations, donne l'équation d'état du système qui va permettre de déterminer la température de transition ainsi que d'autres propriétés. Dans cette section, nous étudions quelques aspects de la théorie du champ effectif. Pour cela, nous commençons par introduire la technique d'opérateur différentiel. Ensuite, nous examinons avec quelques détails l'approximation de découplage (ou Zernike). Nous exposons également les grandes lignes de l'approximation du champ effectif corrélaté (ou Bethe-Peierls). Finalement, nous discutons la méthode du groupe de renormalisation du champ effectif.

2.3.1 Technique d'opérateur différentiel

En présence d'un champ magnétique extérieur h , l'hamiltonien du modèle d'Ising est donné par :

$$H = -\frac{1}{2} \sum_{i,j} J_{ij} \mu_i \mu_j - h \sum_i \mu_i, \quad (2.28)$$

où μ_i est une variable dynamique qui peut prendre deux valeurs ± 1 et J_{ij} est l'interaction d'échange entre le site i et le site j . Notons que μ_i est la composante z d'un opérateur de spin ($S_i^z = 1/2\mu_i$) associé à l'ion localisé sur le site qui peut prendre un spin up ($\mu_i = +1$) ou un spin down ($\mu_i = -1$). Le rôle du champ magnétique dans cette partie est important. En effet, il permet de briser la symétrie et de favoriser la phase ordonnée [59]. Le paramètre d'ordre est déterminé par $m = \langle \mu_i \rangle$. Dans la phase ordonnée $m \neq 0$, tandis que dans la phase désordonnée $m = 0$. La valeur moyenne du spin est donnée par :

$$\langle m_i \rangle = \frac{1}{Z} \text{Tr} \mu_i e^{-\beta H}, \quad (2.29)$$

avec la fonction de partition Z :

$$Z = \text{Tr} e^{-\beta H}, \quad (2.30)$$

$\beta = 1/k_B T$, k_B est la constante de Boltzmann et T la température absolue. L'hamiltonien de l'équation (2.28) s'exprime comme la somme suivante :

$$H = H_i + H', \quad (2.31)$$

où la première partie H_i comprend toutes les contributions associées au site, alors que la seconde partie H' ne dépend pas de l'emplacement i .

Alors,

$$H_i = -\mu_i E_i, \quad (2.32)$$

Chapitre 2. Étude des phénomènes critiques

tel que E_i est l'opérateur exprimant le champ local sur le site i , il prend la forme suivante :

$$E_i = \sum_{i,j} J_{ij} \mu_j + h. \quad (2.33)$$

Sachant que les variables de spin commutent $[\mu_i, \mu_j] = 0$, il s'ensuit que :

$$[H_i, H'] = [H_i, H] = 0. \quad (2.34)$$

En raison de cette relation commutative, la valeur moyenne (2.29) s'exprime sous la forme :

$$\langle \mu_i \rangle = \frac{1}{Z} \left\{ \text{Tr} e^{-\beta H} \left[\frac{\text{tr}_{(i)} \mu_i \exp(-\beta H_i)}{\text{tr}_{(i)} \exp(-\beta H_i)} \right] \right\}, \quad (2.35)$$

où $\text{tr}_{(i)} = \sum_{\mu_i=-1}^{+1}$.

Par conséquent, nous obtenons l'identité première qui fut dérivée par Callen en 1963 [60] :

$$\langle \mu_i \rangle = \langle \tanh(\beta E_i) \rangle. \quad (2.36)$$

En étendant la procédure ci-dessus, l'identité peut être facilement généralisée à :

$$\langle \{f_i\} \mu_i \rangle = \langle \{f_i\} \tanh(\beta E_i) \rangle, \quad (2.37)$$

où $\{f_i\}$ peut être n'importe quelle fonction des variables d'Ising tant qu'il ne s'agit pas d'une fonction du site i .

Pour traiter l'identité de Callen (2.36), il convient de remarquer les relations exactes suivantes valables pour $\mu_i = \pm 1$ et $K = \beta J$:

$$\begin{aligned} \tanh(K\mu_1) &= A\mu_1, & A &= \tanh K, & \tanh[K(\mu_1 + \mu_2)] &= B(\mu_1 + \mu_2), \\ B &= \frac{1}{2} \tanh 2K, & \tanh[K(\mu_1 + \mu_2 + \mu_3)] &= C_1(\mu_1 + \mu_2 + \mu_3) + C_2\mu_1\mu_2\mu_3, \\ C_1 &= \frac{1}{4} (\tanh 3K + \tanh K), & C_2 &= \frac{1}{4} (\tanh 3K - \tanh K), \end{aligned} \quad (2.38)$$

Dans le cas du réseau en nid d'abeilles où le nombre de coordination $z = 3$, l'identité (2.36) peut être réécrite sous la forme suivante :

$$\langle \mu_i \rangle = C_1 (\langle \mu_{i+1} \rangle + \langle \mu_{i+2} \rangle + \langle \mu_{i+3} \rangle) + C_2 \langle \mu_{i+1}\mu_{i+2}\mu_{i+3} \rangle, \quad (2.39)$$

2.2.3 Théorie du champ effectif

où $i + \delta$ ($\delta = 1, 2, 3$) désignent les plus proches voisins du site i . Le calcul de l'équation d'état se fait par l'utilisation de la technique d'opérateur différentiel introduit par Honmura et Kaneyoshi est définie par [59] :

$$\tanh(\beta E_i) = \exp(E_i \nabla) \tanh x|_{x=0}, \quad (2.40)$$

où $\nabla = \partial/\partial x$ est un opérateur différentiel.

En faisant appel aux relations mathématiques suivantes :

$$\exp(a \nabla) \varphi(x) = \varphi(x + a), \quad \text{et} \quad e^{a \mu_i} = \cosh a + \mu_i \sinh a, \quad (2.41)$$

l'équation (2.40) s'écrit pour $h = 0$ comme :

$$\tanh\left(\beta J \sum_{\delta} \mu_{i+\delta}\right) = \prod_{\delta=1}^z [\cosh(J \nabla) + \mu_{i+\delta} \sinh(J \nabla)] \tanh x|_{x=0}. \quad (2.42)$$

Lorsque $z = 1, 2$ ou 3 , les mêmes relations exactes de (2.38) peuvent être facilement déduites. Par exemple, lorsque $z = 2$,

$$\begin{aligned} \tanh[K(\mu_{i+1} + \mu_{i+2})] &= (\mu_{i+1} + \mu_{i+2}) \sinh(J \nabla) \cosh(J \nabla) \tanh x|_{x=0} \\ &= \frac{1}{4} (\mu_{i+1} + \mu_{i+2}) (e^{2J \nabla} - e^{-2J \nabla}) \tanh x|_{x=0} \\ &= B(\mu_{i+1} + \mu_{i+2}). \end{aligned} \quad (2.43)$$

La forme générale de la relation exacte (2.37) est alors :

$$\begin{aligned} \langle \{f_i\} \mu_i \rangle &= \left\langle \{f_i\} e^{E_i \nabla} \right\rangle \tanh(\beta x)|_{x=0} \\ &= \left\langle \{f_i\} \prod_j [\cosh(J_{ij} \nabla) + \mu_j \sinh(J_{ij} \nabla)] \right\rangle \tanh(\beta x + h')|_{x=0}, \end{aligned} \quad (2.44)$$

où $h' = \beta h$.

Pour $\{f_i\} = \mu_k$ ($k \neq i$) et $h = 0$, l'équation (2.44) devient :

$$\langle \mu_k \mu_i \rangle = \frac{1}{2} \tanh(2\beta J) (\langle \mu_k \mu_{i-1} \rangle + \langle \mu_k \mu_{i+1} \rangle). \quad (2.45)$$

En raison de l'invariance par translation, la fonction de corrélation $\langle \mu_k \mu_i \rangle$ ne dépend que de la distance entre i et k :

$$\langle \mu_k \mu_i \rangle = \langle \mu_0 \mu_{i-k} \rangle = \langle \mu_0 \mu_r \rangle = g(r), \quad (2.46)$$

Chapitre 2. Étude des phénomènes critiques

où $r = i - k$ est une mesure de la distance entre les spins.

L'équation (2.46) permet d'exprimer l'équation (2.45) comme suit :

$$2 \coth(2\beta J) = \frac{g(r+1)}{g(r)} + \left[\frac{g(r)}{g(r-1)} \right]^{-1}, \quad (2.47)$$

En supposant que

$$\frac{g(r+1)}{g(r)} = \frac{g(r)}{g(r-1)} = \gamma, \quad (2.48)$$

et en retenant que la solution physiquement acceptable, la solution de l'équation (2.47) s'écrit :

$$\gamma = \tanh(\beta J), \quad (2.49)$$

d'où

$$g(r) = g_{i-k} = [\tanh(\beta J)]^r, \quad (2.50)$$

qui est un résultat exact bien connu de la chaîne d'Ising [61].

2.3.2 Approximation de découplage (ou Zernike)

Pour découpler l'équation (2.39) et (2.44), on utilise :

$$\langle \mu_j \mu_k \dots \mu_l \rangle \approx \langle \mu_j \rangle \langle \mu_k \rangle \dots \langle \mu_l \rangle, \quad (2.51)$$

pour $j \neq k \neq \dots \neq l$.

Introduisant l'approximation (2.51), la valeur moyenne des μ_i (l'équation (2.44) avec $\{f_i\} = 1$) peut être écrite sous une forme compacte [62] :

$$\langle \mu_i \rangle = \prod_j [\cosh(J_{ij}\nabla) + \mu_j \sinh(J_{ij}\nabla)] \tanh(\beta x + h')|_{x=0}. \quad (2.52)$$

Pour un système ferromagnétique avec un nombre de coordination z et en absence du champ magnétique, l'équation (2.52) se réduit alors à :

$$m = \langle \mu_i \rangle = [\cosh(J\nabla) + m \sinh(J\nabla)]^z \tanh(\beta x)|_{x=0}. \quad (2.53)$$

La température de transition T_c peut être obtenue par linéarisation de l'équation (2.53) ; en développant le terme de droite de l'équation (2.53), on obtient :

$$z \sinh(J\nabla) \cosh^{z-1}(J\nabla) \tanh(\beta_c x)|_{x=0} = 1, \quad (2.54)$$

2.2.3 Théorie du champ effectif

où $\beta_c = 1/k_B T_c$. Pour un cubique simple où $z = 6$, l'équation (2.54) se réduit à :

$$\tanh(6J\beta_c) + 4 \tanh(4J\beta_c) + 5 \tanh(2J\beta_c) = \frac{16}{3}, \quad (2.55)$$

et la température de transition T_c est donnée par :

$$\frac{k_B T_c}{J} = 5.073. \quad (2.56)$$

L'équation (2.52) peut être également réécrite comme suit [63] :

$$\langle \mu_i \rangle = \prod_j \left[\frac{1}{2} (1 + \langle \mu_j \rangle) e^{J_{ij}\nabla} + \frac{1}{2} (1 - \langle \mu_j \rangle) e^{-J_{ij}\nabla} \right] \tanh(\beta x)|_{x=0}. \quad (2.57)$$

Les facteurs $\frac{1}{2}(1 + \langle \mu_j \rangle)$ et $\frac{1}{2}(1 - \langle \mu_j \rangle)$ correspondent aux probabilités du spin voisin respectivement up et down. Au cas où l'interaction d'échange de l'équation (2.52) prend la forme :

$$J_{ij} = \frac{j'}{N}, \quad (2.58)$$

où j' est une constante finie et N est le nombre total de sites de réseau, alors, l'équation (2.52) se réduit à :

$$m = \langle \mu_i \rangle = \left[\cosh\left(\frac{j'}{N}\nabla\right) + m \sinh\left(\frac{j'}{N}\nabla\right) \right]^{N-1} \tanh(\beta x + h')|_{x=0}. \quad (2.59)$$

Lorsque N est très grand, on a alors :

$$\cosh\left(\frac{j'}{N}\nabla\right) \approx 1 \quad \text{et} \quad \sinh\left(\frac{j'}{N}\nabla\right) \approx \frac{j'}{N}\nabla, \quad (2.60)$$

d'où l'équation (2.59) se réduit à

$$m = \left[1 + m \frac{j'}{N}\nabla \right]^{N-1} \tanh(\beta x + h')|_{x=0}. \quad (2.61)$$

Pour $N \rightarrow \infty$, l'équation (2.61) est donnée par :

$$m = e^{N[m(j'/N)\nabla]} \tanh(\beta x + h')|_{x=0} = \tanh(h' + \beta m j'). \quad (2.62)$$

La technique de l'opérateur différentiel est généralement plus favorable à cette approximation en raison de la facilité relative de la formulation d'autres propriétés thermodynamiques, de

Chapitre 2. Étude des phénomènes critiques

l'extension à des problèmes de spins plus élevés ainsi que des systèmes de spins désordonnés.

2.3.3 Approximation du champ effectif corrélé (ou Bethe-Peierls)

Contrairement à l'approximation de découplage, cette approximation du champ effectif corrélé [62] considère que le spin central μ_i est lié aux plus proches voisins $\mu_{i+\delta}$ via :

$$\mu_{i+\delta} = \langle \mu_{i+\delta} \rangle + \lambda (\mu_i - \langle \mu_i \rangle), \quad (2.63)$$

où λ est un paramètre dépendant de la température. Lorsque l'équation (2.63) est remplacé dans l'hamiltonien (2.28) avec $h = 0$, nous trouvons que :

$$H = - \sum_i H_i^{eff} \mu_i + \text{constante}, \quad (2.64)$$

avec

$$H_i^{eff} = J \sum_j \langle \mu_j \rangle - \lambda J z \langle \mu_i \rangle. \quad (2.65)$$

En substituant l'équation (2.63) dans (2.44) avec $\{f_i\} = 1$ et en supposant que $m = \langle \mu_i \rangle = \langle \mu_{i+\delta} \rangle$ et $h = 0$, on obtient :

$$\begin{aligned} m &= \langle \{P(m; J\nabla) + \lambda [\cosh(J\nabla) + \mu_i \sinh(J\nabla)]\}^z \rangle \tanh(\beta x)|_{x=0} \\ &= \sum_{\nu=0}^z \frac{z!}{\nu!(z-\nu)!} \lambda^\nu [P(m; J\nabla)]^{z-\nu} [\cosh(\nu J\nabla) + m \sinh(\nu J\nabla)] \tanh(\beta x)|_{x=0} \end{aligned} \quad (2.66)$$

avec

$$P(m; J\nabla) = (1 - \lambda) [\cosh(J\nabla) + m \sinh(J\nabla)]. \quad (2.67)$$

En posant le paramètre corrélé $\lambda = 0$, l'équation (2.66) coïncide exactement avec (2.53).

Pour l'évaluation de λ , on pose $\{f_i\} = \mu_{i+\delta}$ dans l'équation (2.44),

$$\begin{aligned} \langle \mu_{i+\delta} \mu_i \rangle &= \langle [\sinh(J\nabla) + \mu_{i+\delta} \cosh(J\nabla)] \\ &\quad \times \prod_{\delta'(\neq \delta)} [\cosh(J\nabla) + \mu_{i+\delta'} \sinh(J\nabla)] \rangle \tanh(\beta x)|_{x=0}. \end{aligned} \quad (2.68)$$

En substituant l'équation (2.63) dans l'équation (2.68), on obtient :

$$\begin{aligned} \langle \mu_{i+\delta} \mu_i \rangle &= \sum_{\nu=0}^{z-1} \frac{(z-1)!}{\nu!(z-1-\nu)!} \lambda^\nu P(m; J\nabla) [P(m; J\nabla)]^{z-1-\nu} \\ &\quad \times [\cosh(\nu J\nabla) + m \sinh(\nu J\nabla)] \tanh(\beta x)|_{x=0} + \sum_{\nu=0}^{z-1} \frac{(z-1)!}{\nu!(z-1-\nu)!} \lambda^{\nu+1} \\ &\quad \times [P(m; J\nabla)]^{z-1-\nu} [m \cosh((\nu+1) J\nabla) + \sinh((\nu+1) J\nabla)] \tanh(\beta x)|_{x=0} \end{aligned} \quad (2.69)$$

2.2.3 Théorie du champ effectif

avec

$$\bar{P}(m; J\nabla) = (1 - \lambda) [m \cosh(J\nabla) + \sinh(J\nabla)]. \quad (2.70)$$

Ainsi, l'aimantation m et le paramètre corrélé λ peuvent être évalués à partir des équations couplées (2.66) et (2.69) [63]. Pour mieux illustrer ceci, considérons un réseau carré avec $z = 4$. Dans ce cas, nous avons

$$m = 4(K_1 + 3K_2\lambda^2 - 2K_2\lambda^3)m + 4K_2(1 - 3\lambda^2 + 2\lambda^3)m^3, \quad (2.71)$$

et

$$\begin{aligned} m^2 + \lambda(1 - m^2) &= K_1(1 + 3\lambda^2) + K_2\lambda^2(3 + \lambda^2) \\ &+ m^2[3K_1(1 - \lambda^2) + K_2(3 + 3\lambda^2 - 8\lambda^3 + 2\lambda^4)] \\ &+ m^4[1 - 6\lambda^2 + 8\lambda^3 - 3\lambda^4], \end{aligned} \quad (2.72)$$

où les coefficients K_1 et K_2 prennent les formes suivantes :

$$\begin{aligned} K_1 &= \frac{1}{8}[\tanh(4\beta J) + 2\tanh(2\beta J)], \\ K_2 &= \frac{1}{8}[\tanh(4\beta J) - 2\tanh(2\beta J)]. \end{aligned} \quad (2.73)$$

La température de transition T_c peut être déterminée après la résolution analytique des équations couplées [63],

$$\begin{aligned} 1 &= 4(K_1 + 3K_2\lambda^2 - 2K_2\lambda^3), \\ \lambda &= K_1 + 3\lambda^2(K_1 + K_2) + K_2\lambda^4. \end{aligned} \quad (2.74)$$

Il s'ensuit alors que :

$$\frac{k_B T_c}{J} = \frac{2}{\ln 2} \quad \text{et} \quad \lambda(T = T_c) = \frac{1}{3}. \quad (2.75)$$

En général, la température de transition et le paramètre corrélé à $T = T_c$ sont donnés par :

$$\frac{k_B T_c}{J} = \frac{2}{\ln[z/(z-2)]}, \quad (2.76)$$

et

$$\lambda(T = T_c) = \frac{1}{z-1}. \quad (2.77)$$

2.3.4 Groupe de renormalisation du champ effectif

Nous avons démontré dans la sous-section précédente comment les corrélations de spin peuvent être découplées pour transformer la fonction transcendante en une forme polynomiale. En outre, nous avons trouvé que les résultats dépendent du nombre de coordination et non de

Chapitre 2. Étude des phénomènes critiques

la dimension du système. Afin de tenir compte de la dimension du réseau, ainsi que du nombre de coordination, il convient de traiter les fonctions de corrélation multispin en fonction de ces paramètres. Pour y parvenir, la moyenne thermique de la fonction transcendantale doit être exprimé comme une moyenne sur un polynôme fini de l'opération de spin dans un amas de n -site ($n > 1$) [59, 64].

Dans cette partie, nous montrerons comment la procédure traditionnelle de l'obtention des équations d'état par la théorie du champ effectif, peut être convertie en un outil moderne pour la construction d'une cartographie régulière du groupe de renormalisation selon les idées de Wilson. En raison de sa relation avec la méthode du champ moyen standard, la dénomination du groupe de renormalisation du champ moyen a été utilisée dans la littérature [65]. Il a été utilisé avec succès pour fournir des indications qualitatives et quantitatives sur le comportement critique des systèmes de spins.

Le principe du groupe de renormalisation phénoménologique est basé sur la comparaison de deux amas de différentes tailles N et N' ($N > N'$). Pour les deux amas, on calcule l'aimantation par site, à savoir m_N et $m_{N'}$. Dans le groupe de renormalisation du champ moyen, cela se fait dans le schéma traditionnel du champ moyen, dans lequel les effets des spins autour de chaque amas sont remplacés par de très petits champs de rupture de symétrie b et b' , agissants sur les bords de chaque amas [63]. Les aimantations des amas sont données par :

$$\frac{\partial m_N(K, b)}{\partial b} \Big|_{b=0} = \frac{\partial m_{N'}(K', b')}{\partial b'} \Big|_{b'=0}, \quad (2.78)$$

Ce rapport donne une relation de récurrence entre les constantes de couplage K et K' dans les systèmes. À partir de la relation $K' = K'(K)$, le couplage critique K_c peut être extrait par la résolution de l'équation du point fixe $K^* = K'(K^*)$ qui est invariant par changement d'échelle [63]. De surcroît, l'exposant critique ν de la longueur de corrélation ξ est défini par :

$$\xi \propto |T - T_c|^{-\nu}, \quad (2.79)$$

qui peut être également obtenue en linéarisant la relation de récurrence au voisinage du point fixe K^* :

$$\left(\frac{\partial K'}{\partial K} \right)_{K=K'} = l^{1/\nu}, \quad (2.80)$$

où $l = (N/N')^{1/d}$ est le facteur d'échelle et d est la dimension du système.

Supposons deux amas, l'un avec un spin ($N' = 1$) et l'autre avec deux spins ($N = 2$). Dans l'amas à un spin, le spin μ_1 interagit avec les sites de plus proches voisins z_1 via les constantes

2.2.3 Théorie du champ effectif

de couplage K'_{ij} . Dans l'amas à deux-spins, les spins μ_1 et μ_2 interagissent directement entre eux via le couplage K_{12} , et interagissent avec leurs sites voisins via les constantes de couplage K_{1i} et K'_{2j} . Les aimantations moyennes $m_{N'}$ et m_N associés aux amas $N' = 1$ et $N = 2$ sont données par :

$$m_{N'} = \langle \mu_1 \rangle = \left\langle \tanh \left(\sum_j K'_{1j} \mu'_j \right) \right\rangle, \quad (2.81)$$

et

$$m_N = \left\langle \frac{1}{2} (\mu_1 + \mu_2) \right\rangle = \left\langle \frac{\sinh(u+v)}{\cosh(u+v) + \exp(-2K_{12}) \cosh(u-v)} \right\rangle, \quad (2.82)$$

où $u = \sum_j K_{1j} \mu_j$ et $v = \sum_{j'} K_{2j'} \mu_{j'}$. Les équations (2.81) et (2.82) peuvent être reformulées comme :

$$m_{N'} = \left\langle \prod_j \exp(K'_{1j} \mu'_j \nabla_x) \right\rangle f(x)|_{x=0}, \quad (2.83)$$

et

$$\begin{aligned} m_N = & \left\langle \prod_j' \exp(K_{1j} \mu_j \nabla) \prod_{j'}' \exp(K_{2j'} \mu_{j'} \nabla_y) \right. \\ & \times \left. \prod_k' \exp[\mu_k (K_{1k} \nabla_x + K_{2k} \nabla_y)] \right\rangle f(x, y)|_{x=0, y=0}, \end{aligned} \quad (2.84)$$

où $\nabla_\mu = \partial/\partial\mu$ ($\mu = x$ ou y) est l'opérateur différentiel et les fonctions $f(x)$ et $f(x, y)$ sont définis par [63] :

$$f(x) = \tanh x, \quad (2.85)$$

et

$$f(x, y) = \frac{\sinh(x+y)}{\cosh(x+y) + \exp(-2K_{12}) \cosh(x-y)}. \quad (2.86)$$

En introduisant l'approximation de découplage (2.51) dans les relations exactes (2.83) et (2.84), nous obtenons :

$$m_{N'}(K', b') = A_{N'}^{(z)}(K') b' + O(b'^3), \quad (2.87)$$

et

$$m_N(K, b) = A_N^{(z)}(K) b + O(b^3), \quad (2.88)$$

où les coefficients $A_{N'}^{(z)}(K')$ et $A_N^{(z)}(K)$ sont donnés par :

$$A_{N'}^{(z)}(K') = z_1 \cosh^{z-1}(K \nabla_x) f(x)|_{x=0}, \quad (2.89)$$

et

$$A_N^{(z)}(K) = \left\{ 2z' \sinh(K\nabla_x) \cosh^{z'-1}(K\nabla_x) \cosh^{z'}(K\nabla_y) \cosh^{z''}[K(\nabla_x + \nabla_y)] \right. \\ \left. + z'' \sinh[K(\nabla_x + \nabla_y)] \cosh^{z'}(K\nabla_x) \cosh^{z'}(K\nabla_y) \right. \\ \left. \times \cosh^{z''-1}[K(\nabla_x + \nabla_y)] \right\} f(x, y)|_{x=0, y=0}, \quad (2.90)$$

z' est le nombre de sites plus proches voisins de μ_1 (ou μ_2) mais qui ne sont pas proches voisins de μ_2 (ou μ_1) et z'' représente le nombre de plus proches voisins de μ_1 et μ_2 . En combinant l'équation (2.89) et (2.90) avec l'hypothèse d'échelle [63], on obtient à partir de l'équation (2.78)

$$A_{N'}^{(z)}(K') = A_N^{(z)}(K), \quad (2.91)$$

qui est la relation de récurrence entre les constantes de couplage K et K' pour les deux systèmes $N' = 1$ et $N = 2$.

2.4 Méthode de la matrice de transfert

Cette dernière section met le point sur les matrices de transfert qui sont très utilisées pour résoudre les modèles de spins classiques. L'idée de base est d'écrire la fonction de partition en terme d'une matrice appelée matrice de transfert. Les propriétés thermodynamiques du modèle sont ensuite entièrement décrites par les valeurs propres de la matrice. En particulier, à la limite thermodynamique l'énergie libre par spin dépend exclusivement de la plus grande valeur propre et de la longueur de corrélation. La méthode de la matrice de transfert s'avère très simple pour obtenir la solution exacte du modèle de spin unidimensionnel possédant un nombre fini de sites voisins et un nombre fini d'états de spin. Cette méthode s'utilise également dans l'étude des modèles bidimensionnels exactement solubles. Cependant, pour les dimensions supérieures, l'analyse des matrices infinies-dimensionnelles nécessite des techniques mathématiques extrêmement sophistiquées [14].

2.4.1 Matrice de transfert

Le modèle d'Ising unidimensionnel dans un champ magnétique, est l'exemple explicite qui permet de configurer la matrice de transfert. L'hamiltonien de ce modèle s'écrit :

$$H = -J \sum_{i=0}^{N-1} S_i S_{i+1} - h \sum_{i=0}^{N-1} S_i. \quad (2.92)$$

Pour des raisons de commodité, nous considérons des conditions aux limites périodiques [51] qui s'identifient comme $S_N \equiv S_0$. Le choix des conditions aux limites devient inutile dans la

2.2.4 Méthode de la matrice de transfert

limite thermodynamique, $N \rightarrow \infty$.

La fonction de partition est donnée par :

$$Z = \sum_{\{S\}} e^{\beta J(S_0 S_1 + S_1 S_2 + \dots + S_{N-1} S_0) + \beta h(S_0 + S_1 + \dots + S_{N-1})}, \quad (2.93)$$

où $\{S\}$ représente la trace sur tous les états possibles du système, qui est la somme sur $S_i = \pm 1$ pour tous les spins S_i . Une propriété importante de l'équation (2.93) réside dans le fait qu'elle peut être représentée par un produit de matrices et réorganisée en produits de termes dépendants seulement des paires de plus proches voisins :

$$Z = \sum_{\{S\}} e^{\beta J S_0 S_1 + \beta h(S_0 + S_1)/2} e^{\beta J S_1 S_2 + \beta h(S_1 + S_2)/2} \dots e^{\beta J S_{N-1} S_0 + \beta h(S_{N-1} + S_0)/2}. \quad (2.94)$$

En terme matricielle, nous avons :

$$Z = \sum_{\{S\}} T_{0,1} T_{1,2} \dots T_{N-1,0}, \quad (2.95)$$

où

$$T_{i,i+1} = e^{\beta J S_i S_{i+1} + \beta h(S_i + S_{i+1})/2}, \quad (2.96)$$

sont les éléments d'une matrice T dont les lignes sont marquées par les valeurs de S_i alors que les colonnes sont marquées par S_{i+1} . Pour le modèle considéré, T prend la forme explicite :

$$S_i = \begin{cases} 1 & S_{i+1} = 1 \\ -1 & S_{i+1} = -1 \end{cases} \quad \begin{pmatrix} e^{\beta(J+h)} & e^{-\beta J} \\ e^{-\beta J} & e^{\beta(J-h)} \end{pmatrix}. \quad (2.97)$$

L'équation (2.95) est facilement simplifiée, en notant qu'elle peut s'énoncer comme le produit matriciel s'écrivant en termes des composantes de la matrice T [54]. En prenant la trace sur les spins $i = 1, 2, \dots, N-1$ qui correspond au produit suivant :

$$Z = \sum_{S_0=\pm 1} (T^N)_{0,0}, \quad (2.98)$$

Chapitre 2. Étude des phénomènes critiques

de sorte que seule la sommation sur S_0 des éléments diagonaux de T^N reste. La trace de T^N en termes de valeurs propres λ_i de T donne :

$$Z = \sum_i \lambda_i^N. \quad (2.99)$$

L'équation (2.99) est un résultat général malgré le fait qu'elle est obtenue à partir du modèle d'Ising unidimensionnel. La méthode de la matrice de transfert est utile lorsque la fonction de partition prend la forme de l'équation (2.94) et s'exprime alors comme un produit de matrices. Les systèmes de spins classiques unidimensionnels avec des interactions de portée finie est l'une des applications les plus courantes de la méthode de la matrice de transfert [51]. Dans ce cas, la taille de la matrice de transfert dépend du nombre d'états de spin par site et de la portée des interactions. Par conséquent, le modèle devient plus compliqué, l'utilité du formalisme dépend du fait que la matrice de transfert puisse être diagonalisée analytiquement ou numériquement.

2.4.2 Énergie libre

La puissance du formalisme de la matrice de transfert devient apparente dans la formule de l'énergie libre [51]. En effet, pour une matrice de transfert générale de taille $n \times n$, les valeurs propres rangées par module décroissant sont étiquetées $\lambda_0, \lambda_1, \lambda_2 \dots \lambda_{n-1}$. À la limite thermodynamique, l'énergie libre par spin est donnée par :

$$\begin{aligned} f &= -k_B T \lim_{N \rightarrow \infty} \frac{1}{N} \ln Z_N \\ &= -k_B T \lim_{N \rightarrow \infty} \frac{1}{N} \ln \left\{ \lambda_0^N \left(1 + \sum_i \frac{\lambda_i^N}{\lambda_0^N} \right) \right\}. \end{aligned} \quad (2.100)$$

Pour $N \rightarrow \infty$ et $(\lambda_i/\lambda_0)^N \rightarrow 0$, l'énergie f devient :

$$f = -k_B T \ln \lambda_0. \quad (2.101)$$

Ce résultat est d'une grande importance, car il est souvent beaucoup plus facile de calculer λ_0 que de calculer l'ensemble des valeurs propres d'une matrice.

De plus, le fait que les matrices de transfert appartiennent à une classe de matrices non dégénérée, fait tomber la dégénérescence de λ_0 . La plus grande valeur propre positive λ_0 , donne ainsi une énergie libre physiquement sensible [66]. Nous avons supposé que les λ_i sont réels ; ce qui n'est pas nécessairement le cas pour $i \neq 0$, mais la formule (2.101) reste toujours valable.

2.4.3 Fonction de corrélation

La longueur de corrélation est une autre quantité importante qui est aussi liée aux valeurs propres de la matrice de transfert. Pour calculer cette quantité, nous avons besoin de la fonc-

2.2.4 Méthode de la matrice de transfert

tion de corrélation spin/spin servant à obtenir des moyennes de produits de spins en utilisant des matrices de transfert [65]. La fonction de corrélation à deux spins Γ_{kl} , et la longueur de corrélation ξ sont données par :

$$\Gamma_{kl} = (\langle S_k S_l \rangle - \langle S_k \rangle \langle S_l \rangle), \quad (2.102)$$

$$\xi^{-1} = \lim_{r_{kl} \rightarrow \infty} \left\{ -\frac{1}{r_{kl}} \ln |\langle S_k S_l \rangle - \langle S_k \rangle \langle S_l \rangle| \right\}, \quad (2.103)$$

où S_k et S_l représentent respectivement les spins du site k et du site l , et r_{kl} dénote la distance entre spin S_k et spin S_l .

Pour un anneau de N spins, les spins satisfont :

$$\langle S_k S_l \rangle_N = \frac{\sum_{\{S\}} S_k S_l e^{-\beta H}}{\sum_{\{S\}} e^{-\beta H}} \equiv \frac{1}{Z} \sum_{\{S\}} S_k S_l e^{-\beta H}, \quad (2.104)$$

où

$$\begin{aligned} \sum_{\{S\}} S_k S_l e^{-\beta H} &= \sum_{\{S\}} S_k T_{S_{k-1} S_k} T_{S_k S_{k+1}} \dots T_{S_{l-1} S_l} S_l T_{S_l S_{l+1}} \dots T_{N-1,0} \\ &= \sum_{S_k S_l} S_k (T^{l-k})_{S_k S_l} S_l (T^{N-l+k})_{S_l S_k}. \end{aligned} \quad (2.105)$$

Soit $|\vec{u}_i\rangle$ les vecteurs propres qui correspondent aux valeurs propres λ_i de la matrice T , où $i = 0, 1, 2, \dots, n-1$. La matrice de transfert T est définie par :

$$T = \sum_i |\vec{u}_i\rangle \lambda_i \langle \vec{u}_i|, \quad (2.106)$$

et

$$(T^{l-k})_{S_k S_l} = \sum_i \langle \vec{S}_k | \vec{u}_i \rangle \lambda_i^{l-k} \langle \vec{u}_i | \vec{S}_l \rangle, \quad (2.107)$$

La matrice diagonale s_l dont les valeurs propres sont celles de S_l , correspondant aux vecteurs propres $\langle \vec{S}_l |$ [51] est donnée par :

$$s_l = \sum_{S_l} |\vec{S}_l\rangle S_l \langle \vec{S}_l|. \quad (2.108)$$

En termes de ces paramètres, l'équation (2.105) devient :

$$\begin{aligned} \sum_{\{S\}} S_k S_l e^{-\beta H} &= \sum_{S_k S_l} \sum_{i,j} S_k \langle \vec{S}_k | \vec{u}_i \rangle \lambda_i^{l-k} \langle \vec{u}_i | \vec{S}_l \rangle S_l \langle \vec{S}_l | \vec{u}_j \rangle \lambda_j^{N-l+k} \langle \vec{u}_j | \vec{S}_k \rangle \\ &= \sum_{i,j} \langle \vec{u}_j | s_k | \vec{u}_i \rangle \lambda_i^{l-k} \langle \vec{u}_i | s_l | \vec{u}_j \rangle \lambda_j^{N-l+k}. \end{aligned} \quad (2.109)$$

Chapitre 2. Étude des phénomènes critiques

En utilisant l'équation (2.99), nous obtenons :

$$\langle S_k S_l \rangle_N = \frac{\sum_{i,j} \langle \vec{u}_j | s_k | \vec{u}_i \rangle \left(\frac{\lambda_i}{\lambda_0} \right)^{l-k} \langle \vec{u}_i | s_l | \vec{u}_j \rangle \left(\frac{\lambda_j}{\lambda_0} \right)^{N-l+k}}{\sum_{k'} \left(\frac{\lambda_{k'}}{\lambda_0} \right)^N}, \quad (2.110)$$

où nous avons divisé par λ_0 . Il est alors évident qu'à la limite thermodynamique, seuls les termes en $j = 0$ et $k' = 0$ subsistent, ainsi :

$$\begin{aligned} \langle S_k S_l \rangle &= \lim_{N \rightarrow \infty} \langle S_k S_l \rangle_N \\ &= \langle S_k \rangle \langle S_l \rangle + \sum_{i \neq 0} \left(\frac{\lambda_i}{\lambda_0} \right)^{l-k} \langle \vec{u}_0 | s_k | \vec{u}_i \rangle \langle \vec{u}_i | s_l | \vec{u}_0 \rangle, \end{aligned} \quad (2.111)$$

où, nous avons employé :

$$\langle S_l \rangle = \langle \vec{u}_0 | s_l | \vec{u}_0 \rangle. \quad (2.112)$$

Finalement, la fonction de corrélation de l'équation (2.102) est de la forme :

$$\Gamma_{kl} = \sum_{i \neq 0} \left(\frac{\lambda_i}{\lambda_0} \right)^{l-k} \langle \vec{u}_0 | s_k | \vec{u}_i \rangle \langle \vec{u}_i | s_l | \vec{u}_0 \rangle. \quad (2.113)$$

L'équation (2.113) montre que la fonction de corrélation dépend de toutes les valeurs et les vecteurs propres de la matrice de transfert. Une formule plus simple est obtenue pour la longueur de corrélation de l'équation (2.103) en considérant la limite $r_{kl} \rightarrow \infty$, où $i = 1$ domine la somme dans l'équation (2.113). Dans ce cas :

$$\begin{aligned} \xi^{-1} &= \lim_{r_{kl} \rightarrow \infty} -\frac{1}{r_{kl}} \ln \left\{ \left(\frac{\lambda_1}{\lambda_0} \right)^{l-k} \langle \vec{u}_0 | s_k | \vec{u}_1 \rangle \langle \vec{u}_1 | s_l | \vec{u}_0 \rangle \right\} \\ &= -\ln (\lambda_1 / \lambda_0). \end{aligned} \quad (2.114)$$

Remarquons que l'hamiltonien considéré est invariant par translation. Par conséquent, le produit des éléments de la matrice dans l'équation (2.113) peut être réécrit sous la forme suivante :

$$\langle \vec{u}_0 | s_k | \vec{u}_i \rangle \langle \vec{u}_i | s_l | \vec{u}_0 \rangle = |\langle \vec{u}_i | s_k | \vec{u}_0 \rangle|^2. \quad (2.115)$$

2.4.4 Cas du modèle d'Ising

Pour le cas du modèle d'Ising dans un champ magnétique, la diagonalisation de la matrice de l'équation (2.97) donne les vecteurs propres :

$$\langle \vec{u}_0 | = (\alpha_+, \alpha_-), \quad \langle \vec{u}_1 | = (\alpha_-, -\alpha_+), \quad (2.116)$$

2.2.4 Méthode de la matrice de transfert

et les valeurs propres :

$$\lambda_{0,1} = e^{\beta J} \cosh \beta h \pm \sqrt{e^{2\beta J} \sinh^2 \beta h + e^{-2\beta J}}, \quad (2.117)$$

où

$$\alpha_{\pm}^2 = \frac{1}{2} \left(1 \pm \frac{e^{\beta J} \sinh \beta h}{\sqrt{e^{2\beta J} \sinh^2 \beta h + e^{-2\beta J}}} \right). \quad (2.118)$$

Ces équations (2.117) et (2.118) permettent de donner les formes explicites des quantités physiques suivantes : l'énergie libre par spin f , l'aimantation par spin $\langle S \rangle$, la fonction de corrélation Γ , et la longueur de corrélation ξ [54].

• Énergie libre

À partir des deux équations (2.101) et (2.117), l'énergie libre prend la forme :

$$f = -k_B T \ln \left\{ e^{\beta J} \cosh \beta h + \sqrt{e^{2\beta J} \sinh^2 \beta h + e^{-2\beta J}} \right\}. \quad (2.119)$$

Puisque $\beta \rightarrow \infty$, alors l'énergie par spin s'écrit :

$$f \rightarrow -k_B T \ln \left\{ e^{\beta J} (\cosh \beta h + \sinh \beta h) \right\} = -J - h, \quad (2.120)$$

• Aimantation

L'aimantation peut être obtenue, soit en différenciant la forme négative de l'énergie libre par rapport au champ magnétique h , soit à partir de l'équation (2.112). Rappelons que :

$$\begin{aligned} \langle S \rangle &= (\alpha_+, \alpha_-) \begin{pmatrix} 1 & 0 \\ 0 & -1 \end{pmatrix} \begin{pmatrix} \alpha_+ \\ \alpha_- \end{pmatrix} \\ &= \frac{e^{\beta J} \sinh \beta h}{\sqrt{e^{2\beta J} \sinh^2 \beta h + e^{-2\beta J}}}. \end{aligned} \quad (2.121)$$

Pour les spins sans interaction $J = 0$ nous avons $T = \infty$, d'où :

$$\langle S \rangle = \tanh \beta h, \quad (2.122)$$

comme prévu pour un matériau paramagnétique.

En absence du champ magnétique extérieur et à une température finie quelconque $\langle S \rangle = 0$, comme attendu à partir de la symétrie du modèle, en excluant que la température soit nulle et

Chapitre 2. Étude des phénomènes critiques

que le champ magnétique extérieur que l'on applique soit fini ou nul [54], nous avons :

$$\lim_{h \rightarrow 0^\pm} \lim_{T \rightarrow 0} \langle S \rangle = \pm 1. \quad (2.123)$$

Ce résultat confirme l'existence d'une transition de phase à température nulle vers un état fondamental totalement ordonné.

- **Fonction de corrélation**

L'équation (2.113) nous permet d'écrire la fonction de corrélation comme suit :

$$\Gamma_{kl} = \left(\frac{\lambda_1}{\lambda_0} \right)^{l-k} \frac{e^{-2\beta J}}{e^{2\beta J} \sinh^2 \beta h + e^{-2\beta J}}. \quad (2.124)$$

En absence du champ magnétique, cette équation devient :

$$\Gamma_{kl} (h = 0) = \tanh^{l-k} \beta J. \quad (2.125)$$

La figure (2.2) représente la fonction de corrélation en fonction de r_{kl} pour différentes valeurs de température.

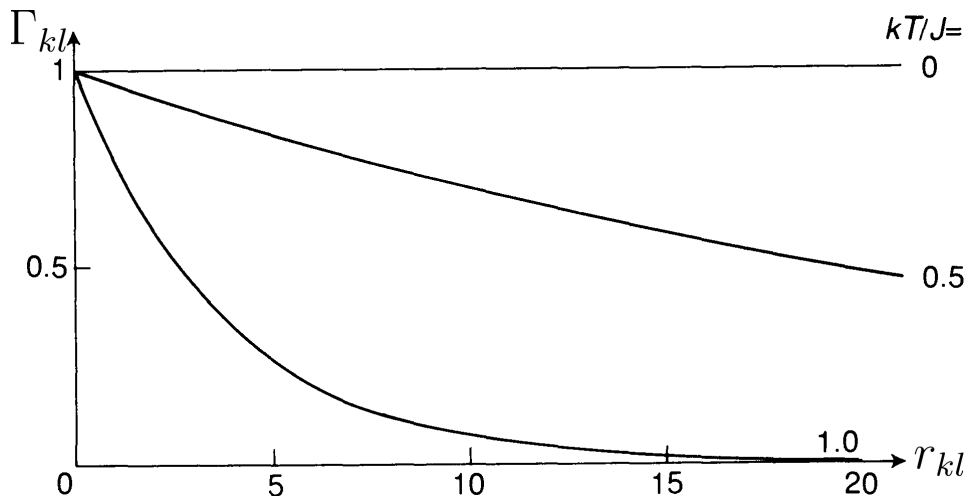


Figure 2.2 – La dépendance de la fonction de corrélation spin/spin du modèle d'Ising unidimensionnel en fonction de la distance et de la température en absence du champ magnétique [54].

Il est important de noter que pour tout $T \neq 0$, la fonction Γ_{kl} décroît avec r_{kl} . De plus, si le couplage est antiferromagnétique ($J < 0$), la fonction de corrélation change de signe pour les valeurs impaires de r_{kl} .

- **Longueur de corrélation**

2.2.4 Méthode de la matrice de transfert

À partir de l'équation (2.117), nous déduisons la longueur de corrélation du système :

$$\xi^{-1} = -\ln \left\{ \frac{e^{\beta J} \cosh \beta h - \sqrt{e^{2\beta J} \sinh^2 \beta h + e^{-2\beta J}}}{e^{\beta J} \cosh \beta h + \sqrt{e^{2\beta J} \sinh^2 \beta h + e^{-2\beta J}}} \right\}, \quad (2.126)$$

lorsque $T \rightarrow 0$, la longueur de corrélation $\xi^{-1} \rightarrow 0$ c'est-à-dire la longueur de corrélation diverge ce qui signale l'apparition d'un point critique [65].

Pour conclure ce chapitre, rappelons que les méthodes de la physique statistique nous ont permis d'expliquer et de décrire quantitativement les phénomènes collectifs dans les matériaux. Elles nous ont également permis de comprendre les transitions de phase et les phénomènes critiques qui apparaissent dans les matériaux.

Les objectifs les plus fondamentaux du développement des méthodes de la physique statistique comme la théorie du champ moyen, la théorie du champ effectif et la méthode de la matrice de transfert, ainsi que la méthode Monte Carlo sont l'étude et le contrôle des propriétés magnétiques dans les matériaux. À ce tire, il nous a semblé intéressant de consacrer le prochain chapitre à la définition des notions de base en magnétisme avant de présenter nos contributions dans ce domaine.

Chapitre 2. Étude des phénomènes critiques

Chapitre 3

Formalisme des propriétés magnétiques et hystérotiques des matériaux

Dans les matériaux, les propriétés magnétiques sont dues aux moments magnétiques des particules les constituant. En effet, les atomes, qui forment la matière, sont composés de noyaux autour desquels gravitent des électrons. Le mouvement supplémentaire des électrons, dû à l'application d'un champ magnétique extérieur, crée les moments magnétiques.

Il est vrai que tous les matériaux sont influencés, de manière plus ou moins complexe, par la présence d'un champ magnétique [1], cependant, ils peuvent réagir différemment à sa présence. Ainsi, l'état magnétique d'un matériau ne dépend pas seulement du champ magnétique, mais dépend également de plusieurs autres paramètres tel que la température, la pression ainsi que les interactions entre les atomes. Par ailleurs, l'ordre magnétique dans les matériaux résulte de l'existence des interactions magnétiques entre les atomes dans le système. Ces interactions se traduisent par la naissance d'une force magnétique qui a tendance à aligner les moments magnétiques. Il existe différents types d'interactions. Elles sont directes si elles s'exercent sans intermédiaire entre porteurs des moments magnétiques et indirectes si elles sont médiées soit par les électrons de conduction du cristal dans lequel les impuretés sont introduites tel est le cas pour l'interaction RKKY, soit par l'intermédiaire d'un ion non-magnétique situé entre les ions magnétiques comme c'est le cas dans l'interaction superéchange.

Ce chapitre vise l'étude des propriétés magnétiques et hystérotiques des matériaux. Dans la première section, nous allons présenter brièvement l'origine du magnétisme puis nous allons citer à ce titre les différents types des matériaux classés selon leur comportement magnétique. Nous décrirons également les différents types de température de transition ainsi que la classification de Néel. La seconde section détaillera les interactions magnétiques tandis que la troisième section évoquera quelques types d'anisotropie magnétique. Enfin, nous clôturons ce chapitre par une présentation détaillée des propriétés hystérotiques.

3.1 Propriétés magnétiques

3.1.1 Origine du magnétisme

L'explication et l'interprétation de l'évolution de la structure magnétique d'un matériau, imposent la nécessité de remonter à l'échelle atomique puis progressivement de passer à l'échelle de l'arrangement d'atomes et enfin du cristal. Pour comprendre l'origine du magnétisme de l'atome, il faut étudier le moment magnétique atomique résultant des électrons non appariés occupant les orbitales localisées des couches incomplètes. Ce moment magnétique est déterminé par le moment cinétique [67, 68]. Plus explicitement, chaque électron individuel dans un atome est caractérisé par un moment cinétique L associé à son mouvement orbital et un moment cinétique intrinsèque ou de spin S . Par conséquent, il y a deux sources de moment magnétique atomique. Le premier est le courant associé au mouvement orbital des électrons et le deuxième le spin de l'électron (voir la figure (3.1)).

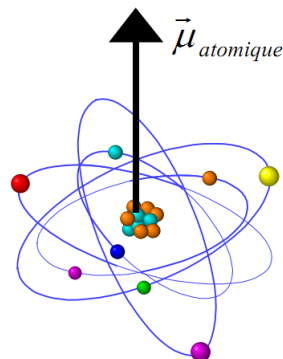


Figure 3.1 – Trajectoire d'un électron autour du noyau [69].

Dans un atome à n -électrons, le moment cinétique orbital est la somme des moments orbitaux de tous les électrons. Le même raisonnement est valable pour les moments cinétiques de spin [70–73]. De ce fait, les moments magnétiques orbitaux et de spin peuvent être exprimés par :

$$\begin{aligned}\vec{\mu}_L &= -\mu_B \vec{L}, \\ \vec{\mu}_S &= -2\mu_B \vec{S},\end{aligned}\tag{3.1}$$

où μ_B est le magnéton de Bohr. Le moment magnétique total μ est alors donné par :

$$\vec{\mu} = -\mu_B (\vec{L} + 2\vec{S}).\tag{3.2}$$

3.3.1 Propriétés magnétiques

Pour un atome à n -électrons, les moments résultants \vec{L} et \vec{S} se combinent pour donner le moment cinétique total \vec{J} de l'atome à travers le couplage spin-orbit. En utilisant les règles de Hund, nous pouvons calculer le moment magnétique d'un atome isolé. Lorsque les atomes forment un solide ou une molécule, la situation est différente de celle du magnétisme dans un atome isolé. Dans ce cas, la formation de liaisons chimiques modifie en général la structure électronique du système de sorte que son magnétisme disparaît. Par conséquent, seuls les solides constitués d'atomes avec des couches incomplètes, faiblement affectés par les liaisons chimiques sont magnétiques. À titre d'exemple ; les composés des éléments de terres rares décrites par le modèle de Bohr. Dans ce modèle, les sous couches $4f$ ne sont pas (ou peu) influencées par la présence des atomes voisins puisqu'elles sont incomplètes et leurs fonctions d'onde sont très localisées. Au contraire, les propriétés magnétiques des métaux $3d$ ne peuvent pas être décrites par le modèle de Bohr, parce que les sous-couches $3d$ incomplètes sont impliquées dans les liaisons chimiques. Néanmoins, ils peuvent être formulés par le modèle du magnétisme itinérant (modèle de Stoner) [71, 72].

Dans le cas des métaux $3d$, les fonctions d'onde $3d$ responsables des propriétés magnétiques sont relativement plus étendues et fortement influencées par le champ cristallin. Il en résulte que les moments orbitaux bloqués par la présence des atomes voisins n'interviennent pas dans les propriétés magnétiques. Par conséquent, leur magnétisme résulte d'un déséquilibre entre les populations de spin $1/2$ et de spin $-1/2$. Ces moments orbitaux créent une aimantation définie par $M = \frac{1}{V} \sum_i M_i$ où la somme porte sur tous les moments magnétiques atomiques M_i du système de volume V . Le modèle de Stoner donne une description de l'origine de ce déséquilibre [74]. En effet, dans le modèle de Stoner, les électrons $3d$ sont considérés comme des électrons libres avec une densité d'état parabolique divisée en deux branches : une pour les spins-up et l'autre pour les spins-down comme illustré sur la figure (3.2).

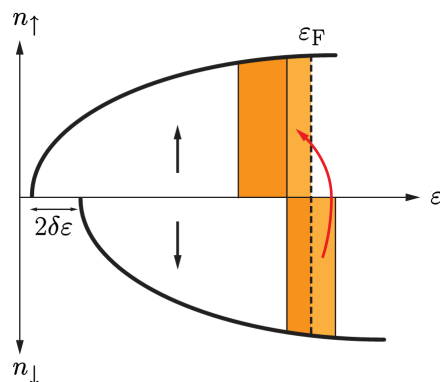


Figure 3.2 – Évolution des populations de la bande $3d$ dans le modèle de Stoner. (\uparrow) et (\downarrow) représentent respectivement le spin des électrons up et down [73].

Chapitre 3. Formalisme des propriétés magnétiques et hystérotiques des matériaux

L'explication de Stoner s'appuie sur le principe d'exclusion de Pauli. À savoir, deux électrons avec le même spin ne peuvent pas exister dans le même état quantique et donc dans la même région de l'espace. En conséquence, la répulsion coulombienne entre deux électrons de spins opposés, qui peuvent se rapprocher les uns des autres, est supérieure à celle entre deux électrons de même spin. Dans le modèle de Stoner, cet effet est pris en compte par une énergie potentielle d'interaction entre N électrons donnée par $\eta N_\uparrow N_\downarrow$ où η exprime la différence de répulsion entre deux électrons de spins identiques et opposés et $N_\uparrow (N_\downarrow)$ représente le nombre d'électrons de spin up (down). Dans ce cas, nous pouvons calculer la différence d'énergie entre un état non-magnétique, où les deux branches de la densité d'états sont symétriques, et un état magnétique où les deux branches sont légèrement décalées par une énergie $2\delta\varepsilon$ [68], comme le montre la figure (3.2). En raison de ce décalage, la quantité $n(\varepsilon_F)\delta\varepsilon$ de spins-down devient up. Dans cette expression, $n(\varepsilon_F)$ représente la densité d'état au niveau de Fermi. Par conséquent, la variation d'énergie cinétique est donnée par :

$$\Delta E_c = n(\varepsilon_F)(\delta\varepsilon)^2, \quad (3.3)$$

et la variation de l'énergie potentielle se définit par :

$$\Delta E_p = \eta \left[\frac{N}{2} + n(\varepsilon_F) \delta\varepsilon \right] \left[\frac{N}{2} - n(\varepsilon_F) \delta\varepsilon \right] - \eta \left(\frac{N}{2} \right)^2 = -\eta [n(\varepsilon_F) \delta\varepsilon]^2. \quad (3.4)$$

Finalement, la variation de l'énergie totale du système est de la forme :

$$\Delta E = n(\varepsilon_F)(\delta\varepsilon)^2 [1 - \eta n(\varepsilon_F)]. \quad (3.5)$$

Au cas où $\eta n(\varepsilon_F) > 1$ nous trouvons $\Delta E < 0$ qui est la condition pour que l'état magnétique soit stable selon le critère de stabilité de Stoner.

3.1.2 Classification magnétiques des matériaux

Les propriétés magnétiques des matériaux proviennent de leurs moments magnétiques atomiques produits par le spin et le moment cinétique de leurs électrons. Par conséquent, les matériaux sont classés en fonction de leur comportement dans un champ magnétique extérieur. En effet, certains matériaux sont beaucoup plus magnétiques que d'autres [75]. Cela peut s'expliquer par la nature des interactions entre les moments magnétiques atomiques qui s'établissent au sein de la structure. Les matériaux sont classés en fonction de leur comportement magnétique en deux catégories :

- les matériaux magnétiques non-ordonnés (magnétisme non-coopératif), tel que les diamagnétiques

3.3.1 Propriétés magnétiques

tiques, les paramagnétiques et les superparamagnétiques [67, 75],

- les matériaux magnétiques ordonnés et qui présentent des électrons non appariés (magnétisme coopératif), comme les ferromagnétiques, les antiferromagnétiques, les ferrimagnétiques et les antiferrimagnétiques [67, 75].

En outre, plus la science se développe et plus de nouveaux groupes de matériaux apparaissent dont le comportement magnétique ne correspond à aucune de ces deux classifications. Par exemple, les matériaux hélimagnétiques, métamagnétiques, spéromagnétiques, aspéromagnétiques et les verres de spins. Il est également important de remarquer que le comportement magnétique des matériaux peut varier en fonction des changements associés à d'autres facteurs, notamment la température.

• *Diamagnétisme*

Le diamagnétisme est une propriété magnétique fondamentale. Il est extrêmement faible par rapport aux autres effets magnétiques. Par ailleurs, il tend à être submergé par tous les autres types de comportement magnétique. Les matériaux diamagnétiques sont des matériaux ne comportant que des atomes non-magnétiques dont tous les électrons sont appariés [67, 76]. Sous l'influence d'un champ magnétique extérieur, le mouvement orbital des électrons est légèrement modifié. Ainsi, le courant induit génère une aimantation dans la direction opposée de celle du champ magnétique appliqué selon la loi de Lenz. Par conséquent, l'aimantation d'un matériau diamagnétique est proportionnelle au champ magnétique appliqué comme illustré sur la figure (3.3). Ce type de matériaux ont une susceptibilité relative négative et très faible d'environ 10^{-5} [77].

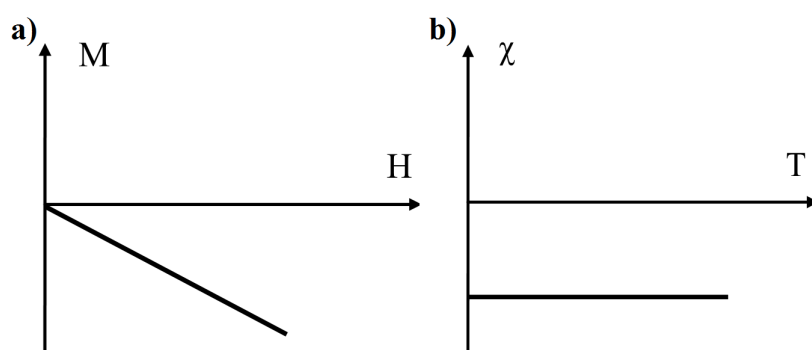


Figure 3.3 – Variation de (a) l'aimantation en fonction du champ appliqué et (b) la susceptibilité en fonction de la température pour un matériau diamagnétique.

Les matériaux diamagnétiques s'aimantent faiblement et leur aimantation est perdue dès que le champ magnétique est supprimé. Pratiquement tous les matériaux ont une contribution diamagnétique en raison de leur réponse totale à un champ magnétique [75]. Cependant, dans les

Chapitre 3. Formalisme des propriétés magnétiques et hystérotiques des matériaux

matériaux contenant des moments magnétiques permanents, la contribution diamagnétique est généralement éclipsée par la réponse de ces moments. Parmi les substances qui présentent un comportement diamagnétique, il existe : le quartz, la calcite, les feldspaths, le bismuth métallique et certaines autres molécules organiques comme le benzène [76].

• **Paramagnétisme**

Dans ces matériaux, les atomes ou les ions possèdent des électrons non-appariés dans des orbitales partiellement remplies. Cela signifie que dans une substance paramagnétique, chaque atome a un petit moment magnétique net [76]. Il convient de noter qu'il n'y a pas d'interaction entre ces moments magnétiques. Par conséquent, en présence d'un champ magnétique extérieur, l'agitation thermique empêche l'alignement partiel de ces moments magnétiques atomiques dans la direction du champ magnétique appliqué. Cela entraîne une aimantation nette positive et une susceptibilité positive de l'ordre 10^{-4} à 10^{-5} . Cependant, l'aimantation d'un matériau paramagnétique est perdue quand le champ est supprimé en raison des effets thermiques [75, 77]. Si la température de la substance paramagnétique augmente, alors l'alignement des moments magnétiques sera perturbé. Par conséquent, la susceptibilité magnétique dépend de la température plus précisément, la susceptibilité paramagnétique est inversement proportionnelle à la température absolue. Cette loi est la loi de Curie. À température ambiante, la plupart des minéraux contenant du fer sont paramagnétiques [67, 76].

• **Ferromagnétisme**

Quand nous pensons à des matériaux magnétiques, les premiers éléments qui se présentent à notre esprit sont le fer, le nickel, le cobalt et la magnétite. Ces derniers sont généralement appelés matériaux ferromagnétiques. Dans ces matériaux, il existe une forte interaction entre les moments magnétiques qui entraîne les forces d'échange et qui est dûe à l'échange des électrons [67]. Sous l'influence des forces d'échange, les moments magnétiques sont alignés parallèlement comme montré dans la figure (3.4) [75, 78].

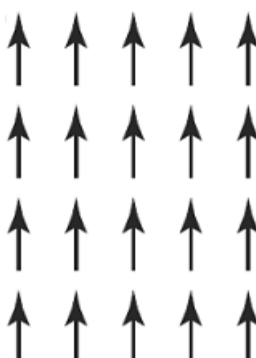


Figure 3.4 – Arrangement des moments magnétiques dans les matériaux ferromagnétiques.

3.3.1 Propriétés magnétiques

Dans les matériaux ferromagnétiques, les spins de deux électrons voisins sont orientés de telle façon qu'une forte interaction se développe entre les atomes contenant ces électrons. Il s'agit d'un effet quantique. C'est la raison pour laquelle ces moments magnétiques sont alignés parallèlement les uns aux autres, même en absence du champ externe. Par ailleurs, la température influence fortement les propriétés magnétiques des matériaux. En effet, l'aimantation d'un tel matériau décroît lorsque la température augmente pour s'annuler à une température de transition ordre/désordre caractéristique appelée température de Curie T_C [75, 77]. À des températures supérieures à T_C , ces matériaux deviennent paramagnétiques. Le comportement ferromagnétique existe dans les métaux de transition et les terres rares, mais aussi dans les alliages, les oxydes et les complexes de ces éléments [67, 78].

• **Antiferromagnétisme**

L'ordre antiferromagnétique se produit dans les métaux de transition $3d$ lorsque les distances interatomiques sont suffisamment petites pour que le couplage entre spin voisin devient négatif. Dans les matériaux antiferromagnétiques les atomes s'organisent de façon que deux atomes voisins puissent avoir des moments opposés [75, 76], comme le montre la figure (3.5).

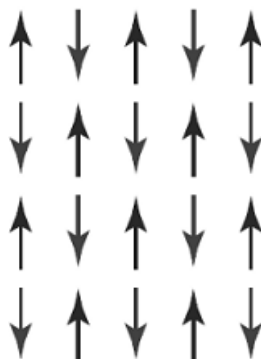


Figure 3.5 – Alignements de spins dans un matériau antiferromagnétique.

En effet, les matériaux antiferromagnétiques se composent de deux sous-réseaux magnétiques aimantés en sens inverse. Par conséquent, l'aimantation de l'ensemble est nulle. Ainsi la susceptibilité est faiblement positive à cause des valeurs négatives des interactions d'échange entre les atomes voisins. La susceptibilité d'un matériau antiferromagnétique atteint son maximum à la température de Néel [76, 78]. Au delà de cette température, l'ordre antiferromagnétique disparaît et le matériau se comporte comme un paramagnétique. De nombreux composés des métaux de transition connus tels que les oxydes de cobalt, nickel, chrome et manganèse sont antiferromagnétiques [67].

• **Ferrimagnétisme**

Le ferrimagnétisme est observé uniquement dans les composés qui ont des structures cristallines

Chapitre 3. Formalisme des propriétés magnétiques et hystérotiques des matériaux

plus complexes que celles des métaux purs. Le ferrimagnétisme peut être considéré comme un comportement intermédiaire entre le ferromagnétisme et l'antiferromagnétisme. Les matériaux ferrimagnétiques se décomposent en deux (ou plusieurs) sous-réseaux magnétiques avec des spins inégaux [67, 77, 78]. Au sein de ces matériaux, les interactions d'échange mènent à un alignement parallèle des spins du même sous-réseau et à un alignement antiparallèle des spins des deux sous-réseaux différents comme illustré sur la figure (3.6).

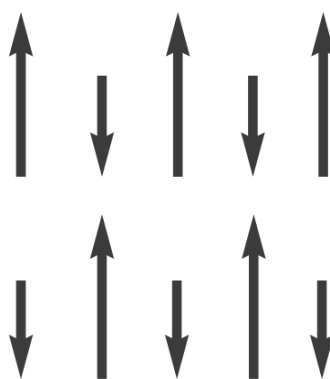


Figure 3.6 – Alignements de spins dans un matériau ferrimagnétique.

Cependant, comme les spins ne se compensent pas totalement, le matériau ferrimagnétique présente une aimantation plus faible que celle des matériaux ferromagnétiques en absence d'un champ magnétique appliqué. Cependant, Sous l'action d'un champ magnétique extérieur, les spins ont tendance à s'aligner parallèlement au champ [76]. Les matériaux ferrimagnétiques ont des conductivités électriques faibles et trouvent de nombreuses applications industrielles tel que les applications qui nécessitent un matériau avec une aimantation spontanée pour fonctionner à des fréquences élevées (transformateurs) [75, 77].

• *Antiferrimagnétisme*

Les matériaux antiferrimagnétiques ont une apparence similaire à celle des matériaux antiferromagnétiques. Effectivement dans les matériaux antiferrimagnétiques, les spins sont répartis en deux (ou plusieurs) sous-réseaux magnétiques inégaux, à l'intérieur desquels les interactions sont antiferromagnétiques. Les spins sont donc antiparallèles entre eux. C'est le cas notamment dans certains composés comportant deux types d'atomes de moments magnétiques de spins différents [76].

• *Superparamagnétisme*

Le superparamagnétisme est un type de magnétisme, qui apparaît dans des particules ferromagnétiques ou ferrimagnétiques nanométriques. Les matériaux superparamagnétiques présentent un comportement paramagnétique en dessous de leur température critique où les agitations

3.3.1 Propriétés magnétiques

thermiques ne sont pas assez fortes. Les forces d'interaction entre les atomes individuels dominent ces agitations [76]. Mais, ces forces parviennent à changer la direction de l'aimantation de la particule entière. Par conséquent, les directions des moments magnétiques des particules dans le cristal sont disposées de façon aléatoire. Ainsi, le moment magnétique net est nul. Les particules superparamagnétiques sont donc souvent utilisées dans de nombreux systèmes magnétiques dans le domaine biomédical. Leurs avantages c'est qu'elles sont petites et ne conservent pas l'aimantation remanente [75].

• Autres structures magnétiques

Il existe également d'autres types de structures magnétiques plus complexes :

• *Antiferromagnétisme non colinéaire*

L'ordre antiferromagnétique non-colinéaire se produit dans les matériaux où les spins sont inclinés les uns par rapport aux autres. En d'autres termes, il se produit lorsque les moments magnétiques des deux sous-réseaux ne sont pas rigoureusement antiparallèles [76].

• *Hélimagnétisme*

L'hélimagnétisme est une forme d'ordre magnétique qui résulte de la compétition entre les interactions ferromagnétiques et antiferromagnétiques. C'est la propriété à basse température de certains métaux et de sels de métaux de transition, dans lesquels les moments magnétiques atomiques sont disposés en hélice avec un angle de rotation pouvant varier entre 0° et 180° [67]. L'antiferromagnétisme et le ferromagnétisme peuvent être considérés comme des cas limites d'hélimagnétisme, avec un angle de rotation respectivement de 180° et 0° . L'ordre hélimagnétique brise la symétrie d'inversion spatiale des moments magnétiques comme il peut présenter une rotation horaire ou antihoraire dans la nature [68, 75].

• *Métamagnétisme*

Le métamagnétisme est une augmentation soudaine de l'aimantation d'un matériau avec une faible variation du champ magnétique appliqué. Le comportement métamagnétique peut avoir différentes causes physiques entraînant ainsi différents types de métamagnétisme. Selon le matériau et les conditions expérimentales, le métamagnétisme peut être associé à une transition de phase du premier ordre, une transition de phase continue à un point critique, ou crossovers au-delà d'un point critique ne comportant pas de transition de phase [76].

• *Spéromagnétisme*

Les matériaux spéromagnétiques se caractérisent par une distribution aléatoire de moments magnétiques induite par la topologie du réseau cationique [76].

• *Aspéromagnétisme*

Les matériaux aspéromagnétiques sont déterminés par une configuration magnétique gelée dont les orientations des moments magnétiques sont distribuées dans un demi-espace [75, 76].

Chapitre 3. Formalisme des propriétés magnétiques et hystérotiques des matériaux

• *Spérimagnétisme*

Les matériaux spérimagnétiques sont constitués de deux configurations de moments inégaux correspondant aux deux sous-réseaux. Ils ressemblent aux matériaux aspéromagnétiques, du fait que les orientations de leurs moments magnétiques sont distribuées dans un demi-espace [76].

3.1.3 Température de transition

L'ordre magnétique des matériaux est fortement influencé par le changement de la température. Ainsi, un matériau présente différents comportements magnétiques en fonction de sa température.

• *Température de Curie*

Les matériaux ferromagnétiques perdent leurs propriétés particulières au-dessus d'une température critique T_C appelée température de Curie. La température de Curie est la température à laquelle un matériau ferromagnétique devient paramagnétique sous l'influence d'une hausse de température. Au dessous de la température de Curie, les interactions ferromagnétiques tendent à aligner parallèlement les moments magnétiques voisins dans le matériau [79]. Cependant, en augmentant la température, les spins fluctuent rapidement. En effet, la transition se produit à la température critique quand l'énergie d'agitation thermique des spins domine l'énergie d'interaction magnétique. Ce processus est réversible car l'ordre ferromagnétique réapparaît dans le système quand sa température redescend en dessous de la température de Curie. La valeur de la température de Curie varie d'un matériau à l'autre. À titre d'exemple, les températures de Curie, sont respectivement pour le fer, le cobalt, le nickel et la magnétite : 1044K, 1388K, 628K et 856K [80].

• *Température de Néel*

Dans un matériau antiferromagnétique, la température de Néel T_N , est la température à laquelle le matériau présente une transition de phase vers un comportement paramagnétique. Cette température est similaire à la température de Curie pour les matériaux ferromagnétiques. Comme les matériaux antiferromagnétiques ne présentent pas une aimantation spontanée, la transition de phase se manifeste par l'apparition de pic dans le graphe de la susceptibilité. Au dessus de la température de Néel, la susceptibilité obéit à la loi de Curie-Weiss [80, 81].

• *Température de compensation*

Contrairement aux matériaux ferromagnétiques et antiferromagnétiques, les matériaux ferrimagnétiques peuvent présenter, sous certaines conditions, une température de compensation T_{comp} proche de la température ambiante. La température de compensation T_{comp} est la température à laquelle, l'aimantation totale du système disparaît en dessous de la température critique. Elle

3.3.1 Propriétés magnétiques

apparaît en raison de la nature d’interaction d’échange entre les deux sous-réseaux inégaux A et B qui forment le matériau ferrimagnétique [82, 83]. À la température de compensation T_{comp} , les moments magnétiques des deux sous-réseaux sont alignés antiparallèlement et ont la même valeur absolue. Ainsi, la température de compensation T_{comp} peut être déterminée par le point d’intersection des valeurs absolues des aimantations des deux sous-réseaux A et B . Par conséquent, au point de compensation, nous devons avoir :

$$|m_A(T_{comp})| = |m_B(T_{comp})|, \quad (3.6)$$

et

$$\text{sign } |m_A(T_{comp})| = -\text{sign } |m_B(T_{comp})|. \quad (3.7)$$

L’apparition du point de compensation rend le matériau prometteur pour des applications technologiques importantes, notamment dans le domaine de l’enregistrement thermomagnétique. En outre, certaines nouvelles propriétés physiques ont été observées au point de compensation. Par exemple, il a été constaté que le champ coercitif présente un pic au point de compensation, favorisant ainsi la création de petits domaines magnétiques stables [82]. Cette dépendance en température de ce dernier au point de compensation peut être appliquée à l’écriture et à l’effacement dans les médias d’enregistrement magnéto-optiques à haute densité, où les changements de température sont atteints par un échauffement local des films par un faisceau laser focalisé. Il a notamment été démontré que l’utilisation des films amorphes ferrimagnétiques avec des températures de compensation plus élevées que la température ambiante, permet d’atteindre une capacité d’écrasement direct dans des supports d’enregistrement magnéto-optique. L’importance technologique de ce genre de température est évidente puisqu’un petit champ est suffisant pour changer le signe de l’aimantation totale du système [81].

• Température de blocage

À l’échelle nanométrique, la température et le temps ont un effet crucial sur les moments magnétiques des nanoparticules. De nombreuses notions très importantes en découlent, comme le superparamagnétisme et la température de blocage. La température de blocage T_B est une grandeur physique qui dépend du matériau lui-même. Elle peut être obtenue à partir du pic de la susceptibilité magnétique en fonction de la température. La phase magnétique des nanoparticules est déterminée par la température de blocage. En effet, au-dessus de cette température, un matériau ferromagnétique, antiferromagnétique ou ferrimagnétique devient superparamagnétique. La température de blocage peut également être définie comme celle à laquelle le temps de relaxation devient égal au temps de mesure expérimentale [80, 84]. Dans ce cas, la

Chapitre 3. Formalisme des propriétés magnétiques et hystérotiques des matériaux

température de blocage T_B s'exprime comme :

$$T_B = \frac{KV}{k_B \ln \left(\frac{\tau}{\tau_0} \right)}, \quad (3.8)$$

où K et V sont respectivement, l'anisotropie magnétique de la nanoparticule et son volume, k_B est la constante de Boltzmann, τ est le temps de mesure et τ_0 est le temps d'essai d'une valeur comprise entre 10^{-9} et 10^{-10} seconde [84].

• Température de déblocage

La température de déblocage est la température à laquelle une composante de l'aimantation d'un matériau devient thermiquement démagnétisée dans une expérience de laboratoire. Le déblocage se produit au cours du chauffage en laboratoire lorsque le temps de relaxation des nanoparticules portant l'aimantation devient équivalent à celui auquel le matériau est maintenu à une température élevée [80, 84].

3.1.4 Classification de Néel

Dans la théorie du ferrimagnétisme de Néel, il est possible de classer la variation thermique de l'aimantation spontanée totale en cinq catégories principales [85]. Ces catégories sont : type Q , type P , type N , type L et type M . En outre, Strečka a montré l'existence d'autres types d'aimantation [86], tels que le type R , le type S et le type W . La variation thermique de différents types d'aimantation est montrée dans la figure (3.7).

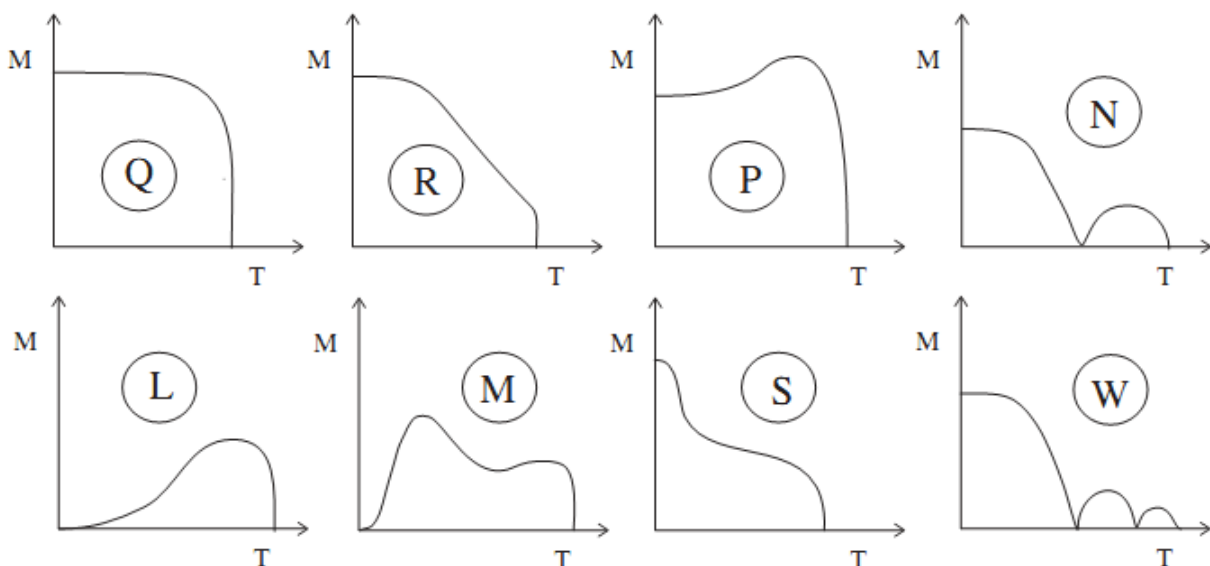


Figure 3.7 – Représentation schématique de la variation thermique de différents types d'aimantation [86].

3.3.2 Interactions magnétiques

Selon la figure (3.7), les dépendances de type Q et de type R présentent une diminution monotone de l'aimantation lorsque la température augmente. De plus, la variation thermique de l'aimantation de type Q est presque analogue à celle de type R . La seule différence est la diminution rapide de l'aimantation type Q au voisinage de la température critique, tandis que l'aimantation type R se caractérise d'une baisse relativement rapide dans la gamme de températures intermédiaires avant de s'annuler brusquement au point critique. L'aimantation de type P augmente et atteint une valeur maximale lorsque la température augmente ; alors que la courbe de type N est caractérisée par un point de compensation où l'aimantation résultante disparaît. La courbe de type L est très analogue à la dépendance de type P . Cependant, l'aimantation résultante commence à partir de zéro dans ce cas particulier. De même, la dépendance de type M commence également à partir de zéro tout en ayant deux maxima distincts avant la température critique. L'aimantation de type S présente trois phases principales. Dans un premier temps, nous constatons une décroissance rapide, suivie d'une diminution presque complète dans la gamme de températures intermédiaires, et enfin, une troisième baisse rapide au voisinage de la température critique. La courbe de type W présente deux points de compensation avant la température critique.

3.2 Interactions magnétiques

L'origine du champ effectif est l'interaction d'échange qui reflète la répulsion de Coulomb de deux électrons voisins. Selon le principe d'exclusion de Pauli, les électrons ne peuvent pas être au même endroit dans le même état quantique s'ils ont le même spin. Il y a une différence d'énergie entre les configurations à spins parallèles $\uparrow_i \uparrow_j$ et antiparallèles $\uparrow_i \downarrow_j$ des atomes voisins i et j . L'échange interatomique dans les isolants est généralement plus faible que l'échange intracorps ferromagnétique entre les électrons d'un même atome, ce qui conduit à la première règle de Hund [69].

Les électrons sont indiscernables et donc l'échange de deux électrons doit donner la même densité électronique $|\Psi(1, 2)|^2 = |\Psi(2, 1)|^2$. Comme les électrons sont des fermions, la seule solution pour la fonction d'onde totale des deux électrons est d'être antisymétrique :

$$\Psi(1, 2) = -\Psi(2, 1). \quad (3.9)$$

La fonction d'onde totale Ψ est le produit des fonctions d'onde d'espace et de spin $\phi(r_1, r_2)$ et $\chi(s_1, s_2)$.

Pour mieux comprendre l'interaction d'échange, nous considérons l'exemple le plus simple : la molécule d'hydrogène avec deux atomes d'hydrogène ayant chacun un électron de valence dans

Chapitre 3. Formalisme des propriétés magnétiques et hystérotiques des matériaux

une orbitale $1s$ $\psi_i(r_i)$. L'équation de Schrödinger est $H(r_1, r_2)\Psi(r_1, r_2) = \varepsilon\Psi(r_1, r_2)$ où on néglige les interactions entre les électrons :

$$\left[-\frac{\hbar^2}{2m} \left(\frac{\partial^2}{\partial r_1^2} + \frac{\partial^2}{\partial r_2^2} \right) - \frac{e^2}{4\pi\epsilon_0} \left(\frac{1}{r_1} + \frac{1}{r_2} \right) \right] \Psi(r_1, r_2) = \varepsilon\Psi(r_1, r_2). \quad (3.10)$$

Il y a deux types d'orbites moléculaires, les orbitales symétriques liantes ϕ_s et les orbitales antisymétriques antiliantes ϕ_a . Elles s'écrivent sous la forme :

$$\phi_s = (1/\sqrt{2})(\psi_1 + \psi_2) \quad \text{et} \quad \phi_a = (1/\sqrt{2})(\psi_1 - \psi_2). \quad (3.11)$$

ψ_1 et ψ_2 sont les composantes spatiales des fonctions d'onde des électrons individuels 1 et 2 respectivement. Les fonctions d'onde $\psi_1(r_1)$ et $\psi_2(r_2)$ sont les solutions de l'équation de Schrödinger pour chaque atome individuel [67].

Les fonctions de spins symétriques et antisymétriques sont les états de spin triplet et singulet :

$$\begin{aligned} S &= 1; & M_s &= 1, 0, -1, \\ \chi_s &= |\uparrow_1, \uparrow_2\rangle; & (1/\sqrt{2})[|\uparrow_1, \downarrow_2\rangle + |\downarrow_1, \uparrow_2\rangle]; & |\downarrow_1, \downarrow_2\rangle, \\ S &= 0; & M_s &= 0, \\ \chi_a &= (1/\sqrt{2})[|\uparrow_1, \downarrow_2\rangle - |\downarrow_1, \uparrow_2\rangle]. \end{aligned} \quad (3.12)$$

Selon l'équation (3.9), multiplier la fonction d'espace symétrique par la fonction de spin antisymétrique, et vice-versa nous mène à des fonctions d'ondes totales antisymétriques :

$$\begin{aligned} \Psi_I &= \phi_s(1, 2)\chi_a(1, 2), \\ \Psi_{II} &= \phi_a(1, 2)\chi_s(1, 2). \end{aligned} \quad (3.13)$$

Lorsque les deux électrons sont dans l'état de spin triplet, il n'y a aucune probabilité de les retrouver au même point de l'espace. Mais si les électrons sont dans l'état singulet de spin, avec des spins antiparallèles, il est possible de les trouver au même endroit, parce que la partie spatiale de la fonction d'onde est symétrique par rapport à l'échange des électrons [67, 69].

Les énergies des deux états peuvent être évaluées à partir de l'hamiltonien $H(r_1, r_2)$ dans l'équation (3.10) :

$$\varepsilon_{I,II} = \int \phi_{s,a}^*(r_1, r_2) H(r_1, r_2) \phi_{s,a}(r_1, r_2) dr_1^3 dr_2^3. \quad (3.14)$$

Pour la molécule d'hydrogène, ε_I est inférieur à ε_{II} . En d'autres termes, les orbitales moléculaires liantes sont au dessous des orbitales moléculaires antiliantes. Pour l'intégrale d'échange

3.3.2 Interactions magnétiques

$J = (\varepsilon_I - \varepsilon_{II}) / 2$, nous pouvons décrire l'énergie par :

$$\varepsilon = -2 \left(J/\hbar^2 \right) s_1 \cdot s_2, \quad (3.15)$$

où

$$s_1 \cdot s_2 = \frac{1}{2} \left[(s_1 + s_2)^2 - s_1^2 - s_2^2 \right]. \quad (3.16)$$

Selon la valeur du nombre quantique de spin $S = s_1 + s_2 = 0$ ou 1 , les valeurs propres sont $-\frac{3}{4}\hbar^2$ ou $+\frac{1}{4}\hbar^2$. La différence d'énergie entre l'état singule et l'état triplet est $2J$. L'intégrale d'échange J s'écrit sous la forme :

$$J = \int \psi_1^*(r') \psi_2^*(r) H(r, r') \psi_1(r) \psi_2(r') dr^3 d^3 r'. \quad (3.17)$$

Dans la molécule de H_2 , l'état de spin singule étant plus faible, l'intégrale est négative. Cependant, dans un atome, les orbitales sont orthogonales et J est positif [67]. L'hamiltonien de Heisenberg est donné par :

$$H = -2J \hat{S}_1 \cdot \hat{S}_2, \quad (3.18)$$

où \hat{S}_1 et \hat{S}_2 sont les opérateurs de spin. \hbar^2 a été absorbé dans la constante d'échange J . Pour la suite, nous adopterons cette convention, afin d'éviter d'avoir à écrire \hbar partout. Nous enleverons également le chapeau sur les opérateurs de spin \hat{S}_i . $J > 0$ indique une interaction ferromagnétique, tendant à aligner les deux spins parallèles ; $J < 0$ indique une interaction antiferromagnétique, qui tend à aligner les deux spins antiparallèles [69].

Dans un réseau, l'hamiltonien est généralisé à une somme sur toutes les paires d'atomes sur les sites i et j du réseau :

$$H = -2 \sum_{i>j} J_{ij} S_i \cdot S_j. \quad (3.19)$$

Le couplage d'échange interatomique décrit par l'hamiltonien de Heisenberg ne peut être que ferromagnétique ou antiferromagnétique [86].

La constante d'échange de Heisenberg J peut être liée à la constante de Weiss n_W de la théorie de champ moléculaire [67]. Si le moment $g\mu_B S_i$ intéragit avec un champ effectif $H^i = n_W M = n_W n g\mu_B S$, l'hamiltonien s'écrit alors comme :

$$H_i = -2 \left[\sum_j J S_j \right] \cdot S_i \approx -\mu_0 H^i g\mu_B S_i. \quad (3.20)$$

Chapitre 3. Formalisme des propriétés magnétiques et hystérotiques des matériaux

L'approximation du champ moléculaire s'élève à la moyenne sur les corrélations locales entre S_i et S_j . Si z est le nombre de plus proches voisins, alors $J = \mu_0 n_W n g^2 \mu_B^2 / 2z$. Par conséquent, nous pouvons écrire :

$$T_C = \frac{2zJS(S+1)}{3k_B}. \quad (3.21)$$

En général, lorsque de nombreux électrons plus ou moins délocalisés sont présents dans les différentes orbitales, le calcul de l'échange est une question délicate.

Dans cette section, nous allons présenter divers modèles en présence d'une impureté dans les systèmes métalliques. Ensuite, nous discuterons les différents types d'interaction magnétique responsables des propriétés magnétiques.

3.2.1 Modèles d'impuretés

- **Modèle de diffusion pour une impureté non magnétique**

Ce modèle décrit l'effet d'une impureté sans spin (ou d'un défaut quelconque non magnétique) sur les électrons de conduction considérés comme libres [87]. L'hamiltonien prend la forme :

$$H = \sum_{k\sigma} \varepsilon_k a_{k\sigma}^\dagger a_{k\sigma} + \sum_{kk'} V_{kk'} a_{k\sigma}^\dagger a_{k'\sigma}. \quad (3.22)$$

où $a_{k\sigma}$ et $a_{k\sigma}^\dagger$ sont les opérateurs de création et d'annihilation d'un électron de conduction de spin σ et de moment k , $a_{k'\sigma}$ est l'opérateur de création d'un électron de conduction de spin σ et de moment k' , ε_k est l'énergie d'un électron de conduction de moment k et $V_{kk'}$ représente le potentiel de l'impureté dans la base des ondes planes.

Dans ce cas, nous n'avons pas d'orbitale localisée associée à l'impureté, car elle n'intervient que sous la forme d'un potentiel extérieur. Cet hamiltonien permet de calculer les modifications de la densité d'états induites par le potentiel, lesquelles sont données par la règle de somme de Friedel.

- **Modèle d'Anderson**

Ce modèle décrit l'effet des impuretés sur les propriétés de transport électronique dans les cristaux imparfaits.

- **Modèle d'Anderson sans interaction de Coulomb**

Le plus souvent, les atomes d'impuretés présents dans un métal portent des orbitales atomiques dont les énergies sont voisines de celles des électrons de conduction du métal. L'orbitale de l'impureté va donc se mélanger à celles des électrons de conduction donnant lieu à une redistribution des niveaux d'énergie [67, 87]. Dans ce cas, l'hamiltonien prend la forme :

$$H_A^{(1)} = \sum_{k\sigma} \varepsilon_k a_{k\sigma}^\dagger a_{k\sigma} + \varepsilon_d \sum_{\sigma} a_{d\sigma}^\dagger a_{d\sigma} + \sum_{k\sigma} (V_k a_{k\sigma}^\dagger a_{d\sigma} + h.c.), \quad (3.23)$$

3.3.2 Interactions magnétiques

où $a_{k\sigma}$ et $a_{k\sigma}^\dagger$ sont les opérateurs de création et d'annihilation d'un électron de conduction de spin σ et de moment k , $a_{d\sigma}$ et $a_{d\sigma}^\dagger$ sont les opérateurs de création et d'annihilation d'un électron d de spin σ , ε_k et ε_d sont respectivement les énergies d'un électron de conduction de moment k et d'un électron d et V_k est le potentiel d'hybridation pour un moment k .

- *Modèle d'Anderson avec interaction de Coulomb*

Afin de tenir compte de la répulsion coulombienne lorsqu'il y a deux électrons sur l'orbitale d [67, 87], l'hamiltonien considéré s'écrit donc :

$$H_A^{(2)} = H_A^{(1)} + U n_{d\uparrow} n_{d\downarrow}. \quad (3.24)$$

où $n_{d\uparrow}$ et $n_{d\downarrow}$ sont les nombres d'électrons d de spin up et down et U est l'interaction coulombienne. Lorsque $U = 0$, l'hybridation conduit à un état final de largeur égale à :

$$\Delta = \pi \rho(E_F) |V_k|^2, \quad (3.25)$$

où $\rho(E_F)$ est la densité des électrons de conduction d'énergie de Fermi E_F de la bande de conduction. Pour le cas d'une impureté de transition, le niveau d a une énergie ε_d légèrement inférieure à l'énergie de Fermi E_F de la bande de conduction. Du fait de l'interaction coulombienne U , le nombre n_d d'électrons portés par les orbitales $3d$ doit être inférieur à 1. Lorsque l'hybridation V est importante, c'est à dire lorsque $\Delta > E_F - \varepsilon_d$, un état de valence intermédiaire est obtenu pour lequel on a alors n_d nettement inférieur à 1. Par contre, lorsque l'hybridation est suffisamment faible pour que $\Delta < E_F - \varepsilon_d$, on a alors $n_d < 1$, ce qui correspond à la limite Kondo du hamiltonien d'Anderson.

- *Modèle sd*

Le modèle d'échange sd fut le premier modèle introduit pour décrire l'interaction entre les électrons de conduction s du métal et les électrons d d'une impureté de transition caractérisée par son spin S . Les électrons de conduction n'intéragissent avec l'impureté que lorsqu'ils sont sur le site de celle-ci. Le modèle d'échange sd décrit donc le couplage entre des électrons de conduction et un spin localisé [67, 87]. L'hamiltonien s'écrit :

$$H_{sd} = - \sum_{kk'} J_{kk'} S \sum_{\sigma\sigma'} a_{k\sigma}^\dagger \sigma_{\sigma\sigma'} a_{k'\sigma'}, \quad (3.26)$$

où $a_{k\sigma}^\dagger$ est l'opérateur d'annihilation d'un électron de conduction de spin σ et de moment k , $a_{k'\sigma'}^\dagger$ est l'opérateur de création d'un électron de conduction de spin σ' et de moment k' , $J_{kk'}$ est le couplage d'échange entre le moment local de l'impureté et les électrons de conduction, S

Chapitre 3. Formalisme des propriétés magnétiques et hystérotiques des matériaux

est le spin localisé et σ le vecteur formé des trois matrices de Pauli

$$\sigma_x = \begin{pmatrix} 0 & 1 \\ 1 & 0 \end{pmatrix}, \quad \sigma_y = \begin{pmatrix} 0 & -i \\ i & 0 \end{pmatrix}, \quad \sigma_z = \begin{pmatrix} 1 & 0 \\ 0 & -1 \end{pmatrix}. \quad (3.27)$$

Par exemple, si $J_{kk'} \propto \delta_{kk'}$, la composante z de $\sum_{\sigma\sigma'} a_{k\sigma}^\dagger \sigma_{\sigma\sigma'} a_{k\sigma'}$ a pour valeur

$$\sum_{\sigma\sigma'} a_{k\sigma}^\dagger \sigma_{\sigma\sigma'}^z a_{k\sigma'} = a_{k\uparrow}^\dagger a_{k\uparrow} - a_{k\downarrow}^\dagger a_{k\downarrow} = n_{k\uparrow} - n_{k\downarrow}. \quad (3.28)$$

Ce terme décrit donc la polarisation de spin. Notons que les paramètres du hamiltonien sd sont reliés à ceux du hamiltonien d'Anderson par les relations de Schrieffer-Wolff :

$$J_{kk'} = \frac{V_k^* V_{k'}}{2} \left(\frac{1}{U + \epsilon_d - \epsilon_{k'}} + \frac{1}{\epsilon_k - \epsilon_d} \right). \quad (3.29)$$

3.2.2 Interaction magnétique dipolaire

La première interaction censée jouer un rôle crucial dans les phénomènes de magnétisme est l'interaction magnétique dipolaire [67, 69]. L'énergie des deux dipôles magnétiques μ_1 et μ_2 séparés par le vecteur r est donnée par :

$$E = \frac{\mu_0}{4\pi r^3} \left(\mu_1 \cdot \mu_2 - \frac{3}{r^2} (\mu_1 \cdot r) (\mu_2 \cdot r) \right), \quad (3.30)$$

Pour une estimation de cette énergie, nous choisissons des valeurs typiques avec $\mu_1 = \mu_2 = 1\mu_B$ et $r = 2\text{\AA}$. Nous trouvons :

$$E = \frac{\mu_0 \mu_B^2}{2\pi r^3} = 2.1.10^{-24} J. \quad (3.31)$$

La température correspondant ($E = kT$) est bien au-dessous de 1K. L'interaction magnétique dipolaire est trop faible pour provoquer le ferromagnétisme [67].

3.2.3 Interaction directe

- *Échange direct*

Pour un modèle simple avec seulement deux électrons qui présentent des vecteurs de position r_1 et r_2 , la fonction d'onde totale est composée du produit des fonctions d'onde de deux électrons $\psi_1(r_1)$ et $\psi_2(r_2)$. Par conséquent, le module carré de la fonction d'onde doit être invariant par échange des deux électrons. Puisque les électrons sont des fermions, le principe d'exclusion de Pauli doit être respecté, ce qui conduit à une fonction d'onde antisymétrique [67, 75]. Tenant en considération le spin des électrons, deux possibilités sont données : une partie spatiale symétrique en combinaison avec une partie de spin antisymétrique ou une partie spatiale anti-

3.3.2 Interactions magnétiques

symétrique en combinaison avec une partie de spin symétrique. Le premier cas représente un état singulet χ_S avec $S_{total} = 0$, le second cas présente un état triplet χ_T avec $S_{total} = 1$. Les fonctions d'onde totales correspondantes sont :

$$\begin{aligned}\psi_S &= \frac{1}{\sqrt{2}} (\psi_1(r_1) \psi_2(r_2) + \psi_1(r_2) \psi_2(r_1)) \cdot \chi_S, \\ \psi_T &= \frac{1}{\sqrt{2}} (\psi_1(r_1) \psi_2(r_2) - \psi_1(r_2) \psi_2(r_1)) \cdot \chi_T.\end{aligned}\quad (3.32)$$

Les énergies des états singulet et triplet s'élèvent à :

$$\begin{aligned}E_S &= \int \psi_S^* H \psi_S dr_1 dr_2, \\ E_T &= \int \psi_T^* H \psi_T dr_1 dr_2,\end{aligned}\quad (3.33)$$

en tenant compte des parties normalisées de spin des fonctions d'onde singulet et triplet :

$$S_{total}^2 = (S_1 + S_2)^2 = S_1^2 + S_2^2 + 2S_1 \cdot S_2. \quad (3.34)$$

où S_1 et S_2 sont les opérateurs de spin des deux électrons. Ainsi, nous obtenons :

$$\begin{aligned}S_1 \cdot S_2 &= \frac{1}{2} S_{total} (S_{total} + 1) - \frac{1}{2} S_1 (S_1 + 1) - \frac{1}{2} S_2 (S_2 + 1) \\ &= \frac{1}{2} S_{total} (S_{total} + 1) - \frac{3}{4} \quad \text{avec} \quad S_1 = S_2 = \frac{1}{2} \\ &= \begin{cases} -\frac{3}{4} & \text{pour } S_{total} = 0 \quad (\text{singulet}), \\ +\frac{1}{4} & \text{pour } S_{total} = 1 \quad (\text{triplet}). \end{cases}\end{aligned}\quad (3.35)$$

L'hamiltonien effectif s'exprime alors comme suit :

$$H = \frac{1}{4} (E_S + 3E_T) - (E_S - E_T) S_1 \cdot S_2. \quad (3.36)$$

Le premier terme est constant et souvent inclus dans d'autres contributions d'énergie. Le second terme, qui dépend du spin, joue un rôle important dans l'étude des propriétés ferromagnétiques [67].

En définissant la constante d'échange ou l'intégrale d'échange J par :

$$J = \frac{E_S - E_T}{2} = \int \psi_1^*(r_1) \psi_2^*(r_2) H \psi_1(r_2) \psi_2(r_1) dV_1 dV_2, \quad (3.37)$$

le terme dépendant du spin dans l'hamiltonien effectif dans l'équation (3.36) devient alors :

$$H_{spin} = -2JS_1 \cdot S_2. \quad (3.38)$$

Chapitre 3. Formalisme des propriétés magnétiques et hystérotiques des matériaux

Si l'intégrale d'échange J est positif alors $E_S > E_T$. Dans ce cas, l'état de triplet qui satisfait $S_{total} = 1$ est favorisé énergétiquement. Si l'intégrale d'échange J est négatif alors $E_S < E_T$, et c'est l'état de singulets avec $S_{total} = 0$ qui sera favorisé énergétiquement dans ce cas.

Contrairement à ce modèle simple qui considère seulement deux électrons, la réalité est plus complexe. Les atomes dans les systèmes magnétiques contiennent un grand nombre d'électrons [69]. L'équation de Schrödinger de ces systèmes à plusieurs corps ne peut être résolue que par des approximations. Si l'on ne prend en compte que les interactions d'échange entre premiers voisins, l'hamiltonien effectif peut être réécrit sous la forme suivante :

$$H = - \sum_{ij} J_{ij} S_i \cdot S_j, \quad (3.39)$$

avec J_{ij} étant la constante d'échange entre spin i et spin j . Le facteur 2 est inclus dans la somme. Souvent, une bonne approximation est donnée par :

$$J_{ij} = \begin{cases} J & \text{pour les spins plus proches voisins,} \\ 0 & \text{pour les autres.} \end{cases} \quad (3.40)$$

Généralement, J est positive pour les électrons du même atome et négative si les deux électrons appartiennent à différents atomes.

• **Effet Kondo**

L'interaction des électrons de conduction avec les impuretés magnétiques dans les métaux a été traitée pour la première fois par Kondo [87, 88]. L'effet Kondo se produit lorsque le spin d'une impureté magnétique se couple de façon antiferromagnétique aux spins des électrons de conduction d'un métal pour former un état singulets [89] comme illustré sur la figure (3.8).

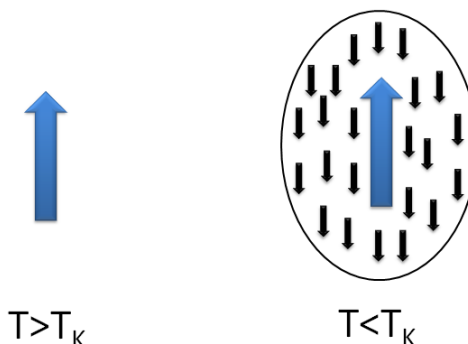


Figure 3.8 – Pour $T > T_K$, l'impureté magnétique est découpée des électrons de conduction. Pour $T < T_K$, les électrons de conduction et l'impureté magnétique interagissent de manière cohérente et forment le nuage de Kondo.

3.3.2 Interactions magnétiques

L'interaction de Kondo est exprimée sous la forme :

$$H_K = J_K \sum_{i,\alpha} \delta(r_\alpha - R_i) S_i \cdot s_\alpha, \quad (3.41)$$

où s_α représente le spin d'un porteur itinérant, S_i le spin de l'impureté au site i et R_i et r_α représentent respectivement les positions des impuretés magnétiques et celles des porteurs. La présence de la distribution de Dirac δ indique que cette interaction est locale. J_K est le couplage local entre le spin des porteurs de charge et celui d'une impureté occupant un site du réseau hôte. L'hamiltonien total minimal s'écrit comme la somme suivante :

$$H = H_0 + H_K, \quad (3.42)$$

où l'hamiltonien H_0 décrit les porteurs de charge dans le matériau hôte. La partie H_0 contient donc l'information relative à la structure de bande de l'hôte en absence d'impurité. À ce stade, il est important de noter que ce modèle est général [75].

À haute température, l'impureté magnétique se comporte comme un spin libre. Mais lorsque la température décroît en dessous d'une température caractéristique de l'alliage, appelée température de Kondo T_K , l'interaction de Kondo devient de plus en plus importante. L'impureté perd alors progressivement son caractère pour former à très basse température une impureté statique complètement non-magnétique. Cette transition lente et élargie de l'impureté d'un état magnétique vers un état non-magnétique ; s'exprime par une modification radicale des contributions de l'impureté à la plupart des propriétés électroniques de l'alliage, et en particulier par une modification importante de la diffusion électronique [88, 89].

3.2.4 Interaction indirecte

Selon le type des matériaux magnétiques considérés, nous distinguons différentes classes des interactions d'échange indirect.

- ***Interaction superéchange***

Ce type d'interaction d'échange indirect se produit dans les solides ioniques. L'interaction d'échange entre les ions magnétiques non-voisins s'effectue via l'intermédiaire d'un ion non-magnétique situé entre les deux. La distance entre les ions magnétiques doit être assez grande pour que l'échange direct puisse avoir lieu.

Un exemple de solide ionique antiferromagnétique est l'oxyde de manganèse MnO . Dans ce matériau, chaque ion Mn^{2+} présente 5 électrons dans sa couche d avec des spins tous parallèles en raison de la règle de Hund [67]. Les ions O^{2-} par contre possèdent des électrons qui

Chapitre 3. Formalisme des propriétés magnétiques et hystérotiques des matériaux

occupent entièrement les orbitales p . De ce fait, les spins sont tous alignés de façons antiparallèles. Il existe deux possibilités pour l'alignement des spins dans les atomes de Mn voisins ; un alignement parallèle qui conduit à un arrangement ferromagnétique ou un alignement antiparallèle qui mène à un arrangement antiferromagnétique. Cette dernière configuration est favorisée énergétiquement et induit une délocalisation des électrons impliqués en raison d'une diminution de l'énergie cinétique, comme le montre la figure (3.9).

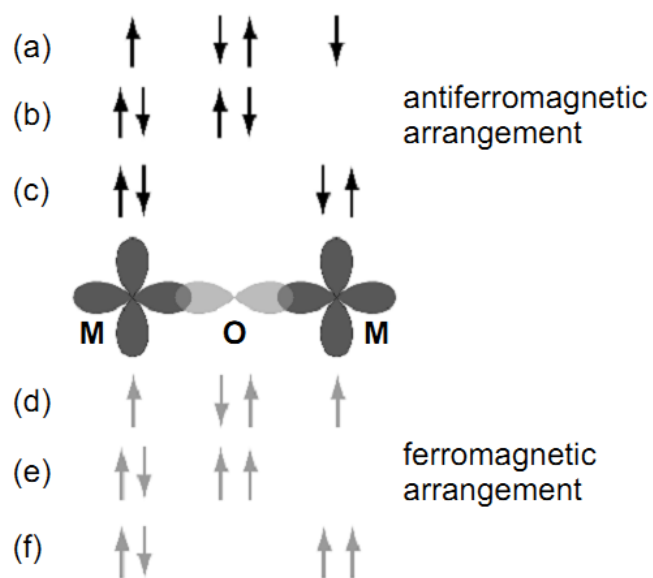


Figure 3.9 – Présence d'une interaction superéchange en un oxyde magnétique. Les flèches représentent les spins des électrons impliqués dans l'interaction entre le métal (M) et un atome d'oxygène (O) [69].

Dans le cas antiferromagnétique, les électrons avec leur état fondamental donné en (a) peuvent être échangés via les états excités indiqués en (b) et (c) menant à une délocalisation. Pour l'alignement ferromagnétique avec l'état fondamental correspondant présenté en (d), le principe d'exclusion de Pauli interdit les arrangements figurant dans (e) et (f). Ainsi, aucune délocalisation ne se produit [67]. Par conséquent, le couplage antiferromagnétique entre deux atomes de Mn est énergétiquement favorisé. Il est important que les électrons de l'atome d'oxygène se trouvent dans la même orbitale ; à ce titre, l'atome doit relier les deux atomes de Mn . Par ailleurs, les règles de Goodenough-Kanamori permettent de définir le type d'interactions entre les atomes si les configurations électroniques sont connues. Si les liaisons entre les ions de manganese et les ions d'oxygène font des angles d'environ 180° , l'interaction d'échange entre les ions magnétiques sera antiferromagnétique. Si les angles sont de 90° , les interactions seront ferromagnétiques.

Le superéchange n'est pas suffisant pour expliquer la présence de la métallicité dans les com-

3.3.2 Interactions magnétiques

posés à valence mixte tels que les manganites. En 1950, Jonker et Van Santen ont montré par des mesures d'aimantation et de résistivité le comportement ferromagnétique et métallique de certains composés dopés dérivés de $LaMnO_3$. En 1956, ils corrélaien la structure cristalline, la structure magnétique et les propriétés de transport à l'aide des interactions magnétiques proposées par Zener, dites de double échange.

- ***Interaction double-échange***

Le mécanisme de double-échange est un type d'échange magnétique qui peut surgir entre les ions dans différents états d'oxydation. Cette interaction apparaît entre les ions $3d$ ayant des électrons d localisés et délocalisés. Ce modèle ressemble superficiellement à l'interaction superéchange. Cependant, dans cette interaction, un alignement ferromagnétique ou antiferromagnétique se produit entre deux atomes avec le même nombre d'électrons de valence ; alors que l'interaction double-échange se produit uniquement lorsqu'un atome a un électron supplémentaire par rapport à l'autre [67].

En plus de l'interaction superéchange et de double-échange, une autre interaction peut être présente dans les matériaux antiferromagnétiques présentant un faible moment magnétique, il s'agit de l'interaction antisymétrique.

- ***Échange antisymétrique***

L'interaction antisymétrique connue aussi par interaction de Dzyaloshinskii-Moriya est, une correction relativiste du superéchange et sa force est proportionnelle à la constante de couplage spin orbite. La théorie Dzyaloshinskii-Moriya a été développée pour expliquer le faible moment magnétique présent dans des antiferromagnétiques telle que l'hématite αFe_2O_3 . L'interaction antisymétrique est proportionnelle au couplage spin orbite, est en général faible par rapport au superéchange magnétique [67, 90].

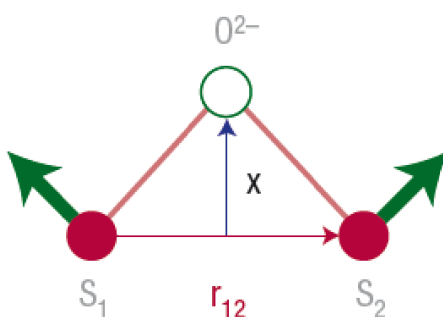


Figure 3.10 – Effet de l'interaction antisymétrique Dzyaloshinskii-Moriya.

Soit deux atomes magnétiques M_1 et M_2 portant chacun un spin séparé par un atome diamagnétique O en général un atome d'oxygène. L'hamiltonien du système peut alors s'écrire sous

Chapitre 3. Formalisme des propriétés magnétiques et hystérotiques des matériaux

la forme :

$$H = -D \cdot (S_1 \times S_2), \quad (3.43)$$

où D est le vecteur de Dzyaloshinskii qui est un vecteur constant parallèle à l'axe d'ordre 3 et S_1 et S_2 sont deux spins voisins non équivalents. Le vecteur Dzyaloshinskii D est proportionnel au couplage spin orbit, il s'écrit comme suit :

$$D \propto \lambda x \times r_{12}, \quad (3.44)$$

où r_{12} est le vecteur unitaire le long de la ligne connectant les ions magnétiques 1 et 2, x représente le déplacement de l'ion O par rapport à cette ligne comme montré sur la figure (3.10) et λ est le couplage spin orbit.

L'interaction antisymétrique est reliée à la symétrie du système et favorise l'alignement non colinéaire des moments magnétiques [67].

- ***Interaction RKKY***

L'interaction RKKY (Ruderman, Kittel, Kasuya, Yosida) se produit dans les métaux avec des moments magnétiques localisés. C'est une interaction d'échange indirect entre les spins de deux impuretés magnétiques, réalisée par l'intermédiaire des électrons de conduction du cristal dans lequel les impuretés sont introduites [67, 90]. L'interaction RKKY est une interaction très forte et à longue distance. L'hamiltonien de l'interaction RKKY est un hamiltonien d'échange entre le spin S_1 d'un premier moment magnétique local et le spin S_2 d'un second moment magnétique local. Il s'exprime comme suit :

$$H_{RKKY} = J_{RKKY}(r) \vec{S}_1 \vec{S}_2, \quad (3.45)$$

où J_{RKKY} est la constante de couplage de l'interaction RKKY. L'interaction RKKY est formulée par :

$$J_{RKKY}(r) \propto F(2k_F r), \quad (3.46)$$

où k_F est le nombre d'onde de Fermi et la fonction $F(r)$ qui dépend de la distance r séparant les deux moments magnétiques locaux prend la forme suivante :

$$F(r) = \frac{\sin r - r \cos r}{r^4}. \quad (3.47)$$

Ce type de couplage d'échange à longue portée et anisotrope se traduit souvent par des arrangements compliqués de spin. Il possède un comportement oscillant comme montré dans la figure (3.11).

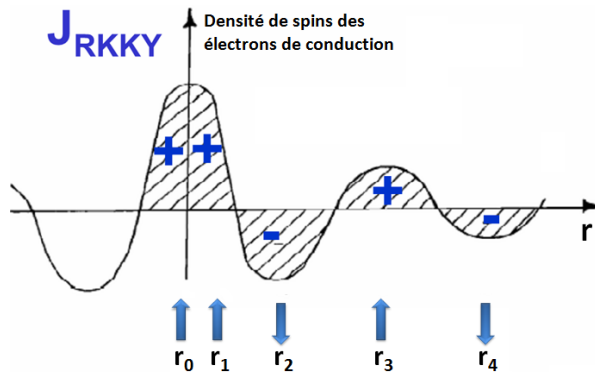


Figure 3.11 – Signe de la fonction de couplage J_{RKKY} et type de couplage en fonction de la position atomique r_i [38].

Par ailleurs, l’interaction RKKY et l’interaction Kondo ont un effet opposé. Si l’interaction Kondo tend à faire disparaître le magnétisme du système, via un écrantage des moments localisés par les électrons de conduction, l’interaction RKKY favorise l’échange entre les sites magnétiques et tend à faire apparaître un ordre magnétique [67] comme illustré dans la figure (3.12).

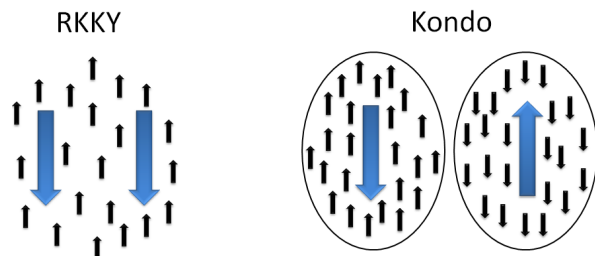


Figure 3.12 – À gauche : la polarisation des électrons de conduction engendre une interaction effective magnétique RKKY entre les spins localisés, ce qui peut conduire à un ordre magnétique. À droite, lorsque J domine, l’effet Kondo va former un singulet à partir d’un spin localisé et d’un nuage d’électrons de conduction ; cet état ne possède donc pas d’ordre magnétique.

3.3 Anisotropie magnétique

Si les interactions magnétiques déterminent les propriétés magnétiques des matériaux, l’anisotropie magnétique les modifie et les contrôle. En effet, les matériaux magnétiquement anisotropes ont des directions préférentielles pour être magnétisés connues par directions d’aimantation facile ou axes faciles. En absence du champ magnétique extérieur, les moments magnétiques d’un matériau anisotrope ont tendance à s’aligner le long de l’axe facile [76, 78, 91]. Ces directions d’aimantation facile sont données par les minima de l’énergie d’anisotropie magnétique, qui est une somme de plusieurs contributions. Dans les matériaux, l’énergie magnétocristal-

Chapitre 3. Formalisme des propriétés magnétiques et hystérotiques des matériaux

line et magnétostatique sont les principales sources d'anisotropie. Dans ce qui suit, nous allons décrire quelque types d'anisotropie.

3.3.1 Anisotropie de forme

L'anisotropie de forme appelée aussi énergie magnétostatique provient du champ démagnétisant ; ce dernier dépend de l'orientation de l'aimantation par rapport à la forme du matériau. La présence de ce champ démagnétisant rend anisotropes les propriétés magnétiques du matériau selon sa forme. En effet, lorsque le matériau est sphérique, l'énergie magnétostatique est nulle, mais elle prend des valeurs non négligeables si la symétrie n'est plus sphérique. Lorsque le matériau est un ellipsoïde allongé, la contribution de l'énergie magnétostatique peut être comparable ou d'un ordre de grandeur supérieur à l'énergie magnétocrystalline. Par conséquent, l'anisotropie de forme est une propriété extrinsèque des matériaux non sphériques [67].

3.3.2 Anisotropie magnétocrystalline

L'anisotropie magnétocrystalline est une propriété intrinsèque du matériau, car elle découle directement de l'interaction d'échange et de la symétrie du cristal. Cette anisotropie est causée par l'interaction spin-orbite. Ce couplage, qui est responsable de l'orientation des spins en fonction de la symétrie du réseau, tend à aligner les moments magnétiques le long des directions cristallographiques préférentielles. Il en résultent certains axes ou plans d'aimantation facile ou difficile. L'énergie magnétocrystalline est généralement faible par rapport à l'énergie d'échange. Cependant, la direction de l'aimantation est uniquement déterminée par l'anisotropie car l'interaction d'échange permet d'aligner les moments magnétiques parallèles ; peu importe la direction [92].

3.3.3 Anisotropie de surface

Les atomes de surface ont une symétrie inférieure comparée à celle des atomes au sein du matériau. Leur influence sur l'énergie de la particule peut dépendre de l'orientation de l'aimantation. Cela donne lieu à l'anisotropie de surface qui peut aussi être dépendante des impuretés adsorbées à la surface. L'ampleur de la contribution de la surface à l'énergie de l'anisotropie magnétique augmente avec la diminution de la taille des matériaux, en particulier, elle devient importante seulement pour des matériaux inférieurs à 10nm [67, 69].

3.3.4 Anisotropie magnétoélastique

L'énergie d'anisotropie magnétoélastique ou magnétostiction subsiste lors d'une déformation mécanique du matériau. Cette déformation change la direction de l'aimantation au sein

du matériau et induit donc une modification des propriétés magnétiques. L'existence d'une anisotropie magnétoélastique est essentiellement due au couplage spin-orbite [76].

3.4 Propriétés hystérotiques

3.4.1 Structure des domaines magnétiques

Les matériaux magnétiques possèdent des régions uniformément aimantées, qui présentent d'une part des moments magnétiques ordonnés au sein des domaines magnétiques connus aussi comme les domaines de Weiss, et d'autre part des moments magnétiques désordonnés dans différents domaines [68, 76, 78].

Ainsi, un matériau démagnétisé se compose de domaines ordonnés avec une aimantation totale nulle. Les interfaces entre ces domaines sont appelés parois des domaines magnétiques. Dans ce qui suit, nous allons présenter les principes physiques indispensables à la compréhension du comportement des domaines magnétiques et de leurs parois dans les systèmes macroscopiques.

• Domaines de Weiss

Les domaines de Weiss se forment dans des matériaux magnétiquement ordonnés tels les matériaux ferromagnétiques, antiferromagnétiques et ferrimagnétiques. Ces domaines de Weiss sont des régions avec le même ordre magnétique dans un matériau magnétique. Ils sont séparés par des parois de domaine [76, 91]. Les moments magnétiques dans un domaine s'alignent dans la même direction, et produisent une aimantation nette. Les aimantations des différents domaines ont des directions différentes.

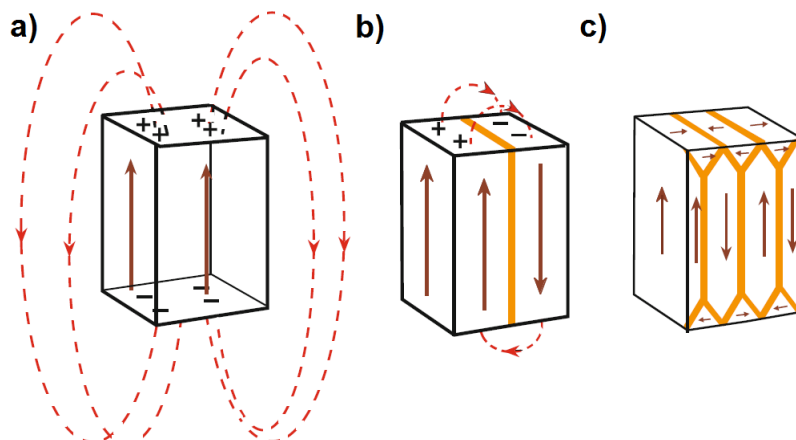


Figure 3.13 – Différentes structures de domaines pour un matériau ferromagnétique : (a) structure monodomaine, (b) structure possède deux domaines et (c) structure de domaines de fermeture [91].

Une structure monodomaine, comme représentée sur la figure (3.13-a), crée un champ ma-

Chapitre 3. Formalisme des propriétés magnétiques et hystérotiques des matériaux

gnétique et minimise les énergies d'échange et d'anisotropie mais l'énergie dipolaire est alors importante car les pôles sont éloignés les uns des autres. Pour réduire l'énergie dipolaire, le matériau peut se diviser en deux domaines avec une aimantation opposée (figure 3.13-b). Les lignes de champs forment une boucle d'un domaine à l'autre et son de direction opposée, réduisant le champ à l'extérieur du matériau. Pour réduire à nouveau le champ, chacun de ces domaines peut à nouveau se diviser, obtenant ainsi des domaines parallèles plus petits avec une aimantation dans diverses directions, ce qui supprime les pôles et donc le champ magnétique à l'extérieur du matériau, comme illustré sur la figure (3.13-c). Les structures de domaine de fermeture peuvent être formées pour minimiser l'énergie dipolaire [91]. En considérant le coût énergétique découlant de la formation des parois de domaines magnétiques, un équilibre entre l'énergie dipolaire et le coût énergétique des parois de domaines est atteint.

• Paroi magnétique

En magnétisme, la paroi de domaine est l'interface séparant les domaines magnétiques à l'intérieur de laquelle l'aimantation va tourner progressivement de la direction de l'aimantation d'un domaine à celle de l'aimantation de son voisin. L'énergie d'une paroi de domaine est simplement la différence entre les moments magnétiques avant et après la création de la paroi de domaine. Cette valeur est généralement exprimée en énergie par unité de surface de la paroi [68, 86].

La largeur de la paroi de domaine varie en raison des deux énergies opposées qui la créent, notamment l'énergie d'anisotropie magnétocristalline et l'énergie d'échange. Ces deux énergies ont tendance à être aussi faible que possible afin d'être dans un état énergétique plus favorable. L'énergie de l'anisotropie est minimale lorsque les moments magnétiques individuels sont alignés avec les axes du réseau cristallin réduisant ainsi la largeur de la paroi de domaine [67]. En revanche, l'énergie d'échange est réduite quand les moments magnétiques sont alignés parallèlement entre eux rendant la paroi de domaine plus épaisse en raison de leur répulsion.

Il existe deux types de parois de domaine selon l'angle que constituent deux aimantations de domaines voisins.

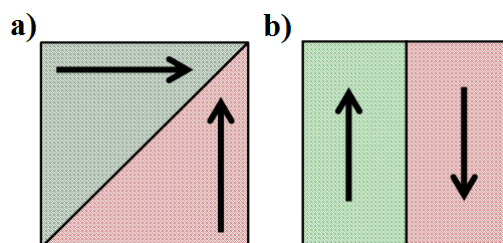


Figure 3.14 – a) Paroi de domaine à 90° et b) paroi de domaine à 180° [91].

Une paroi de domaine à 90° qui sépare deux domaines dans lesquels les aimantations forment un

3.3.4 Propriétés hystérotiques

angle qui peut être notablement différent de 90° , comme le montre la figure (3.14-a). La direction perpendiculaire d'une paroi de domaine correspond à la bissectrice entre les directions de l'aimantation des domaines adjacents. Une paroi de domaine à 180° qui sépare deux domaines dont les aimantations sont antiparallèles, comme illustré sur la figure (3.14-b). Une inspection plus minutieuse de ce type de parois de domaines à révèle que nous pouvons distinguer deux classes selon la structure cristallographique du matériau [67] :

- **Paroi de Bloch**

Dans une paroi de Bloch, la rotation de l'aimantation se produit dans un plan étant parallèle à celui de la paroi de domaine. Par ailleurs, l'aimantation peut tourner hélicoïdalement tout en étant perpendiculaire au plan de la paroi, comme indiqué sur la figure (3.15).

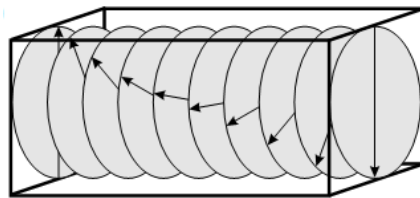


Figure 3.15 – Rotation de l'aimantation dans une paroi de Bloch [91].

Les parois de Bloch apparaissent dans les matériaux magnétiques dont la taille est considérablement plus grande que la largeur de la paroi de domaine. Dans ce cas, l'énergie de démagnétisation n'a pas d'impact sur la structure micromagnétique de la paroi [76].

- **Paroi de Néel**

Une paroi de Néel est une paroi dans laquelle la rotation du vecteur d'aimantation se déroule dans un plan perpendiculaire à celui de la paroi de domaine, comme le montre la figure (3.16).

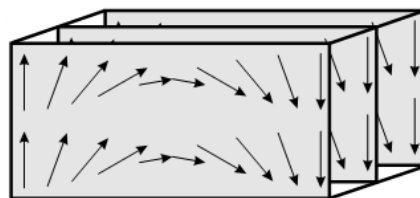


Figure 3.16 – Rotation de l'aimantation dans une paroi de Néel [91].

Une paroi de Néel est une paroi dans laquelle l'aimantation tourne en restant parallèle à la surface du matériau, comme illustré sur la figure (3.17). Elle se produit souvent dans les systèmes de couches minces ferromagnétiques [67].

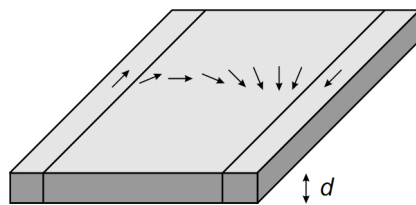


Figure 3.17 – La paroi de Néel est énergétiquement favorable dans les systèmes de couches minces présentant seulement une petite épaisseur d avec une aimantation dans le plan [91].

3.4.2 Cycles d'hystérosis

Les cycles d'hystérosis est l'une des caractéristiques les plus distinctives des matériaux magnétiques qui donnent la variation de l'aimantation en fonction du champ magnétique appliqué. Le cycle d'hystérosis est observé pour les matériaux ferromagnétiques et ferrimagnétiques au-dessous de leur température critique. Il découle du réarrangement des parois de domaines magnétiques dans le matériau. Dans ce qui suit, nous étudions en détail la courbe de première aimantation et le cycle d'hystérosis.

- **Courbe de première aimantation**

Lors de l'application d'un champ magnétique externe à un flux ferromagnétique initialement démagnétisé, l'aimantation nette augmente. À noter que le taux d'augmentation à une valeur de champ magnétique donnée dépend de nombreux facteurs. Parmi ces facteurs nous citons : l'orientation de champ externe par rapport à l'orientation de chaque domaine individuel, l'amplitude de l'aimantation spontanée, la structure défectueuse du matériau ainsi que l'anisotropie et la géométrie du matériau étudié.

La figure (3.18) présente la courbe de première aimantation d'un matériau polycristallin ferromagnétique [75, 78].

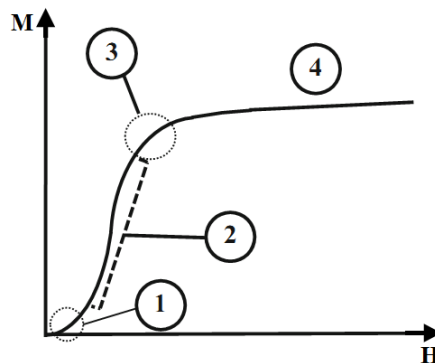


Figure 3.18 – Courbe de première aimantation.

Il est clair que la courbe comporte quatre régions notées 1, 2, 3 et 4.

3.3.4 Propriétés hystérotiques

- La région (1) est le début de la courbe où le déplacement des parois de Bloch séparant les domaines est réversible. Cette partie de la courbe montre une augmentation de l'aimantation lors de l'application d'un champ magnétique à un matériau démagnétisé. Toutefois, après la suppression du champ appliqué, l'aimantation macroscopique revient à sa valeur initiale zéro [75].
- Dans la région (2) de la courbe de première aimantation, le déplacement des parois de Bloch séparant les domaines sont irréversibles. L'aimantation nette augmente de telle sorte que les parois de domaine vont occuper de nouvelles positions et ne peuvent plus retrouver leur position initiale. Dans cette région, les déplacements des parois sont drastiques.
- Avec cette nouvelle augmentation du champ magnétique, la courbe d'aimantation atteint la région (3) qui commence avant la fin de la région de déplacement des parois de domaine irréversible, afin que les régions (2) et (3) se chevauchent. La région (3) est à la fois reconnue comme région de déplacement des parois de domaine irréversible et de rotation des aimantations des domaines. Dans cette région, l'aimantation nette augmente avec le champ appliqué.
- Pour de fortes excitations magnétiques, se produit une rotation des aimantations des domaines dans la direction du champ magnétique appliqué. Finalement, dans la région (4), l'aimantation du matériau se rapproche pour atteindre la saturation [75].

• Cycle d'hystérosis

Dans les matériaux ferromagnétiques, les courbes d'aimantation en terme du champ magnétique appliqué sont non linéaires à cause du changement dans la structure de domaine magnétique. Ces matériaux présentent le cycle d'hystérosis dans lequel l'aimantation M et le champ magnétique extérieur ont des comportements différents [76, 91].

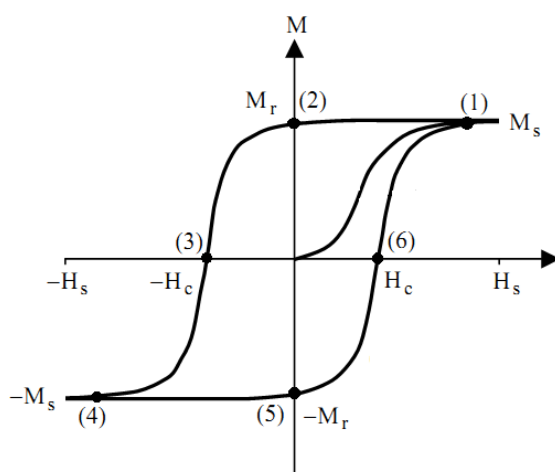


Figure 3.19 – Représentation d'un cycle d'hystérosis traduisant le retournement des parois séparant les domaines magnétiques.

Chapitre 3. Formalisme des propriétés magnétiques et hystérotiques des matériaux

En effet, M augmente avec le champ magnétique extérieur et ne revient pas à zéro après l'annulation du champ comme montré dans la figure (3.19) en partant de l'aimantation à saturation, nous distinguons six points différents :

- 1) Au point (1), tous les domaines magnétiques sont alignés dans le même sens que le champ magnétique appliqué.
- 2) En se déplaçant du point (1) au point (2), le champ magnétique se réduit à zéro. Le matériau garde une certaine aimantation dite rémanente même si le champ magnétique est nul.
- 3) Quand le champ est inversé, l'aimantation décroît jusqu'au point de coercivité (3), où elle s'annule.
- 4) En augmentant la valeur du champ magnétique dans le sens négatif, le matériau atteint à nouveau son aimantation à saturation dans le sens inverse au point (4).
- 5) En se déplaçant du point (4) au point (5), le champ magnétique se réduit à zéro et le matériau demeure aimanté sans champ magnétique extérieur.
- 6) En réaugmentant le champ magnétique dans le sens positif cette fois-ci, la courbe passe par le point de coercivité (6) où l'aimantation est nulle, pour enfin atteindre le point de saturation initial (1). On obtient ainsi le cycle d'hystérosis.

Les cycles d'hystérosis magnétiques ne relèvent que des matériaux ferromagnétiques et ferrimagnétiques. D'autres ordres magnétiques, tels que les verres de spin, présentent également ce comportement dans la courbe d'évolution de l'aimantation en fonction du champ magnétique extérieur [69].

3.4.3 Paramètres caractéristiques des cycles d'hystérosis

Le cycle d'hystérosis est un moyen pour caractériser les matériaux magnétiques. Il nous procure des informations sur l'aimantation à saturation M_s qui est une propriété magnétique intrinsèque des matériaux. Il nous fournit également deux propriétés extrinsèques qui sont l'aimantation rémanente M_r et le champ coercitif H_c . Ces deux propriétés dépendent de plusieurs facteurs extérieurs tel que la forme du matériau, la rugosité de surface, les défauts microscopiques et les propriétés thermiques sans oublier la variation de l'intensité du champ magnétique appliqué.

Dans ce qui suit, nous définissons brièvement les quatre paramètres caractéristiques des cycles d'hystérosis que nous retrouvons.

• Champ à saturation

Le champ à saturation est la valeur minimale du champ magnétique appliqué pour lequel l'aimantation du matériau atteint sa valeur à saturation [91].

• Aimantation à saturation

3.3.4 Propriétés hystérotiques

L'aimantation à saturation M_s correspond à la valeur maximale de l'aimantation du matériau, où tous les moments magnétiques sont parallèles au champ magnétique appliqué [91].

- **Aimantation rémanente**

L'aimantation rémanente M_r est l'aimantation résiduelle du matériau qui est obtenue en réduisant le champ de façon monotone à zéro après la saturation. Dans ce cas, une partie des moments magnétiques reste orientée dans la direction du champ appliqué du fait du blocage des parois de Bloch [91].

- **Champ coercitif**

Le champ coercitif est le champ qui doit être appliqué dans le sens opposé au champ à saturation, pour réduire l'aimantation à zéro afin de démagnétiser le matériau.

Ces propriétés auxquelles nous nous référons dans toutes les applications magnétiques sont très importantes [78].

3.4.4 Matériaux magnétiques durs et doux

Les matériaux ferromagnétiques et ferrimagnétiques peuvent également être classés en deux groupes selon la largeur de leur cycle d'hystérésis et la facilité avec lesquelles ils peuvent être magnétisés. En effet, quand nous traçons le cycle d'hystérésis d'un matériau ferromagnétique ou ferrimagnétique, une certaine quantité d'énergie est perdue sous forme de chaleur pendant le processus du mouvement des parois de domaines magnétiques [68, 75]. Ces pertes par hystérésis sont données par :

$$W = \int H.dM, \quad (3.48)$$

où H est le champ magnétique appliqué et M est l'aimantation du système. Nous constatons qu'elles sont proportionnelles à la surface du cycle d'hystérésis. Il s'ensuit que nous pouvons distinguer la surface du cycle d'hystérésis, les matériaux magnétiquement doux qui sont caractérisés par des petites surfaces de leur cycle d'hystérésis et les matériaux magnétiquement dur qui ont de grandes surfaces [67].

- **Matériaux durs**

Les matériaux magnétiques durs sont des matériaux ferromagnétiques ou ferrimagnétiques ayant un cycle d'hystérésis large et des valeurs élevées de champ coercitif et d'aimantation rémanente comme indiqué dans la figure (3.20).

Ces matériaux sont difficiles à magnétiser et à démagnétiser [68]. À ce titre, ils sont utilisés comme aimants permanents. Les dispositifs qui utilisent des aimants permanents sont de deux types principaux :

- Dans le premier type, les propriétés de l'aimant permanent sont utilisées pour générer un

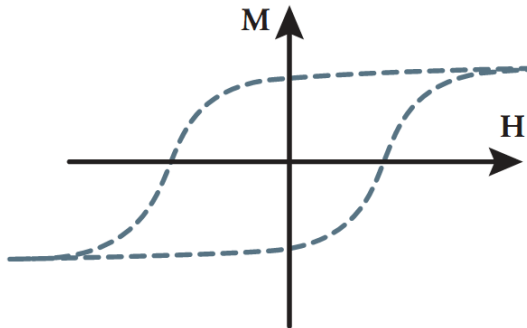


Figure 3.20 – Cycle d'hystérésis d'un matériau ferromagnétique dur.

champ magnétique, généralement dans un entrefer entre les pôles de l'aimant. Nous retrouvons ce type de matériau dans les haut-parleurs, les aimants de réfrigérateur, les instruments galvanométriques, les dynamos, les générateurs et les moteurs électriques. . . .

- Dans le deuxième type, le but est de générer une force entre l'aimant et une sorte d'armature mobile. Ce type de matériau est appliqué dans toutes sortes de dispositifs de levage et de serrage.

Il existe plusieurs types de matériaux magnétiques durs utilisés comme aimants permanents, parmi lesquels nous trouvons : les matériaux métalliques de type Alnico, les ferrites dures ou les matériaux intermétalliques. . . . Ces derniers sont de nos jours très présents sur le marché [93].

• Matériaux doux

Les matériaux ferromagnétiques ou ferrimagnétiques doux ont été développés avec des applications techniques, afin de permettre aux changements d'aimantation de se produire facilement dans les champs faibles [68, 93]. Ils sont caractérisés par un cycle d'hystérésis très étroit de petite surface, comme le montre la figure (3.21).

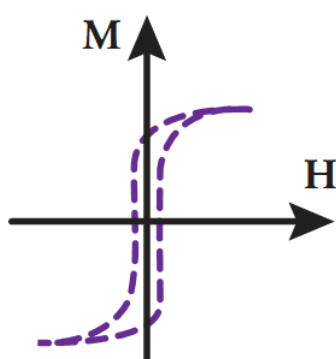


Figure 3.21 – Cycle d'hystérésis d'un matériau ferromagnétique doux.

3.3.4 Propriétés hystérotiques

Ces matériaux ont donc de petites pertes par hystérésis. Ils ont également une aimantation rémanente importante et un champ coercitif faible. Ces matériaux contiennent généralement moins d'impuretés et les parois de domaines magnétiques peuvent facilement être déplacées avec une petite quantité d'énergie. Par ailleurs, les matériaux doux sont faciles à magnétiser. Ils sont utilisés dans les bobines des transformateurs, les générateurs et les moteurs. Dans ces applications, l'aimantation doit être inversée plusieurs fois par seconde et il est important que l'énergie dissipée par cycle soit réduite au minimum. Les matériaux ferromagnétiques ou ferrimagnétiques doux sont composés des éléments principaux : fer, cobalt, nickel, magnésium, molybdène et silicium [75].

Dans ce chapitre, nous avons souligné le rôle important qui jouent les interactions d'échange directes ou indirectes dans l'apparition de l'ordre magnétique dans les matériaux. Nous avons également donner des classes de matériaux magnétiques selon la nature des interactions entre les constituants élémentaires ou selon la forme de la boucle d'hystérésis. Ainsi, avec tout les outils présentés dans les trois premiers chapitres, nous allons consacrer le dernier chapitre à nos contributions dans le domaine.

Chapitre 3. Formalisme des propriétés magnétiques et hystérotiques des matériaux

Chapitre 4

Contributions à l'étude Monte Carlo des propriétés magnétiques des nanomatériaux type graphyne et graphone

Ce chapitre est consacré à la présentation des résultats de nos contributions relatives à l'étude Monte Carlo des propriétés magnétiques des nanomatériaux type graphyne et graphone. Par défaut d'espace et pour ne pas alourdir le manuscrit, nous allons présenter les résumés de tous nos travaux de recherche dans le domaine, mais nous n'en exposerons que ceux déjà publiés dans des journaux internationaux. À ce titre, nous avons rassemblé nos travaux de recherche dans trois sections principales. Dans la première section, nous présentons les contributions traitant des propriétés magnétiques et hystérotiques des matériaux ferromagnétiques types graphone. Dans la deuxième section se trouvent deux de nos travaux de recherche où nous avons examiné les propriétés thermodynamiques et hystérotiques des matériaux cœur-coquille type nanoruban de graphène et type nanoparticule de graphyne. Finalement, la troisième section exhibe trois de nos publications où nous avons étudié dans les deux premières l'effet des défauts sur les propriétés magnétiques et hystérotiques des nanorubans des matériaux type graphène. Tandis que la troisième s'intéresse à l'étude de l'effet de surface sur le comportement de compensation d'un nanocube avec la morphologie surface-volume.

4.1 Matériaux ferromagnétiques type graphone

Depuis son isolation, le graphène suscite un immense intérêt dans la recherche scientifique et technologique, en raison de ses propriétés exotiques. La découverte de ce nouveau matériau a été une force motrice de la communauté scientifique pour synthétiser et caractériser de nouveaux matériaux ayant des morphologies similaires du fait de leurs propriétés uniques à

Chapitre 4. Contributions à l'étude Monte Carlo des propriétés magnétiques des nanomatériaux type graphyne et graphone

l'échelle nanométrique. Bien que le graphène ne soit pas magnétique, il est considéré parmi les matériaux des plus prometteurs en spintronique. En effet, les nanostructures à base de graphène, tel que le graphone, montrent des remarquables propriétés magnétiques aussi bien en pratique qu'en théorie. Le graphone est un semiconducteur ferromagnétique avec un petit gap indirect. Ce nouveau dérivé du graphène est issu de son hydrogénéation partielle. Il a été proposé théoriquement en 2012 et synthétisé en 2014. En outre, signalons que le magnétisme, dans ce dérivé de graphène, provient des électrons localisés sur les atomes de carbone non-hydrogénés. Le graphone est donc un candidat prometteur pour les nouvelles applications dans les domaines de la nanoélectronique et la spintronique.

Nous avons tenu compte de l'importance actuelle des matériaux à base de graphène, notamment le graphone, et du rôle qu'ils seront amenés à prendre dans le futur du fait de leurs propriétés exotiques et de leurs nombreuses applications dans le domaine de la nanotechnologie et de la spintronique. À ce titre, nous avons essayé modestement d'enrichir la liste des contributions dans ce domaine des nanomatériaux par deux travaux de recherche consécutifs.

4.1.1 Magnetic phase transitions in pure zigzag graphone nanoribbons

(J. Phys. Lett. A 379 (2015) 753-760)

- Résumé de la publication 1 :**

Dans cette publication, nous avons étudié les propriétés magnétiques et hystérotiques d'un nanoruban de graphone pur de type zigzag en utilisant la simulation Monte Carlo et le calcul de champ moyen. Dans ce travail, nous avons présenté une étude détaillée permettant de comprendre le comportement magnétique et hystérotique d'un nanoruban de graphone pur avec des bords de type zigzag. Signalons que le magnétisme, dans cette dérivée de graphène, provient des électrons localisés sur les atomes de carbone qui ne sont pas hydrogénés.

4.1.2 Edge effect on magnetic phases of doped zigzag graphone nanoribbons

(J. Magn. Magn. Mater. 374 (2015) 394-401)

- Résumé de la publication 2 :**

Dans ce papier, nous nous sommes basés sur deux outils très importants : la méthode Monte Carlo et la théorie de champ moyen afin d'investiguer les propriétés magnétiques des nanorubans de graphone. Nous avons présenté une alternative qui permet de contrôler le magnétisme dans

4.4.2 Matériaux cœur-coquille type nanoruban de graphène et type nanoparticule de graphyne

des nanorubans de graphone de type zigzag en introduisant des impuretés magnétiques dans différentes positions. Nous avons aussi examiné l'effet des positions et du nombre des atomes magnétiques substitués sur les transitions de phase des nanorubans de graphone de type zigzag dans trois cas différents : mono-, bi- et tri-dopé.

4.2 Matériaux cœur-coquille type nanoruban de graphène et type nanoparticule de graphyne

Au cours des dernières années, le phénomène de ferrimagnétisme a été l'un des sujets les plus étudiés en mécanique statistique et physique de la matière condensée, en raison de ses propriétés physiques intéressantes. En outre, l'existence éventuelle d'une température de compensation sous certaines conditions rend les matériaux ferrimagnétiques très prometteurs pour des applications technologiques importantes dans le domaine de l'enregistrement thermo-optique. D'autre part, les résultats intéressants obtenus à partir des études théoriques des systèmes magnétiques nanostructurés ont ouvert un nouveau champ à la recherche des phénomènes magnétiques critiques à l'échelle nanométrique. En effet, un intérêt tout particulier est porté aux nanostructures avec la morphologie cœur-coquille. Ce genre de système revêt des comportements magnétiques importants et inhabituels. Dans cette section, nous présentons les résumés de nos deux contributions ainsi que les contenus de ces deux articles dont le résultat met en évidence les propriétés magnétiques et hystérotiques intéressantes de matériaux avec la morphologie cœur-coquille.

4.2.1 Monte Carlo study of magnetic behavior of core-shell nano-ribbon

(J. Magn. Magn. Mater. 374 (2015) 639-646)

- Résumé de la publication 3 :**

Dans cette publication, nous avons considéré les propriétés magnétiques et hystérotiques d'un nanoruban ferrimagnétique avec la morphologie cœur-coquille. Ce genre de système présente des comportements magnétiques importants et inhabituels. Ainsi, nous avons analysé l'état fondamental ainsi que les diagrammes de phase de ce système. Nous avons montré l'existence d'une température de compensation de très haute importance dans le stockage d'information et plus particulièrement dans l'enregistrement thermo-optique. Nous avons même spécifié l'effet des valeurs du couplage du cœur et de la coquille ainsi que le couplage intermédiaire sur la température de compensation, tout en donnant explicitement les conditions permettant son

apparition dans notre système.

4.2.2 Graphyne core/shell nanoparticles : Monte Carlo study of thermal and magnetic properties (Submitted, (2016))

- Résumé de la publication 4 :**

Dans ce papier, notre objectif principal consistait à l'étude des propriétés magnétiques et hystérétiques d'une nanoparticule cœur-coquille avec une structure crystallographique semblable au graphyne. Pour ce faire, nous avons utilisé la simulation Monte Carlo. Nous avons examiné les effets des paramètres de l'hamiltonien sur les propriétés magnétiques et thermodynamiques du système, à savoir : l'aimantation totale, la susceptibilité, les cycles d'hystérisis et la température de compensation. Par ailleurs, nous avons examiné l'état fondamental, ainsi que les diagrammes de phase de ce système. À ce titre, nous avons noté l'apparition de deux points de compensation, ainsi que l'existence de deux nouveaux type de compensation. Ceux-ci n'ont pas été classifiés dans la nomenclature du Néel plus les types Q , P et N . L'étude des propriétés hystérétiques a révélé que la nanoparticule cœur-coquille de type graphyne présente des cycles simples et triples avec diverses formes.

4.3 Effet des défauts et de surface sur les propriétés magnétiques des nanomatériaux

Les nanomatériaux font l'objet d'un intérêt grandissant grâce à leurs propriétés singulières, vis-à-vis des matériaux massifs correspondants, qui les rendent très attractifs pour de nombreuses applications en optoélectronique, électronique, magnétisme etc. Le développement de ces applications nécessite une parfaite connaissance de leurs structures. Par ailleurs, comme dans tous les matériaux, les défauts de structures sont inévitables et affectent leurs propriétés. Les défauts connus, concernant les matériaux structurés en nids d'abeille peuvent se présenter sous la forme, soit de site vacant, soit des défauts de type Stone-Wales correspondent à la transformation de quatre hexagones en deux pentagones et deux heptagones par rotation à 90° d'une liaison. Tous ces défauts peuvent coexister sur différents plans et migrer sous l'effet de la température.

Outre l'effet de défaut structurels, la morphologie des matériaux affecte aussi leurs propriétés magnétiques. En effet, les nanomatériaux dans leurs différentes morphologies, présentent

4.4.3 Effet des défauts et de surface sur les propriétés magnétiques des nanomatériaux

de nombreuses propriétés magnétiques intéressantes, dont l'existence d'une température de compensation, caractéristique de ces nanostructures. Par ailleurs, plusieurs matériaux avec la morphologie surface-volume, montrent que les propriétés magnétiques des surfaces diffèrent considérablement de celles du volume auquel elles sont couplées, conduisant ainsi à des nouvelles propriétés.

Dans cette section, et faisant suite aux développements récents en physique des nanomatériaux, nous étalons trois articles de recherche qui s'intéressent particulièrement à l'étude de l'effet des défauts et de surface sur les propriétés magnétiques des nanomatériaux.

Le premier présente l'étude des défaut Stone-Wales sur les propriétés magnétiques et hystérotique des matériaux mixtes à base moléculaire qui ont provoqué récemment un considérable intérêt dans leur synthèse et l'étude de leurs propriétés magnétiques et qui offrent la possibilité de créer des nouvelles architectures de réseaux. Comparés à ceux du métal classique et métal-oxyde, ces types de matériaux ont l'avantage d'être obtenus à travers une sélection de sources appropriée de spin, comme des ions de métaux de transition et des radicaux organiques. Le domaine émergent du magnétisme moléculaire, constitue une nouvelle branche de la science des matériaux, qui traite des propriétés magnétiques des molécules ou des assemblages de molécules. L'intérêt croissant pour la compréhension de l'origine de l'ordre magnétique dans ces matières, est d'obtenir de nouveaux matériaux magnétiques moléculaires avec une température de transition très élevée. Ainsi, plusieurs familles des matériaux à base moléculaire ont été examinées au cours des deux dernières décennies. Parmi ces matériaux, se trouvent des systèmes mixtes de type $AFe^{II}Fe^{III}(C_2O_4)_3$, qui ont fait l'objet de nombreuses recherches, depuis leur première synthèse par diffraction des rayons X. Les matériaux à base moléculaire de type $AFe^{II}Fe^{III}(C_2O_4)_3$ ($A = N(n - C_nH_{2n+1})_4, n = 3 - 5$) ont une structure en nid d'abeille en couches. Dans chaque couche, les atomes magnétiques Fe^{II} et Fe^{III} sont couplés avec des ions oxalates $C_2O_4^{2-}$ pour former une structure hexagonale à deux dimensions ; tandis que les cations A^+ sont positionnés entre les couches. Les matériaux à base moléculaire de type $AFe^{II}Fe^{III}(C_2O_4)_3$ peuvent être décrits par des systèmes de spin d'Ising mixtes. Ils ont engendré un immense intérêt, car ils présentent de nombreux phénomènes qui ne peuvent pas être observés dans leurs homologues avec un seul type de spin.

Le deuxième article traite l'effet des sites vacants sur les propriétés thermodynamiques du nanoruban FeS_2 , qui a fourni des opportunités uniques pour visualiser les interactions du fer avec les chalcogènes, qui présentent un immense intérêt. Ce nouveau matériau est un métal ferromagnétique en nid d'abeille où les moments magnétiques sont situés à l'orbitale des atomes de fer. L'analyse des propriétés magnétiques a révélé que FeS_2 est un bon candidat pour les applications de la spintronique.

Le troisième article concerne l'étude de l'effet de surface sur un nanocube avec la morphologie surface-volume.

4.3.1 Stone-Wales defected molecular-based $AFe^{II}Fe^{III}(C_2O_4)_3$ nanoribbons : Thermal and magnetic properties (In preparation)

- Résumé de la publication 5 :**

Dans cette publication, les propriétés magnétiques et hystérétiques du nanoruban de type $AFe^{II}Fe^{III}(C_2O_4)_3$ avec des défauts de Stone-Wales ont été examinées à l'aide de la simulation Monte Carlo. Plus précisément, nous nous sommes intéressés à l'effet du nombre et de la position des défauts de Stone-Wales sur les quantités thermodynamiques qui décrivent ce système. Parmi les principaux résultats obtenus lors de notre analyse, nous avons montré l'apparition de la température de compensation qui présente une importance essentielle dans les applications technologiques. Nous avons également trouvé que la température de compensation et la température critique dépendent du nombre de défauts de Stone-Wales et des effets de bords. L'étude des propriétés hystérétiques a révélé l'apparition des cycles d'hystéresis présents sous différentes formes et avec un nombre élevé de pas.

4.3.2 Monte Carlo study of edge effect on magnetic and hysteretic behaviors of sulfur vacancy defected zigzag FeS_2 nanoribbon (In preparation)

- Résumé de la publication 6 :**

Dans cette contribution, dont nous ne donnerons que le résumé, nous avons utilisé la méthode Monte Carlo pour examiner en détail l'effet des sites vacants de soufre sur les propriétés magnétiques et hystérétiques des nanorubans de FeS_2 . Nous avons recherché en particulier la dépendance en température de l'aimantation et de la susceptibilité. Nous avons aussi concentré notre attention sur l'effet du nombre et de la position des sites vacants de soufre sur le comportement thermodynamique et les caractéristiques hystérétiques du système. Puis nous avons déterminé la température critique de toutes les configurations des nanorubans de FeS_2 avec les sites vacants de soufre. Un certain nombre de comportements caractéristiques ont été trouvés. Plus précisément, nous avons montré l'apparition des boucles d'hystéresis carrées.

4.4.3 Effet des défauts et de surface sur les propriétés magnétiques des nanomatériaux

4.3.3 Surface effect on compensation and hysteretic behavior in surface/bulk nanocube (Submitted, (2016))

- Résumé de la publication 7 :**

Dans ce papier, nous nous sommes attachés à l'étude de l'effet de la surface sur les propriétés magnétiques et hystérétiques d'un nanocube avec la morphologie surface-volume en utilisant la simulation Monte Carlo. Nous avons rapporté les effets des champs magnétiques et cristallins ainsi que les couplages intermédiaires et le couplage de volume, la température et la taille sur le diagramme de phase, l'aimantation, la susceptibilité, les cycles d'hystérésis, la température critique et la température de compensation du modèle. Cette étude a démontré un certain nombre de comportements caractéristiques, tels que l'existence de comportement de type Q et N dans la classification de Néel et aussi l'apparition des boucles d'hystérésis simples et triples avec un nombre élevé de pas.

Conclusion générale et perspectives

De nos jours, les matériaux magnétiques sont devenus omniprésents et indispensables dans notre vie quotidienne en raison de leur capacité à guider le flux magnétique et à mémoriser l'information. Pour les optimiser et les fabriquer, il est nécessaire de comprendre leur structure et leur comportement. Intéressés par ce domaine de recherche pertinent, nous avons consacré ce mémoire de thèse à l'étude des propriétés magnétiques des nanomatériaux type graphyne et graphone par la méthode Monte Carlo. Pour ce fait, nous avons présenté les approximations de la physique statistique telles que : l'approximation du champ moyen, l'approximation du champ effectif et la méthode de la matrice de transfert. Ces méthodes sont cruciales dans la détermination des propriétés critiques des systèmes considérés.

Dans ce manuscrit, qui comporte quatre chapitres en plus d'une introduction générale, nous avons consacré tout un chapitre à nos travaux de recherche et nos récents résultats obtenus dans le domaine. Plus précisément, ce volet présente nos études par la méthode Monte Carlo et la théorie du champ moyen des différentes propriétés magnétiques et hystérotiques des nouveaux matériaux vu leur intérêt et leur importance dans le domaine de la matière condensée et de la nanotechnologie. Cette conclusion générale présente un bilan condensé des idées clés développées dans ce manuscrit.

Récemment, les chercheurs de la matière condensée se sont intéressés aux matériaux à base de graphène en raison de leur propriétés physiques fascinantes. Dans ce cadre, nous avons contribué avec une étude des propriétés magnétiques et hystérotiques des nanorubans de graphone. Nous avons utilisé la simulation Monte Carlo et la théorie du champ moyen, qui sont considérés comme des outils cruciaux dans l'approche des phénomènes magnétiques et critiques. Ces méthodes permettent d'examiner de manière simple et rigoureuse les propriétés magnétiques et hystérotiques du système.

La substitution d'un atome de carbone par un atome magnétique portant un spin 3/2 dans

le nanoruban de graphone mène à différentes propriétés thermodynamiques. En utilisant à la fois la méthode Monte Carlo et la théorie du champ moyen, nous avons calculé l'aimantation, la susceptibilité et la température de transition des nanorubans de graphone de type zigzag dans trois cas différents : mono-dopé, bi- dopé et tri-dopé. Nous avons montré une alternative qui permet de contrôler le magnétisme dans des nanorubans de graphone de type zigzag, en fonction de la position et du nombre des impuretés magnétiques dans le nanoruban.

Encouragés par l'importance des nanomatériaux dans les applications de la nanotechnologie, nous avons construit un nouveau modèle de nanoruban ferrimagnétique avec la morphologie cœur-coquille. Dans ce cadre, nous avons analysé l'état fondamental ainsi que les diagrammes de phase de ce système en utilisant la simulation Monte Carlo. Nous avons étudié les propriétés magnétiques et hystérotiques du cœur-coquille nanoruban qui ont révélé l'occurrence de la température de compensation. Cette dernière est d'une importance capitale pour le stockage de l'information et en particulier dans l'enregistrement thermo-optique.

Nous avons également examiné les propriétés magnétiques et hystérotiques de nanoparticule cœur-coquille type graphyne. Plus particulièrement, nous nous sommes intéressés à l'effet des paramètres de l'hamiltonien sur le comportement de compensation. Nous avons montré l'apparition de deux points de compensation, ainsi que l'existence de deux nouveaux type de l'aimantation, qui n'ont pas été classifiés dans la nomenclature du Néel plus les types Q , P et N .

Dans cette présente étude, un intérêt particulier a été apporté à l'effet de la morphologie des nanomatériaux sur leur propriétés thermodynamiques. Dans ce contexte, nous avons étudié l'effet de surface sur un nanocube avec la morphologie surface-volume. Nous avons examiné l'état fondamental, ainsi que les diagrammes de phase de ce système. Cette étude a révélé à un certain nombre de comportements caractéristiques, tels que l'existence de comportement de type Q et N dans la classification de Néel et aussi l'apparition des boucles d'hystérosis simples et triples avec un nombre élevé de pas.

Par ailleurs, nous avons présenté dans ce mémoire de thèse des facettes de l'évolution de toutes les études précitées en mettant l'accent sur quelques développements récents et certains résultats inattendus.

De tout ce qui prélude, il est clair que grâce aux développements rapides qu'ont connus les nouveaux matériaux, les matériaux à base de graphène et les nanoparticules ferrimagnétiques demeurent des sujets de recherche d'actualité majeurs. Plusieurs obstacles sont encore à franchir, diverses clés demeurent perdues et de nombreuses questions sans réponses émergent dont les études pourront faire l'objet de développements ultérieurs. Ceci nous a motivé à lancer de futures perspectives. En effet, nous envisageons d'aller plus loin dans ce domaine, d'es-

Conclusion générale et perspectives

sayer d'autres méthodes et codes utilisés par la communauté scientifique. Il serait également intéressant d'examiner différentes propriétés et caractéristiques des nanomatériaux qui sont primordiales dans les domaines industriels et commerciaux des nanotechnologies.

Bibliographie

- [1] E. M. Purcell et D. J. Morin, Electricity and Magnetism, Cambridge University Press, 2013.
- [2] S. M. Walker, Magnetism, Lerner Publications, 2005.
- [3] D. Givord, Introduction to magnetism and magnetic materials, Springer Berlin Heidelberg, 2001.
- [4] H. Brune, H. Ernst, A Grunwald, W Grunwald, W. Hofmann et H. Krug, Nanotechnology : assessment and perspectives, Springer Science Business Media, 2006.
- [5] A. S. Edelstein et R. C. Cammaratra, Nanomaterials : synthesis, properties and applications, CRC Press, 1998.
- [6] Q. Peng et al., Nanotechnology, science and applications 7 (2014) 1.
- [7] M. Keskin et M. Ertas, Phys. Rev. E 80 (2009) 061140.
- [8] Z. Guo et L. Tan, Fundamentals and applications of nanomaterials, Artech House, 2014.
- [9] C. Ataca, H. Sahin et S. Ciraci, J. Phys. Chem. C 116 (2012) 8983.
- [10] R. Honmura et T. Kaneyoshi, J. Phys. C 12 (1979) 3979.
- [11] T. Kaneyoshi, I. P. Fittipaldi, R. Honmura et T. Manbe, Phys. Rev. B 24 (1981) 481.
- [12] T. Kaneyoshi, Z. Phys. 60 (1985) 35.
- [13] H. B. Callen, Phys. Lett. 4 (1963) 161.

Bibliographie

- [14] P. J. Baxter, Exactly solved models in statistical mechanics, Academic Press, London and San Diego, 1982.
- [15] K. G. Wilson, Phys. Rev. B 4 (1971) 3184.
- [16] D. P. Landau et K. Binder, A Guide to Monte Carlo Simulations in Statistical Physics, Cambridge University Press, 2009.
- [17] M. E. J. Newman et G. T. Barkema, Monte Carlo Methods in Statistical Physics, Oxford University press, 2002.
- [18] L. Laurencelle, Hasard nombres aléatoires et méthode Monte Carlo, Presses de l'université du Québec, 2001.
- [19] K. Binder et D. W. Heermann, Monte Carlo Simulation in Statistical Physics, An Introduction, Springer, 2010.
- [20] G. S. Fishman, Monte Carlo Concepts, Algorithms, and Applications, Springer, 2013.
- [21] A. P. J. Jansen, An introduction to kinetic Monte Carlo simulations of surface reactions, Springer, 2012.
- [22] U. Burghaus, A Practical Guide to Kinetic Monte Carlo Simulations and Classical Molecular Dynamics Simulations, Nova Science Publishers, 2006.
- [23] M. H. Kalos et P. A. Whitlock, Monte Carlo Methods, WILEY-VCH Verlag GmbH & Co. KGaA, Weinheim, 2008.
- [24] G. L. Trigg, Mathematical Tools for Physicists, Wiley-VCH, 2005.
- [25] B. James Anderson, Quantum Monte Carlo Origins, Development, Applications, Oxford University press, 2007.
- [26] Y. Dodge et G. Melfi, Premiers pas en simulation, Springer, 2008.
- [27] M. P. Allen et D. J. Tildesley, Computer Simulation of Liquids, Oxford University Press, 1991.
- [28] R. Y. Rubinstein et D. P. Kroese, Simulation and the Monte Carlo method, Wiley-Interscience, 2008.
- [29] W. L. McMillan, Phys. Rev. 138 (1965) 442.

Bibliographie

- [30] D. M. Ceperley et B. J. Alder, Phys. Rev. Lett. 45 (1980) 566.
- [31] D. M. Ceperley et B. J. Alder, Science 231 (1986) 555.
- [32] M. H. Kalos, Phys. Rev. 128 (1962) 1791.
- [33] M. H. Kalos, D. Levesque et L. Verlet, Phys. Rev. A 9 (1974) 2178.
- [34] D. M. Ceperley, Reviews of Modern Physics 67 (1995) 279.
- [35] C. Gaetan et X. Guyon, Modélisation et statistique spatiales, Springer, 2011.
- [36] B. A. Berg, Markov Chain Monte Carlo Simulations and Their Statistical Analysis, World Scientific, 2004.
- [37] M. Blume, V. J. Emery et R. B. Griffiths, Phys. Rev. A 4 (1971) 1071.
- [38] S. Krinsky et D. Furman, Phys. Rev. B 11 (1975) 2602.
- [39] W. S. Kendall, F. Liang et J. S. Wang, Markov Chain Monte Carlo Innovations and Applications, World Scientific Publishing, 2005.
- [40] L. M. Sobol, A Primer for the Monte Carlo Method, CRC Press, 1994.
- [41] W. Krauth, Statistical Mechanics Algorithms and Computations, Oxford University Press, 2006.
- [42] I. T. Dimov, Monte Carlo methods for applied scientists, World Scientific, 2008.
- [43] A. B. Bortz, M. H. Kalos et J. L. Lebowitz, Journal of Chemical Physics 17 (1975) 10.
- [44] U. Wolff, Phys. Rev. Lett. 62 (1989) 361.
- [45] R. H. Swendsen et J. S. Wang, Phys. Rev. Lett. 58 (1987) 86.
- [46] F. Niedermayer, Phys. Rev. Lett. 61 (1988) 2026.
- [47] W. Greiner, L. Neise et H. Stocker, Thermodynamics and Statistical Mechanics, Springer, 1997.
- [48] M. L. Bellac, Quantum and Statistical Field Theory, Clarendon Press Oxford, 1991.
- [49] T. Guénault, Statistical Physics, Springer, 2007.

Bibliographie

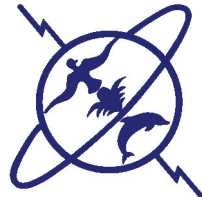
- [50] F. Jedrzejewski, *Modèles Aléatoires et Physique Probabiliste*, Springer, 2009.
- [51] J. J. Binney, N. J. Dowrick, A. J. Fisher et M. E. J. Newman, *The Theory of Critical Phenomena : An Introduction to the Renormalization Group*, Oxford University Press, 1992.
- [52] J. Cardy, *Scaling and Renormalization in Statistical Physics*, Cambridge University Press, 1996.
- [53] J. S. Blundell et K. M. Blundell, *Concepts in Thermal Physics*, Oxford University Press, 2008.
- [54] J. M. Yeomans, *Statistical Mechanics of Phase Transitions*, Oxford University Press, 1992.
- [55] J. Zinn-Justin, *Quantum Field Theory and Critical Phenomena*, Oxford University Press, 1996.
- [56] R. Honmura et T. Kaneyoshi, *Prog. Theor. Phys.* 60 (1978) 635.
- [57] R. Honmura et T. Kaneyoshi, *J. Phys. C : Solid St. Phys.* 11 (1978) 973.
- [58] N. Boccara, *Phys. Lett. A* 94 (1983) 185.
- [59] R. Honmura et T. Kaneyoshi, *J. Phys. C : Solid State Phys.* 12 (1979) 3979.
- [60] H. B. Callen, *Phys. Lett.* 4 (1963) 161.
- [61] N. Matsudaira, *J. Phys. Soc. Jpn.* 35 (1973) 1593.
- [62] T. Kaneyoshi et H. Beyer, *J. Phys. Soc. Jpn.* 49 (1980) 1306.
- [63] T. Kaneyoshi, *Acta Phys. Pol. A* 83 (1993) 703.
- [64] A. Bobak et M. Jaščur, *Phys. Status Solidi B* 135 (1986) K9.
- [65] J. O. Indekeu, A. Maritan et A. L. Stella, *Phys. Rev. B* 35 (1987) 305.
- [66] R. A. Horn et C. A. Johnson, *Matrix analysis*, Cambridge University Press, 1985.
- [67] W. Nolting et A. Ramakanth, *Quantum Theory of Magnetism*, Springer, 2009.
- [68] J. Crangle, *Solid-State Magnetism*, Springer, 2012.
- [69] M. Getzlaff, *Fundamentals of Magnetism*, Springer, 2008.

Bibliographie

- [70] D. J. Griffiths, Introduction to Quantum Mechanics, Prentice Hall, New Jersey, (1995).
- [71] W. Greiner, Quantum Mechanics, An Introduction, Springer, Berlin, (1994).
- [72] H. Gotoh, Y. Takeda, H. Asano, J. Zhong, A. Rajanikanth et K. Hono, Appl. Phys. Express 2 (2009) 013001.
- [73] V. Vleck, Theory of Electric and Magnetic Susceptibilities, Oxford University Press, Oxford, (1965).
- [74] E. C. Stoner, Proc. R. Soc. Lond. A 165 (1938) 372.
- [75] J. M. D. Coey, Magnetism and Magnetic Materials, Cambridge University Press, 2010.
- [76] R. Thompson, Environmental magnetism, Springer, 2012.
- [77] D. D. Stancil, Springer, 1993.
- [78] K. H. J. Buschow et F. R. de Boer, Physics of Magnetism and Magnetic Materials, New York : Kluwer Academic/Plenum Publishers, 2003.
- [79] K. E. Geckeler et H. Nishide, Advanced nanomaterials, John Wiley and Sons, 2009.
- [80] D. Gubbins et E. H. Bervera, Encyclopedia of geomagnetism and paleomagnetism, Springer, 2007.
- [81] C. Kittel, Introduction to solid state physics, Wiley, 2005.
- [82] J. Bigot, W. Hubner, T. Rasing et R. Chantrell, Ultrafast Magnetism I, Springer, 2015.
- [83] A. Goldman, Modern ferrite technology, Springer, 2006.
- [84] H.E. Landsberg, Advances in geophysics, Academic Press, 1965.
- [85] L. Néel, Ann. Phys. 3 (1948) 137.
- [86] J. Strecka, Physica A 360 (2006) 379.
- [87] B. Giovannini, Cours de physique du solide avancée *III & IV* Propriétés électroniques des métaux, 2002.
- [88] L. Kouwenhoven et L. Glazman, Revival of the Kondo effect, Physics world, 2001.
- [89] A. C. Hewson, The Kondo Problem to Heavy Fermions, Cambridge University Press, 1997.

Bibliographie

- [90] L. B Drissi, A. Benyoussef, E. H Saidi et M. Bousmina, J. Magn. Magn. Mater. 323 (2011) 3001.
- [91] C. Stefanita, Magnetism Basics and Applications, Springer, 2012.
- [92] D. D. Stancil, Theory of Magnetostatic Waves, Springer, 2012.
- [93] F. Paolo, Networks and Devices Using Planar Transmission Lines, CRC Press, 2000.



N° d'ordre : 2845

DOCTORAT

Résumé de la Thèse

Discipline :	Physique
Spécialité :	Physique Mathématique
Laboratoire :	Physique des Hautes Energies, Modélisation et Simulation
Responsable du laboratoire :	El Hassan SAIDI
Période d'accréditation :	2013-2016

Titre de la thèse : **Contributions à l'étude Monte Carlo des propriétés magnétiques des nanomatériaux type graphyne et graphone**

Prénom, Nom : **Sanae ZRIOUEL**

Résumé :

Attirés par l'importance de nouveaux matériaux dans le domaine des nanotechnologies, cette thèse développe cet axe de recherche tout en approfondissant les résultats. Nous avons commencé par introduire les méthodes de simulation et de calcul les plus sophistiquées, telles que : la méthode Monte Carlo, la théorie du champ moyen, la théorie du champ effectif et la méthode de la matrice de transfert. Par la suite, nous avons étudié les propriétés magnétiques et hystérotiques des matériaux. Ensuite, nous avons détaillé certaines de nos contributions correspondantes aux matériaux à base de graphène et des nanomatériaux ferrimagnétiques avec différentes morphologies. Nous avons débattu de l'effet des défauts sur les propriétés thermodynamiques de ces nouveaux matériaux. Une attention particulière a été portée aux paramètres physiques qui influencent la température de compensation. Celle-ci ayant une très grande importance dans le stockage d'information et plus particulièrement dans l'enregistrement thermo-optique. Avec tous ces éléments, nous nous sommes ouverts aux développements les plus récents de la physique de nouveaux matériaux. Enfin, nous avons terminé par la conclusion et des perspectives.

Mots-clés : Monte Carlo, graphone, graphyne, nanoruban, cœur-coquille, température de compensation, propriétés thermodynamiques et magnétiques
